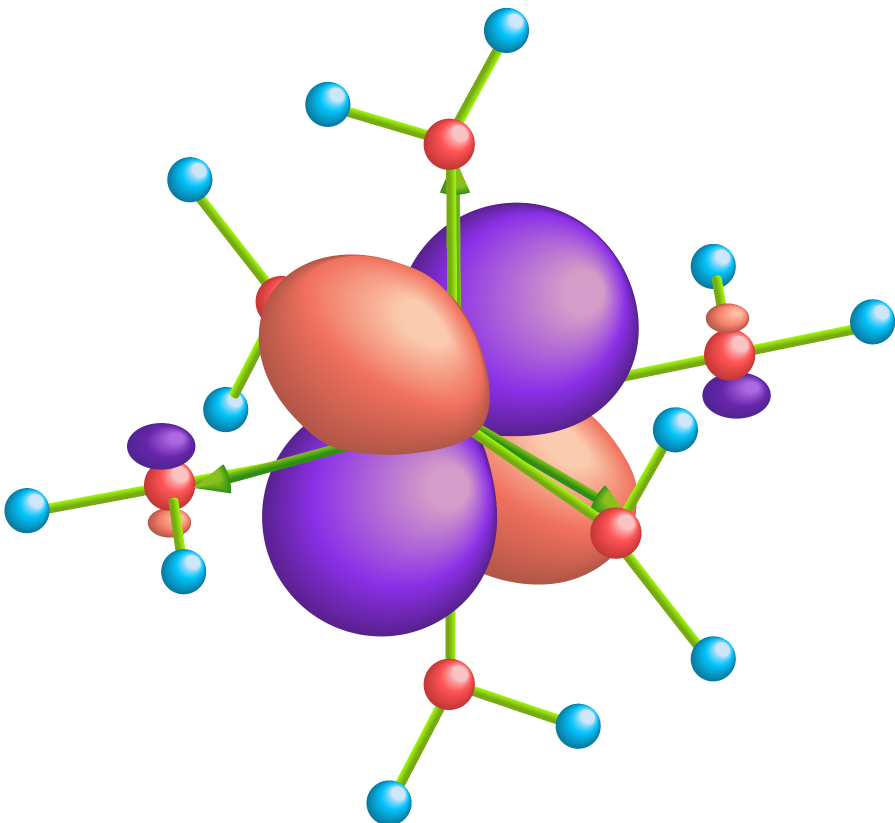


روعۃ حسابات کیمیاء الکم و تطبیقاتہ

مقدمة عملية مختصرة

محمد طبری احمد عبد المطلب



روعه حسابات كيمياء الكم وتطبيقاتها

مقدمة عملية مختصرة

تأليف

محمد صبري أحمد عبد المطلب



روعة حسابات كيمياء الكم وتطبيقاتها

محمد صبري أحمد عبد المطلب

الناشر مؤسسة هنداوي
المشهرة برقم ١٠٥٨٥٩٧٠ بتاريخ ٢٦ / ١ / ٢٠١٧

٣ هاي ستريت، وندسور، SL4 1LD، المملكة المتحدة
تليفون: +٤٤ (٠) ١٧٥٣ ٨٣٢٥٢٢
البريد الإلكتروني: hindawi@hindawi.org
الموقع الإلكتروني: <https://www.hindawi.org>

إنَّ مؤسسة هنداوي غير مسؤولة عن آراء المؤلف وأفكاره، وإنما يعبر الكتاب عن آراء مؤلفه.

تصميم الغلاف: ليلي يسري.

الترقيم الدولي: ٩٧٨ ١ ٥٢٧٣ ١٩٣٢٥

صدر هذا الكتاب عن مؤسسة هنداوي عام ٢٠٢٠

هذا العمل متاح بموجب رخصة المشاع الإبداعي: نسب المصنف-غير تجاري-منع الاشتقاق،
الإصدار ٤.

Copyright © 2020 Hindawi Foundation.

This work is licensed under a Creative Commons Attribution-NonCommercial-NoDerivatives 4.0 International License.

<https://creativecommons.org/licenses/by-nc-nd/4.0/>

المحتويات

٧	نبذة عن المؤلف
٩	شكر
١١	مقدمة
١٥	١- ما الذي يمكننا عمله بالكمياء الحاسوبية من منظور بعض المفاهيم الأولية؟
٣٣	٢- استخدامات في التعليم
٦١	٣- الأطيف الجزيئية
١٠١	٤- المواد الفلزعضوية والمتراكبات
١٢٣	٥- الديناميكا الجزيئية
١٣٧	اللاحق
١٥٥	قائمة ببعض الكلمات والمصطلحات الواردة في الكتاب (وفق حروف الهجاء العربية)
١٦٣	قائمة ببعض الكلمات والمصطلحات الواردة في الكتاب (وفق حروف الهجاء الإنجليزية)

نبذة عن المؤلف

الأستاذ الدكتور محمد صبري أحمد عبد المطلب: أستاذ الكيمياء المتفرغ بكلية العلوم جامعة عين شمس، الحائز على العديد من الجوائز في مجال الكيمياء.

تخرج محمد صبري في كلية العلوم جامعة عين شمس عام ١٩٦٦ م بتقدير ممتاز مع مرتبة الشرف الأولى، وحصل على الدكتوراه في الكيمياء الطيفية عام ١٩٧٣ م من جامعة فريدرش شيلر بألمانيا. حصل على جائزة الدولة التقديرية في العلوم الأساسية عام ٢٠١٣ م، ووسام العلوم والفنون من الطبقة الأولى عام ٢٠١٤ م (للمرة الثانية)، وجائزة الدولة التشجيعية في الكيمياء عام ١٩٨٤ م، ووسام العلوم والفنون من الطبقة الأولى عام ١٩٨٥؛ وذلك تقديرًا لإسهاماته العلمية المميزة في مجالات الكيمياء الضوئية وعلوم الأطيف والنانوتكنولوجيا والكيمياء الشمسية والبيئة، ولبنائه مدرسة علمية منتشرة في العديد من الجامعات والمؤسسات البحثية الوطنية، وتأسيسه مركز الطاقة الضوئية ومعامل النانوتكنولوجيا الضوئية والشمسية وكيمياء الحاسوب بجامعة عين شمس، ولدوره في تعميق أواصر العلاقات الدولية بتنظيم ورئاسة مؤتمرات عديدة منذ عام ١٩٩١ م في مجال الكيمياء الضوئية والطاقة الشمسية والبيئة، ولمشاركته في العديد من المشروعات البحثية التطبيقية، بتمويل من السوق الأوروبية المشتركة وأكاديمية البحث العلمي المصرية وصندوق الشراكة المصرية الأمريكية.

شكر

إلى كل أساتذتي الراحلين الذين أَعْدُونا بإخلاص لنحمل مشعل العلم نبراساً
للتابعين.

وإلى كل تلامذتي النابهين المخلصين، وزملائي وأصدقائي الأوفياء الودودين.
وإلى أسرتي الكبيرة التي تكفلتني بالحب والحنان، وحفّرتني لتقبّل العلم
والمعرفة وعشقاهما.

وإلى أسرتي الصغيرة التي يسرت لي السُّبل:
زوجتي أ.د. انتصار الشبكي؛
وأبنائي: د. نجوى، ود. محمد، ود. يسرا عبد المطلب، ود. أحمد هنداوي؛
وحفيداتي: ياسمين، ومي، وليل، ونور.

مقدمة

نُعاصِر اليَوْم طفَرَاتٍ – بِشَكْل يَفْوَقُ الْخَيَال – فِي قَدْرَاتِ الْحَوَاسِيبِ (سُوَاءُ الْمَكْتَبِيَّةِ الصَّغِيرَةِ، أَوْ مَحَطَّاتِ الْعَمَلِ، أَوْ الْحَوَاسِيبِ الْفَائِقةِ) الْمَتَاحَةِ فِي الْأَسْوَاقِ، وَالَّتِي أَصْبَحَتْ أَقْوَى أَسِيًّا فِي جَمِيعِ النَّوَاهِي، وَذَلِكَ مِنْ حِيثِ عَدْدِ الْمَعَالِجَاتِ (النُّوَى) وَسُرْعَتِهَا فِي إِجْرَاءِ الْعَمَلِيَّاتِ الْحَسَابِيَّةِ، سُوَاءً بِالْتَّوَازِيِّ أَوْ بِالْتَّتَّابِعِ، وَسُعَةِ ذَاكِرَاتِهَا وَسُعَةِ تَخْزِينِ النَّتَائِجِ. نَتَجَ عَنْ ذَلِكَ قِيَامُ الْأَفْرَادِ – بِالْحَاثِنِينَ كَانُوا أَوْ طَلَابًا فِي الْجَامِعَاتِ أَوْ حَتَّى فِي الْمَدَارِسِ الثَّانِيَّةِ – بِاقْتِنَاءِ مَعَدَّاتِ الْبَحْثِ وَالْتَّعْلُمِ الْخَاصَّةِ بِهِمْ فِي مَعَالِمِهِمْ أَوْ حَتَّى فِي مَنَازِلِهِمْ.

فِي عَامِ ١٩٧٤ قَمَتْ مَعْدَدٌ مِنْ طَلَابِي فِي الْدَّرَاسَاتِ الْعُلَيَا بِتَنْفِيذِ بَرَنَامِجٍ صَغِيرٍ لِحَسَابَاتِ التَّرْكِيبِ الْإِلْكْتَرُونِيِّ لِجَزِيَّاتِ عَضُوَيَّةِ بَسِيَّةٍ مِثْلِ الْأَنْتِيلِينِ وَالْبَرِيدِيِّينِ وَغَيْرِهِمَا، وَكَانَ الْحَاسُوبُ الْمَتَاحُ آنَّذَاكَ فِي مَرْكَزِ الْحَسَابِ الْعَلَمِيِّ، الَّذِي أَنْشَأَهُ الْمَرْحُومُ أَ.د. فَتْحِي الْبَدِيُّوِيُّ، أَسْتَاذُ الْفِيَزِيَّاءِ بِكَلِيَّةِ الْعِلُومِ فِي جَامِعَةِ عَيْنِ شَمْسٍ، يُنْجِزُ الْمَهْمَةَ فِي حَوَالِي ١٦ دَقِيقَةً كَامِلَةً، وَنَحْصُلُ عَلَى النَّتَائِجِ الْعَدْدِيَّةِ مَطْبَوعَةً لِنَقْوِمُ بِتَحْلِيلِهَا وَاستَخْلَاصِ خَصَائِصِ بَسِيَّةِ لِهَذِهِ الْجَزِيَّاتِ، وَكَانَتْ عَمَلِيَّاتِ مَعَقَّدَةً جَدًّا إِذَا مَا قُورِنَتْ بِالْمَتَاحِ حَالِيًّا. فَالْيَوْمَ وَبِاستِخدَامِ الْمُتَوْفِرِ – سُوَاءً مِنْ الْحَوَاسِيبِ الصَّمَاءِ أَوِ الْبَرَامِيجِ – نَحْصُلُ عَلَى النَّتَائِجِ قَبْلَ أَنْ يَرْتَدَ إِلَيْنَا طَرْفُ، بِلْ أَصْبَحَ فِي الإِمْكَانِ أَيْضًا بِسْهُولَةٍ وَبِسِرْ إِجْرَاءٍ حَسَابَاتِ مَعَقَّدَةٍ لِلْمَرَكَّباتِ كِيمِيَّيَّةٍ وَبِبِيُولُوْجِيَّةِ كَبِيرَةٍ جَدًّا بِاستِخدَامِ حُرْمٍ بِرَمَجِيَّاتِ هَائلَةٍ مَتَاحَةٍ مَجَانًا لِلْأَكَادِيمِيِّينَ، أَوْ مَا يَمْكُنُ شَرَاءُ رَخْصَةٍ تَشْغِيلِهِ. وَلَيْسَ الْمَرَادُ فَقَطُ هُوَ حَسَابَاتُ التَّرْكِيبِ الْإِلْكْتَرُونِيِّ لِهَذِهِ الْمَرَكَّباتِ أَوِ الْمَتَرَكَّباتِ أَوِ الْعَدِيدِ مِنِ الْمَوَادِ، بِلْ أَيْضًا خَواصِهَا الْكِيمِيَّيَّةِ وَالْفِيَزِيَّيَّةِ وَالْدِيَنَامِيَّةِ الْحَرَارِيَّةِ وَجَمِيعِ أَنْوَاعِ أَطْبَافِهَا، وَتَخَاعُلَاتِهَا أَيْضًا سُوَاءً فِي الْحَالَةِ الْأَرْضِيَّةِ أَوِ كِيمِيَّةِ الْحَالَةِ الْمَثَارَةِ (الْكِيمِيَّةِ الضَّوئِيَّةِ)، وَكُلُّ هَذِهِ الْمَهَامُ تُتَجَزَّ في وَقْتٍ قَصِيرٍ وَبِتَكْلِفةٍ أَقْلَى.

ما أهداف المهام الواجب تنفيذها؟ ولماذا تُنفَّذ؟

تُنفَّذ المهام الحسابية لثلاثة أسباب واضحة (V.I.P) وهي «تٌ»؛ أي: تحقق، وتفسّر، وتتنبأ. وهي باختصار: التحقق (Validate) من صحة القياسات المعملية، تفسير (Interpret) النتائج المعملية، التنبؤ (Predict) بمركبات وبمتراكمات جديدة ذات خواص معينةً ومطلوبة .

وسيُشرح ذلك بعدد من الأمثلة الفعلية في الفصول التالية.

ونظراً لاهتمامنا الشديد بالتعليم، خاصةً التعليم الذاتي، فسنقدّم أمثلة عديدة مرئية للنتائج حسابية بحزم البرامج المتاحة (انظر ملحق (١)) لشرح وتفسير مبادئ أساسية في بعض أفرع الكيمياء. وسيجد القارئ عدداً من أمثلةٍ صُممَت خصوصاً لتمرين الطلاب، ومشروعات حسابية للمختبر باستخدام حزم بعض البرامج المتاحة؛ ذلك لتعزيز المفاهيم الصحيحة لأساسيات الكيمياء، ليس فقط على المستوى الثانوي أو التعليم الجامعي، بل أيضاً على مستوىٍ متقدّم يخدم الأبحاث لطلاب الدراسات العليا على مستوى الماجستير والدكتوراه، وعلى مستوى الباحثين المؤهلين بالدرجات العلمية للترقي في وظائفهم البحثية وفي مواقعهم في بعض الصناعات، كالكيمياء الدوائية، والبيئية، ومواد الطاقة، والخلايا الشمسية، والأصباغ وغيرها.

وسأقدّم شرحاً مختصراً، وإنْ كان وافياً، لأمثلةٍ توضح خطوات العمل، وللطرق المستخدمة في حسابات الخواص المختلفة وحزم بعض برامج كيمياء الكم المتاحة، وبرامج عرض النتائج الرسومية ومصادرها، بالإضافة إلى نوعية الحواسيب.

سأتجنّب تماماً الخوض في كل ما يُنفِّر القارئ المبتدئ من هذا المجال الخصب، وخاصةً النظريات الرياضية لميكانيكا الكم وطرق حلولها (الخوارزميات)، بل سألحّ إلى الطرق الحسابية الأكثر شيوعاً والأسرع والأكثر دقةً للحصول على نتائج نظريةٍ تتوافق مع النتائج المعملية. وفي يقيني أن هذا النهج سيجذب مزيداً من الدارسين، ويفتح المجال للاستزادة الذاتية للتعمق والتوسيع في المعرفة، وكلما اقتضت الحاجة.

وتُعد الكيمياء الحاسوبية رخيصة الكلفة إلى حدٍ ما، إذا قُورنت بإجراء التجارب المعملية، وهي سريعةٌ مقارنةً بالتجربة، وهي كذلك آمنةٌ بيئياً. لكنها لا تحل محل التجربة، التي ما زالت تمثل حقيقةً لطبيعة ما درسه معلمياً. علاوةً على ذلك، فإنه لصنْع شيءٍ ما – مثل أدوية جديدة، أو مواد جديدة للطاقة مثلًا – يجب إجراء التجارب في المعمل. لكن

أصبح اللجوء إلى الحسابات أمراً بدِيهيًّاً وموثوقاً به لجدوى اقتراح المادة المراد تحضيرها، وذلك قبل الشروع في إجراء التجارب معمليًّا.

وصدق الرأي القائل إننا في الكيمياء الحاسوبية نحاكي سلوك الجزيئات الحقيقية بمساعدة النماذج التي تعكس بدقة كبيرة سلوك الذرات والجزيئات في الواقع.

ويُمْكِن اعتبار هذه المقدمة دليلاً عمليًّا أولياً ومحفراً ليرشد ويعطي دفعه لكل مهتم بمعرفة هذا المجال الهام، وقد يكون ملهمًا لمحبي العلم والتعلم كي يستزيدوا ويتعمقوا في خوض هذه الرقعة المتعددة، ودراسة أبعادها وحدودها المترامية، والإلام بدورها دون دليلٍ سوى كُتُبَيَّاتٍ شرح حُرَم البرامج المختلفة.

لا كمال في العلم، ولَيْنِهُلْ كُلُّ دارِسٍ قُدرَ اهتمامه واحتياجاته، ويتعمق بما يُطِيقُ لتحقيق ما يصبو إليه، لمواكبة ما يجري على الساحة العالمية. ومن سار على هذا الدرب قد يُضيِّفُ ويُبَتَّكرُ، لتكون لنا الريادةُ والسبُّقُ؛ لهذا تطلُّبُ الأمر تقديم هذا المجال باللغة العربية الأم، لسلامة الفهم وتجنُّبُ العوائق اللغوية، ولتخطي حاجز الاستيعاب باللغة الأجنبية. وأنا على يقين أن هذا العمل سيُساهم في تحقيق المأمول من انتشار هذا الفرع من العلوم المعاصرة، وتبسيط مفاهيم التعلم والفهم للابتكار في مجالات تعليمية وأبحاث علمية وتطبيقيَّة ذات مردود اقتصادي ووَقْعٌ إيجابيٌّ على المجتمع.

وعلى الله قصد السبيل.

المؤلف

أ.د. محمد صبري أحمد عبد المطلب

الفصل الأول

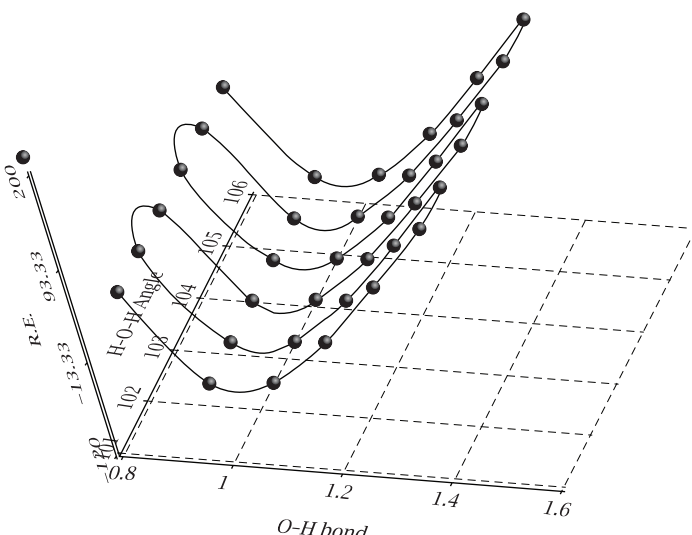
ما الذي يمكننا عمله بالكيمياء الحاسوبية من منظور بعض المفاهيم الأولية؟

سنترَّد في هذا الفصل بصورة سريعة ومبذلة على بعض الخطوط العريضة لما نستطيع عمله بالكيمياء الحاسوبية، وسنُوضِّح المفاهيم بحلٍ بعض الأمثلة التي قد تثير شغفَ القارئ وتساؤلاته، متضمنةً عدداً من المفاهيم الأولية وبعض المصطلحات المتداولة، منها:

- (١) ما الهندسة الجزيئية؟ وما الشكل الأمثل؟
- (٢) كيفية الحصول على الشكل الهندسي الأمثل وملفات إدخال البيانات المستخدمة لذلك لبعض حزم البرامج، وعلى الأخص برنامج أوركا (أحدث إصدار).
- (٣) ما منحنيات طاقة الوضع في بُعدين وثلاثة أبعاد؟
- (٤) كيفية الحصول على منحنيات طاقة الوضع في الحالة الأرضية والمثارة، ومعرفة الجهد اللازم لتكسير جزيء في كلٍّ من الحالات الأرضية والمثارة.
- (٥) كيفية تتبع المسار الكيميائي للتفاعل مع إعطاء أمثلة واقعية.
- (٦) النشاط الكيميائي وخريطة التوزيع الإلكتروني وأковادها الملونة ومعاملات النشاط.
- (٧) التعرف على أشكال أوربيتالات المواجهة، واستخدام طاقاتها لحسابات معاملات النشاطية.
- (٨) كيف تُحقَّق وتفسَّر نتائج الحسابات المختلفة حقيقةً معملية (كمثال خمول جزيء الأسيتاميد تجاه تفاعله مع الماء)؟

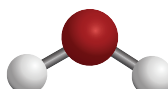
الكيمياء الحاسوبية (وتُسمَّى أيضاً النمذجة الجزيئية؛ فالمصطلحان يعنيان الشيء نفسه) عبارة عن مجموعة من التقنيات وحزم البرامج لإيجاد حلول للمشكلات الكيميائية باستخدام جهاز كمبيوتر. والقضايا التي يتم بحثها في إطار هذا العلم بشكل عام هي:

(١) الهندسة الجزيئية



شكل ١-١: يُوضّح — باستخدام منحنيات طاقة الوضع النسبية في ثلاثة أبعاد — الشكل الهندسي الأقل طاقةً (الأكثر استقراراً) لجزيء الماء (شكل ٢-١) عند الأبعاد ذات الإحداثيات: طول الرابطة بين ذرَّي الأكسجين والهيدروجين = ٠,٩٦، الزوايا، والزاوية بين ذرَّي الهيدروجين والأكسجين = ١٠٤,٣٣ درجات. نقطة الإحداثيات هذه تمثل وجود الجزيء في الشكل المثالي في حالة الاتزان.

أشكال الجزيئات في الفراغ تمثلها أطوال الروابط Bonds، والزوايا Angles، والزاوية بين سطحين Dihedral Angles. وشكل ١-١ يوضح إحدى طرق معرفة الشكل الهندسي الأمثل، وهو الأكثر استقراراً لجزيء الماء (شكل ٢-١). هذا الشكل يوضّح مفهوماً هاماً جدًا في الكيمياء الحاسوبية، وهو منحنيات طاقة الوضع.



شكل ٢-١: جزيء ماء.

إن كيفية الحصول على الشكل والطريقة المستخدمة لذلك هما غاية في الأهمية في موضوعات كيميائية مختلفة، ولمناقشات علمية قادمة ستُجرى في حينها. بعد أن استخدمنا إحدى واجهات البرامج لبناء شكل جزء الماء، اخترنا رابطة الهيدروجين مع الأكسجين وحدّدنا مدى لتغيير طول الرابطة بعد محدد من الخطوات. يقوم البرنامج بحساب بروفيل الطاقة عند كل مسافة مقيدة ليعطي أقل طاقة ممكنة عند هذه المسافة (أطوال الرابطة المتحكم فيها). وكذلك اختيارت الزاوية ومدى التغير المطلوب في قيمتها، وقام البرنامج بحساب الطاقة عند كل زاوية (عملية مسح مقيدة Scan). هاتان العمليتان تم حسابهما معًا عند كل إحداثي ذي متغيرين متزامنين (مسافة وزاوية)، ثم قمنا برسم قيم الطاقة النسبية عند كل إحداثي ثنائي تمتّله كل كُرة مصمتة ظاهرة على السطح المرسوم. ومن الممكن استخدام حزمة برامج أوركا 4.2 (ORCA 4.2)، وهي متاحة مجانًا

.<https://orcaforum.kofo.mpg.de/app.php/dlext> للأكاديميين:

ونستخدم ملف الإدخال الآتي:

ملف إدخال البيانات المطلوبة لإجراء حسابات لجزء الماء للحصول على السطح
الموضّح في شكل ١-١.

```
! LC-BLYP 6-31G(d) OPT      # Functional LC-BLYP and Basis Set 6-31G(d)
                                # Optimization using the keyword OPT
% geom scan                  # the method
B 0 1 = 0.80,1.2,6          # OH Bond
A 1 0 2 = 102.0,105.0,6    # HOH Angle
End
End

% Pal Nprocs 10 end        # parallel processing using 10 cores
* INT 0 1                  # internal coordinates, charge=0, singlet =1
O   0     0     0           0.0000    0.0000    0.0000
H   1     0     0           0.9600    0.0000    0.0000
H   1     2     0           0.9600    104.000   0.0000
*                               # one has to terminate with *
```

تُستخدم علامة # للتوضيح فقط للمستخدم ويهمها البرنامج .The sign # is used as a remark ONLY

نلاحظ أن الإحداثيات الداخلية بها جزء «مظلل بالأصفر»، وهو يدل على ربط الذرات بعضها ببعض، والزوايا الموجودة بين الروابط.
ويستطيع القارئ أن ينسخ هذا ويسمي الملف water.inp مثلًا؛ حيث يقرأ بواسطة أوركا، بالتعامل مع نافذة الأوامر Commands or Terminals على الحاسوب لاستدعاء البرنامج «أوركا» كالتالي:

C:\orca4\orca water.inp > water.out
هذا على فرض أن الملف والبرنامج موجودان على القسم C: في القرص الصلب للحاسوب. وبعد انتهاء الحسابات سوف تُخزن النتائج في الملف المختار water.out؛ لذا وجب على الدارس أن يلجأ إلى كتاب تعليمات أوركا، وهو متاح مجانًا على موقع أوركا على الإنترنت: https://orcaforum.kofo.mpg.de/app.php/dl/ext/?view=detail&df_id=68

(وقد يحتاج المستخدم إلى إنشاء حساب له في الموقع مجانًا كي يستطيع الولوج إليه).
هذه النوعية من الحسابات استخدمنا فيها نظرية دالية الكثافة (تسمى الحسابات النظرية دالية الكثافة Density Functional Theory) وهي تعتمد على حل معادلة شرودنجر باستخدام تقريرٍ بطريقةٍ مبتكرة، حصل بسببها عالمان أمريكيان على جائزة نوبل في الكيمياء في ثمانينيات القرن الماضي. وتُبنى هذه الطريقة على حسابات مباشرة للكثافة الإلكترونية (متخطية الدوال الموجية)، ومنها نحصل على طاقة الجزيء. والمقصود بـ «دالية» هو دالة الكثافة الإلكترونية المعرفة أو المتعلقة بـ دالة الأبعاد الفراغية والزمن.

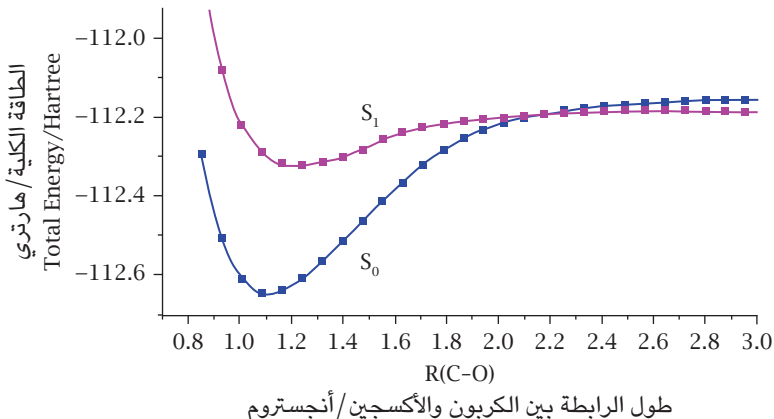
وحسابات الكثافة الدالية DFT عادةً ما يكون إجراؤها يسيراً نسبياً. ويمكن الرجوع إلى الموقع الإلكتروني التالي (انظر ملحق ٤ للمزيد من المراجع) لمعرفة المزيد من الوصف لهذه الطريقة: http://newton.ex.ac.uk/research/qsystems/people/coomer/.dft_intro.html

وخلاصة القول أن هذه الطريقة تُعد حلّاً تقريريًّا لمعادلة شرودنجر تتخطى به حلول الدوال الموجية للوصول إلى الطاقة مباشرةً.

وفي هذا المقام يجدر الإشارة إلى أن مُحننیات طاقة الوضع ذات قيمة في الحصول على معلوماتٍ عن الجزيء المراد دراسته؛ معلوماتٍ عن سلوك تفتته، ليس فقط في الحالة الأرضية العادية، لكن أيضًا في الحالات المثارة (بامتصاص الضوء مثلًا).

ما الذي يمكننا عمله بالكميات الحاسوبية ...

والمثال التالي يوضح تغير المسافة بين ذرة الكربون وذرة الأكسجين في جزيء أول أكسيد الكربون، وذلك في كلتا الحالتين الأرضية والمثارة (تعرف باسم حالات «سنجلت»، وتعني: إلكترونات لها حركة مغزالية — أي دوران حول محورها — في اتجاهين متضادين).



شكل ٣-١: تغير طاقة جزيء CO مع تغيير طول الرابطة. المسافة الرئيسية بين عمق المنحنى عند حوالي ١,١ أنجستروم وبين الخط الأفقي عند البعد حوالي ٢,٣ أنجستروم تعطي طاقة التفتت للجزيء.

وشكل ٢-١ يُبيّن استقراراً في طاقة جزيء أول أكسيد الكربون عند طول الرابطة ١,١ أنجستروم «في الحالة الأرضية»، وبمقارنة عمق منحنى الطاقة في حالة S_0 يتضح أن الجزيء احتاج إلى طاقة أكبر لتكسيره (لإبعاد الكربون عن الأكسجين، ومقدارها حوالي ١١٠٠ كيلوجول لكل مول) من تلك التي ياحتاجها الجزيء وهو في الحالة المثارة S_1 (أي يسهل تكسير الجزيء في الحالة المثارة، ويحتاج إلى حوالي ٢٩٤ كيلوجولاً للمول).
ويجدر الإشارة في هذا المقام إلى أن طاقة تفتت أو تكسير الجزيئات تقلُّ رأسياً في هاليدات الهيدروجين (أحماض: هيدرو فلوريك، هيدرو كلوريك، هيدرو بروميك إلى هيدرو أيدويك)؛ وذلك لضعف الرابطة بين الهيدروجين وبين أيون الهاлиد. ويستطيع الدارس أن يجري حسابات مماثلة لما أجريناه على أول أكسيد الكربون ليحسب بنفسه

طاقة تكسير أو طاقة تفتت المركب، وكذلك طول الرابطة. ولتسهيل المهمة سنطرح النتائج المعملية المقاسة في جدول ١-١، ويقوم الدارس بتحقيقها حسابياً.

جدول ١-١: طاقة تفتت بعض الجزيئات الثنائية وطول الرابطة.

الجزيء	طاقة التفتت بالكيلوجول لكل مول	طول الرابطة بالأنجستروم
CO	١٠٠	١,١٠
HF	٥٧٠	٠,٩٢
HCl	٤٣٠	١,٢٧
HBr	٣٧٠	١,٤١
Hl	٣٠٠	١,٦٣

وملف الإدخال (ملف المهمة) المستخدم لبرنامج أوركا كما يلي:

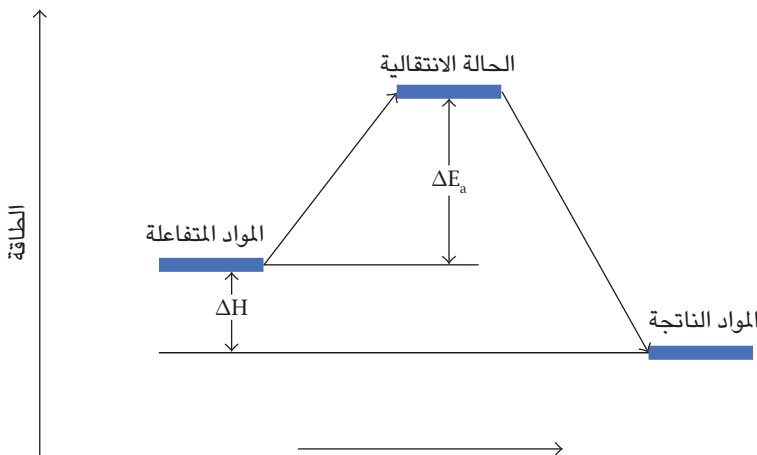
```

! SP def2-SVP def2/J TightSCF #
% method scanguess pmodel end
% cis Nroots 2           # الحالات الأرضية والمثارة وعددتها 2
end
% paras rCO= 0.85,3.0,20;   # سيتم تغيير طول الرابطة على 20 خطوة
                           # من قيمة 0.85 إلى 3.0 أنجسترومات
end
% Pal Nprocs 8 end       # استخدام حسابات متوازية بعدد 8 بروسيسورات
* xyz 0 1
0   0.0    0.0    0.0
C   0.0     0.0    {rCO}
*
```

ما الذي يمكننا عمله بالكيمياء الحاسوبية ...

(٢) مسار التفاعل الكيميائي

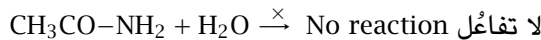
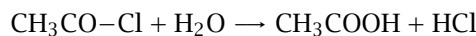
مسار التفاعل ونظرياته هما من الموضوعات التي تَظُهر عادةً عبر المخطّطات، مثل شكل ٤-١.

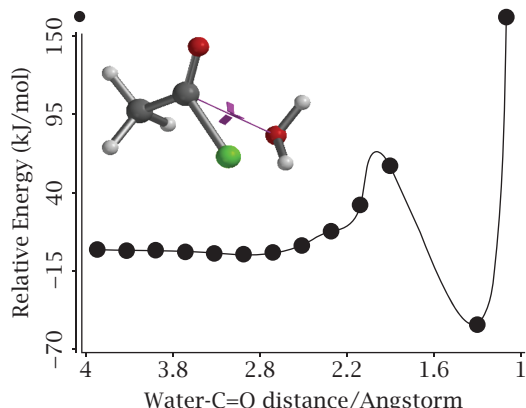


شكل ٤-٤: مسار التفاعل، ويُوضّحه تغيير الطاقة مع إحداثي داخلي (محور السينات): حيث تحتاج المادة المتفاعلة إلى طاقة التنشيط (دلتا اي) لتصل إلى الحالة الانتقالية، ومنها هبوطًا إلى المادة الناتجة. والفرق في الطاقة هو دلتا إتش، وهي طاقة التفاعل.

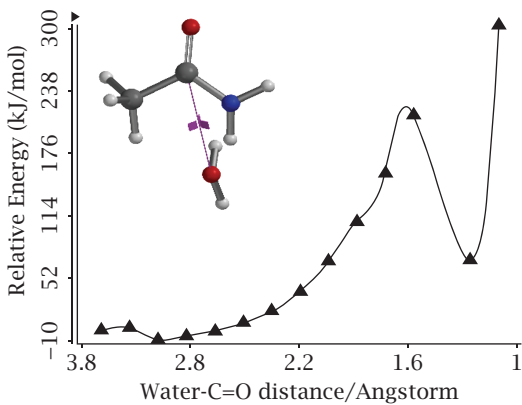
(٣) لماذا يحدث التفاعل الكيميائي؟

نود الإجابة عن هذا التساؤل بمثال مشهور نعرضه ونشرجه في هذا المقام. هذا المثال يعني بمفهوم هام في الكيمياء، خاصةً في الكيمياء العضوية، وهو: لماذا يُحوّل كلوريد الأستيل إلى حمض الأستيك (الخليل) بالتفاعل مع الماء، بينما لا يحدث هذا التفاعل بين الماء والأسيتاميد حسب الآتي:





المسافة بين جزيء الماء وذرة كربون مجموعة الكربونيل
في حالة كلوريد الأستيل



المسافة بين جزيء الماء وذرة كربون مجموعة الكربونيل
في حالة الأسيتاميد

شكل ٥-١: مُنحني الطاقة النسبية لتفاعل الماء مع كل من الأسيتاميد (الشكل الأسفل) وأستيل الكلوريد مروّاً بالحالة الانتقالية. يلاحظ أن التفاعل مع الأستيل كلوريد نتج عنه استقرار في الطاقة بحوالي -40 كيلوجولًا/للمول، مُقارنةً بطاقة المواد المتفاعلة. بينما تسبّب التفاعل مع الأسيتاميد في عدم استقرار الناتج بحوالي $+25$ كيلوجولًا/للمول، وهو تفاعل غير جائز من ناحية طاقة النواتج.

لذا، سنحاول الآن الإجابة باستخدام نتائج حسابات تفاعل جزيء الماء مع كلًّا منهما على حدة. والأسلوب المتبَّع في الحسابات بصورة بسيطة هو إجراء مسحٍ على المسافة بين جزيء الماء وبين كلوريد الأستيل أو الأسيتاميد.

شكل ٦-٥ يبيّن نتائج الحسابات؛ حيث يتَّضح استقرارُ الأستيل كلوريد باقتراب جزيء الماء منه (أعلى طاقة سالبة عند ١,٤ أنجستروم، مُقارنةً بالطاقة قبل التفاعل)؛ فتحلُّ مجموعة هيدروكسيل من الماء محلَّ الكلوريد. الوضع مختلفٌ مع الأسيتاميد، الذي تقل طاقته (طاقة نسبية موجبة عند حوالي ١,٥ أنجستروم، مُقارنةً بالطاقة قبل التفاعل)؛ لذا باقتراب جزيء الماء لا يتم التفاعل.

ستنَّظر في الصفحات التالية المزيد من الأدلة على خمول الأسيتاميد وعدم قدرة مجموعة الأمين (NH_2) على ترك مكانها لمجموعة الهيدروكسيل.

(٤) النشاط الكيميائي

يَكُمن النشاط الكيميائي في السؤال: كيف سيتصرَّف الجزيء الكيميائي عندما يلتقي مع جزيء آخر؟

لذا فالنشاط الكيميائي بصورة عامة يُمكِّن النظر إليه على أنه قدرة المركبات الكيميائية على التفاعل فيما بينها لتكوين مركبات كيميائية جديدة. وسنستدلُّ على النشاط الكيميائي بطريقتين نظريتين من حسابات الكم:

أولاً: خريطة الكثافة الإلكترونية طبقاً لطاقة الجهد الإلكترونيستاتيكي

سنستدلُّ هنا على نشاط الجزيء كيميائياً وأيُّ الأماكن على سطحه ستكون أكثر نشاطاً واستعداداً للتفاعل مع الجزيئات الأخرى؛ فعلى سبيل المثال، إن معرفة أين تتركز الإلكترونات (المواطن المحْبَّة لشحنة الأنوية؛ النيكليفيلات)، وأين تريد أن تذهب هذه الإلكترونات (المواطن المحْبَّ للشحنة الإلكترونية؛ الإلكتروفيلات) تمكننا من التنبؤ بالمكان الذي ستهاجم فيه أنواع مختلفة من الكواشف جزيئاً ما.

سنأخذ المثال التالي في حالة جزيء الماء (شكل ٦-١ وشكل ٢-١) لتوضيح المفاهيم بصورة عاجلة.

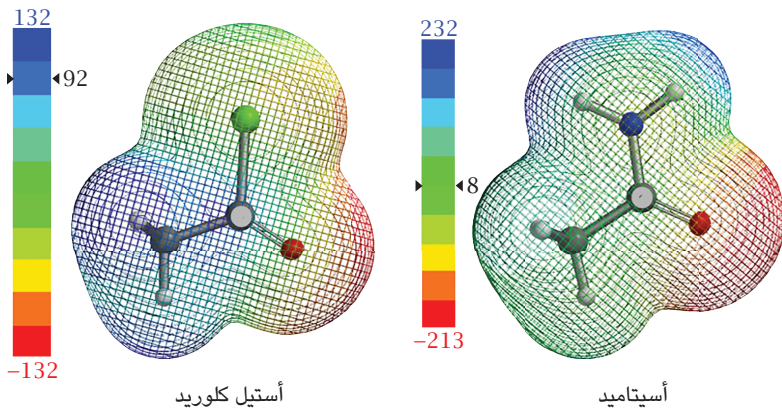


شكل ٦-١: خريطة كود الألوان للكثافة الإلكترونية الموزّعة طبقاً لطاقة الجهد الإلكترونيستاتيكي (Electrostatic Potential Energy map (ESP map)). القيم العددية على دليل الألوان هي قيم الطاقة بالوحدة المذكورة أعلاه. واللون الأحمر يدل على كثافة إلكترونية عالية طاقتها القصوى هي $kJ \cdot mol^{-1}$. وتدرج الألوان، ومن ثمّ قيم هذه الطاقة، إلى أن تصل إلى أقلّ كثافة إلكترونية بطاقة موجبة أقصاها قيمة للون الأزرق هي $257 kJ \cdot mol^{-1}$.

وشكل ٦-١ سيُوضّح خريطة توزيع الكثافة الإلكترونية طبقاً للجهد الإلكترونيستاتيكي مقاساً بالكيلوجول (كيلوجول J).

حيث يُوضّح شكل ٦-١ أن جزء الماء قطبي؛ أحدقطبين سالب على ذرة الأكسجين، والأخر موجب بين ذرتَي الهيدروجين. ذرات الهيدروجين فقدت مقادير من شحنات إلكترونية تمثّلها المنطقة الزرقاء، اكتسبتها ذرة الأكسجين، وتُمثّل هذه الشحنات باللون الأحمر كما ذُكر سابقاً. هذه الخريطة توُضّح أماكن غنّية بالشحنات الإلكترونية بقيمة متدرجة، ابتداءً من اللون الأحمر وصولاً إلى مناطق فقيرة (زرقاء اللون) في تلك الشحنات الإلكترونية.

سنَسْتَدِلُّ في هذا المقام على النشاط الكيميائي للكلوريد الأستيل وخمول الأسيتاميد، بحساب أسطح طاقة الجهد الإلكترونيستاتيكي كما في شكل ٦-١.



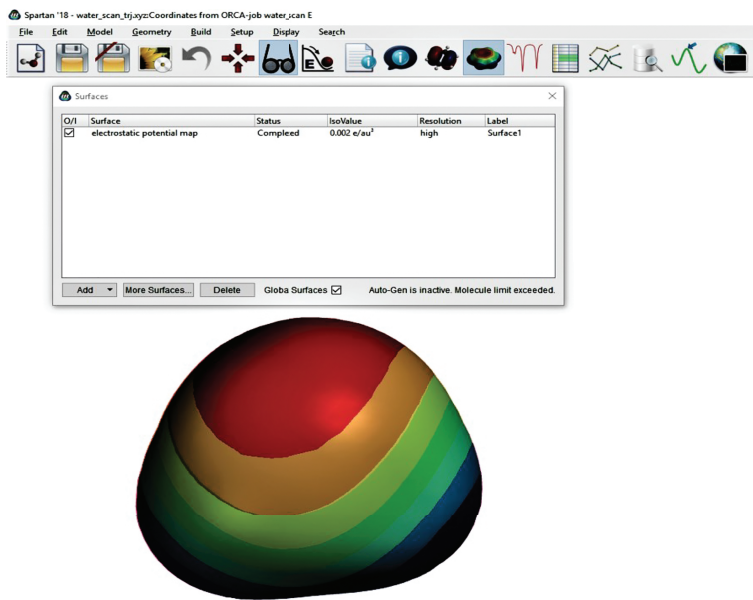
شكل ٧-١: يُوضّح خريطة كود الألوان للكثافة الإلكترونية الموزّعة طبقاً لطاقة الجهد الإلكترونيستاتيكي (أو باختصار، الخريطة الإلكتروستاتيكية) لكلٌ من الأسيتاميد وكلوريد الأستيل.

ونستطيع باستخدام هذه الخرائط تفسير إمكانية التفاعل بصرياً؛ فشكل ٧-١ يوضح أنَّ رغبة «ذرة كربون مجموعة الكربونيل» في جزيء الأسيتاميد في إلكترونات الماء صغيرةً جدًا، وتقاد تكون منعدمة، مقارنةً بمثيلتها في جزيء الأستيل كلوريد الذي تزداد فيه الرغبة في الإلكترونات لتصل قيمة الجهد الإلكترونيستاتيكي إلى ٩٢ كيلوجولًا/مول (لاحظ كود اللون على ذرة الكربون التي يحدث عندها التفاعل؛ فهي زرقاء في حالة كلوريد الأستيل، وخضراء في حالة الأسيتاميد؛ وهو الجزيء الخامل). لذا فقابليةُ تفاعل كلوريد الأستيل مع النيكليفيلات (مثل الماء) تكون مرتفعة.

نحصل على هذه الخرائط باستخدام الواجهات الرسومية لحزم البرامج الحاسوبية، والمثال التالي قد يُوضّح مدى سهولة حصولنا على هذه الخرائط الإلكترونية.

نَحْصُل على شكل ٨-١ بالضغط على  في القائمة الأفقية، ثم نختار حسابات خريطة الجهد الإلكترونيستاتيكي، وسيظهر المربع الصغير أعلى يسار النافذة، وبالنقر عليه نحصل على شكل السطح المطلوب.

روعه حسابات كيمياء الكم وتطبيقاتها

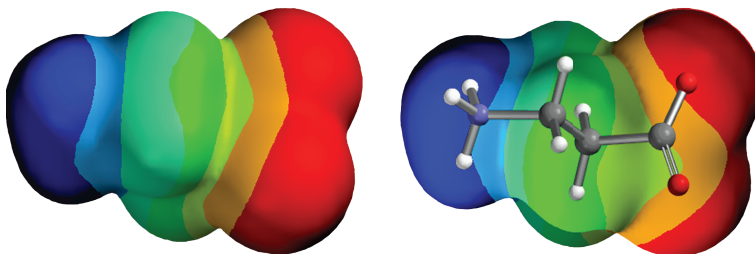


شكل ٨-١: واجهة برنامج سبرتان، وكيفية الحصول على سطح خريطة توزيع الشحنات طبقاً لطاقة الجهد الإلكتروستاتيكي.

وأشهر الأمثلة التي تُعزّز ما ذكرناه وتوضّحه، هو مثالُ الجزيء المزدوج الشحنات كما يُوضّحه الحمض الأميني (بيتا ألانين)؛ حيث ينتقل بروتون من مجموعة الكربوكسيل (فتصبح حاملةً لشحنة سالبة، ويتبّلون السطح باللون الأحمر دليلاً على وجود إلكترونات)، إلى مجموعة الأمين (فتصبح حاملةً لشحنة موجبة، وتتبّلون الخريطة في هذه المنطقة باللون الأزرق دليلاً على الفقر الإلكتروني أو وجود شحنة كهربية موجبة). وخربيطة الجهد الإلكتروستاتيكي في شكل ٩-١ تُوضح ذلك بصورة جليةً.

والمنطقة الخضراء، بين الأحمر والأزرق، لا تَحمل شحنات؛ وهي منطقة مجموعة الإيثان. وفي هذه المنطقة الخضراء تكون الرابطة تساهمية. أمّا طرفاً الجزيء الأحمر والأزرق فيدلان على قطبية الجزيء.

ما الذي يمكننا عمله بالكيمياء الحاسوبية ...



شكل ١-٩: يُوضّح خريطة الكثافة الإلكترونية في حالة البيتا-ألانين.

ما ذُكر يُشير إلى إمكانية استخدام الكيمياء الحاسوبية في شرح المفاهيم العلمية وأساليبها لطلاب التعليم الثانوي والجامعي على حد سواء. والفصل التالي يحتوي على أمثلة أساسية لذلك.

وكتطبيق عملي مباشر لما تمكّنا منه استخداماتُ هذه السطوح، سَنستعرض كيف نستطيع استنتاج قوة الأحماض — على سبيل المثال — كما سنُوضّحه في المثال التالي لمقارنة قوى أحماض الكلور الأكسجينية المعيّر عنها بمقاييس pK_a العملي (انظر جدول ٢-١) بعضها ببعض. والمقصود هنا بقوّة الحمض هو سهولة فصل البروتون منه. وسنعرض المزيد في هذا الشأن في الفصل الثاني.

جدول ٢-١

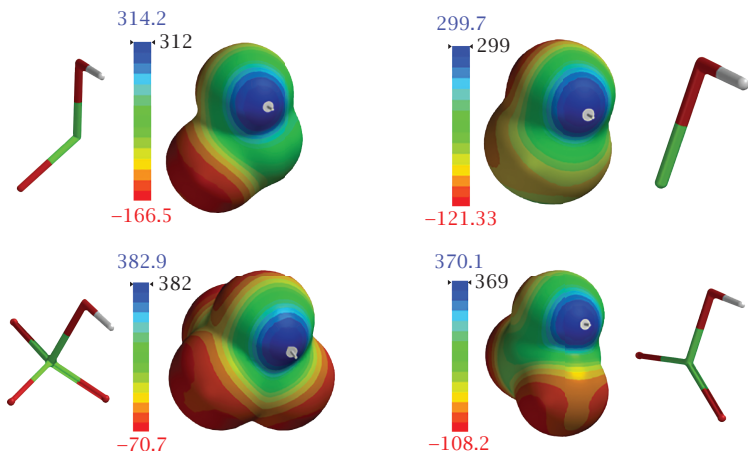
الحمض	أعلى قيمة لسطح الجهد الإلكترونيستاتيكي (J) مقياس قوة الحمض	pK_a
الهيبيوكلوروس (HOCl)	٢٩٩,٧١	٧,٤٩
الكلوروس (HClO_2)	٣١٤,١٧	١,٩٤
الكلوريك (HClO_3)	٣٧٠,١٤	١-
البيركلوريك (HClO_4)	٣٨٢,٨٨	١,٦٠-

لذا فاللون الأزرق الداكن على الفقر الإلكتروني هو محل الاهتمام في هذا المقام؛ فأعلى قيمة للجهد الإلكترونيستاتيكي الموجب يحملها بروتون حمض البيركلوريك، وهو أقوى هذه

الأحماض. وطبقاً للقيم العددية في جدول ٢-١، وبالإشارة إلى الأسطح الإلكتروستاتيكية المبينة في شكل ١٠-١؛ يكون ترتيب هذه الأحماض بحسب قوتها كالتالي:



ومن الأمور المشوقة محاولة إيجاد علاقة بيانية بين القيم العددية للمتغيرات في جدول ٢-١. وشكل ١١-١ يمثل منحني تصاعدياً للعلاقة بين قوة الحمض وطاقة الجهد الإلكتروني الموجبة والملونة باللون الأزرق في شكل ١٠-١.

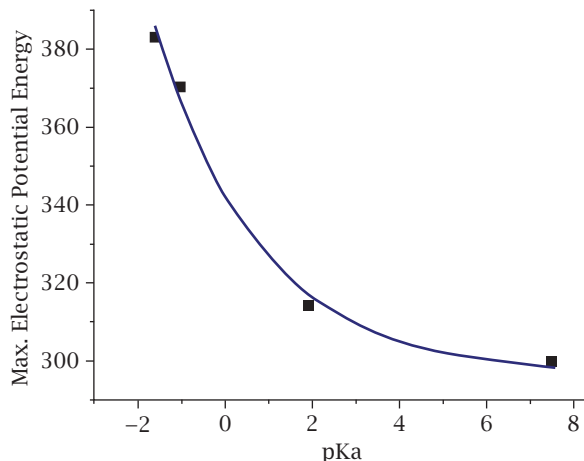


شكل ١٠-١: يوضح خريطة سطح الجهد الإلكتروني لأحماض الكلور الأكسجينية؛ حيث يتراوح اللون الأزرق حول ذرة الهيدروجين دليلاً على فقدانها إلكترونات الرابطة لصالح ذرة أكسجين الرابطة OH .

وسنقدم مثلاً آخر عن قوة الأحماض في الفصل الثاني.

ثانياً: معاملات النشاط الكيميائي من أوربيتالات المواجهة

توجد بعض المعاملات التي نستطيع حسابها، وتسمى «معاملات النشاط» Reactivity Indices، وهي تشير إلى نشاطية أفراد سلسلةٍ من المركبات ومشتقاتها مقارنةً ببعضها



شكل ١١-١: العلاقة الأسيّة بين مقياس قوة الحمض والقيمة القصوى لطاقة الجهد الإلكتروستاتيكي على ذرة الهيدروجين.

بعض هذه المعاملات يمكننا حسابها من طاقة أوربيتالات المواجهة Frontier Molecular Orbitals (HOMO – LUMO). فمستويات الطاقة داخل أي جزيء وطاقة الأوربيتالات تُحسب دائمًا عند حسابات الشكل الأمثل للجزيء. وأعلى أوربيتال مشغول بالإلكترونات HOMO ستكون طاقته السالبة أكبرًا من أدنى أوربيتال خارج أو غير مملوء بالإلكترونات LUMO، وأهم ثلاثة معاملات وأكثرها انتشارًا قد عُرِفت في المراجع العلمية كالتالي:

«إيتا» القسوة ($\eta = (E_{\text{LUMO}} - E_{\text{HOMO}})/2$): مقياس الصعوبة أو القسوة في إعطاء إلكترونات، ويدل على الاستقرار الكيميائي أو الخمول الكيميائي. ويجد الإشارة إلى أن مقلوب القسوة يُشار إليه بالليونة في التخلّي عن الإلكترونات، ويُسمّى هذا المقياس Softness = $1/\eta$ (مقياس السيولة).

«ميو» الجهد الكيميائي ($\mu = (E_{\text{LUMO}} + E_{\text{HOMO}})/2$): وهو مقياس القدرة على النشاطية؛ فانخفاض طاقة طاقة LUMO (اللومو) يزيد من حامضية الجزيء؛ حيث يقيس الإلكتروفيليسيتي (أي القدرة على اكتساب الإلكترونات)، وهو مقياس للحامضية، وارتفاع قيمة طاقة HOMO (الهومو) يقيس القدرة على إعطاء الإلكترونات؛ أي هو مقياس للاقاعدية

(النيوكليوفيليسطي). لذا يُعد ميو معالماً للقابلية على تبادل الإلكترونات مع الجزيئات المتفاولة.

أوميجا الإلكترونيفيليسيتي ($\omega = \mu^2/2\eta$): مقياس الرغبة في البحث عن الإلكترونات أو القدرة على جذبها.

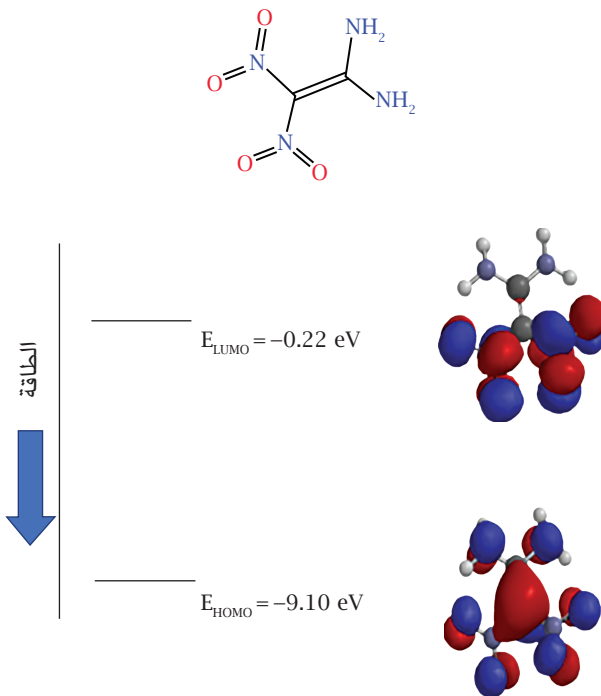
جدول ٣-١ يَحوي نتائج حُصل عليها من حسابات بسيطة لأوربيتالات المواجهة، ومنها حُسبت المعاملات لبعض مركبات النيترو؛ حيث يتضح من القيم العددية أن مركب فوكس-٧ هو أكثرها نشاطية كيميائية؛ فهو أقلُّ هذه المركبات قسوةً إلكترونية (أقل قيمة للمعامل إيتا)، وأقل رغبةً في اكتساب مزيد من الإلكترونات (أقل قيمة عددية للمعامل أوميجا)، بينما يَظهر أقلَّ قدرةً على تبادل الإلكترونات (أقل قيمة للمعامل ميو).

جدول ٣-١: معاملات النشاطية الكيميائية لبعض مركبات النيترو العضوية وطاقة أوربيتالات المواجهة.

E HOMO (eV)	E LUMO (eV)	η	μ	ω	اسم المركب
١١,٢٨-	١,٧٨-	٤,٧٥	٦,٥٣-	٤,٤٩	ثلاثي نيترو بنزين
١٠,٦٤-	١,٦٠-	٤,٥٢	٦,١٢-	٤,١٤	ثلاثي نيترو طلولين
١٠,٥٠-	١,٢٢-	٤,٦٤	٥,٨٦-	٣,٧٠	ميتا-نيترو بنزين
٩,٦٧-	٠,٤٨-	٤,٦٠	٥,٠٧-	٢,٧٩	نيترو بنزين
٩,١٠-	٠,٢٢-	٤,٤٤	٤,٦٦-	٢,٤٥	ثنائي نيترو، ثنائي أمينو-إيثين FOX-٧

ويمكّنا استخدام أي برنامج متاح مثل سبارتان، وبحسابات نظرية دالية الكثافة DFT تحت نفس الظروف (نفس الدالية Functional، ونفس مجموعة أو فئة الأوربيتالات الأساسية Basis Set (انظر ملحق ٨)); وذلك للحصول على هذه الأوربيتالات وطاقاتها. وشكل ١٢-١ يعطي مثلاً على قيمة مستويات الطاقة لهذه الأوربيتالات المعنية وأشكالها في حالة مركب النيترو المعروف باسم فوكس-٧، وهو مركب اكتُشف حديثاً عام ١٩٩٨ من قبل باحثين في السويد.

ما الذي يمكننا عمله بالكمياء الحاسوبية ...



شكل ١٢-١: مستويات طاقة أوربيتالات المواجهة وأشكالها للمركب فوكس-٧.

ومرةً أخرى سنستدل على خمول الأسيتاميد تجاه الماء باستخدام معاملات النشاطية، التي حُسبت من أوربيتالات المواجهة. جدول ١-٤ يلخص هذه النتائج.

جدول ١-٤: معاملات النشاطية للأسيتاميد وكلوريد الأستيل.

	E_{HOMO}	E_{LUMO}	η	μ	ω	الجزيء
الأسيتاميد	-٨,٩	-٣,٠٨	٥,٩٩	-٢,٩١	-٠,٧١	
كلوريد الأستيل	-١٠,٣٤	-١,٠١	٥,٦٧٥	-٤,٦٧	-١,٩٢	

وتفصّل نتائج جدول ٤-٤ أنَّ كلوريد الأستيل ذو إلكتروفيلاسيّة عاليّة؛ لذا فهو سيتفاعل مع إلكترونات ذرة أكسجين جزيء الماء، بينما قيمة أوميجا المنخفضة للأسيتاميد لن تُمكّنه من التفاعل مع الماء مثل كلوريد الأستيل. كما أنَّ إيتا مرتفعة في حالة الأسيتاميد دليلاً على خموله، بينما مقياس الجهد الكيميائي مُتمثلاً في مقياس ميو يدلُّ على ضعف الأسيتاميد للتفاعلات الإلكترونية مع الماء، وذلك عكس كلوريد الأستيل.

لقد حقّقت وأيَّدتْ كلُّ نتائج الحسابات، سواء المصوَّرة أو المرسومة بيانيًّا أو عدديًّا، ما حُصل عليه معمليًّا من أنَّ الأسيتاميد خاملٌ تجاه الماء، بينما أظهر كلوريد الأستيل نشاطاً ملحوظاً بتفاعله مع الماء مُكوِّناً حمض الخليك.

الخلاصة

تضمنَ هذا الفصل عدداً من المفاهيم الأولية وبعض المصطلحات المتداولة، ومنها تعرَّفنا على:

- (١) بعض الخطوط العريضة والمبادئ لما نستطيع عمله بالكيمياء الحاسوبية.
- (٢) ما هي الهندسة الجزيئية، وما هو الشكل الأمثل.
- (٣) كيفية الحصول على الشكل الهندسي الأمثل، والملف المستخدم لذلك.
- (٤) ما هي منحنيات طاقة الوضع في بُعدين وثلاثة أبعاد.
- (٥) كيف نحصل على منحنيات طاقة الوضع في الحالة الأرضية والمثارة، ومعرفة الجهد اللازم لتكسير جزيء في كلٍّ من الحالات الأرضية والمثارة.
- (٦) كيفية تتبع المسار الكيميائي للتفاعل.
- (٧) تتبع منحنى الطاقة لتفاعل الماء مع كلٍّ من كلوريد الأستيل والأسيتاميد مروراً بالحالة الانتقالية.
- (٨) النشاط الكيميائي وخريطة التوزيع الإلكتروني وأковادها الملونة ومعاملات النشاطية.
- (٩) كيف نستنتج قوة الحمض من قيمة أقصى جهد إلكتروستاتيكي.
- (١٠) التعرف على أشكال أوربيتالات المواجهة واستخدام طاقاتها لحسابات معاملات النشاطية.
- (١١) كيف حقّقت وفسّرت نتائج الحسابات المختلفة حقيقةً معمليةً؛ وهي خمول جزيء الأسيتاميد تجاه تفاعله مع الماء.

الفصل الثاني

استخدامات في التعليم

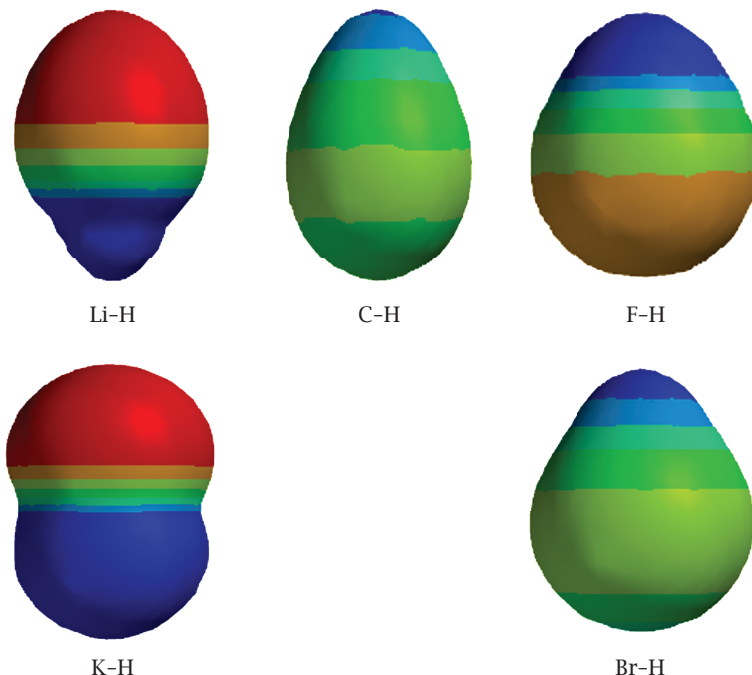
ستتعلم ونتعرف بالأمثلة المحلولة على المفاهيم التالية:

- (١) تدرج بعض خواص الذرات وجزيئاتها في الجدول الدوري للعناصر.
- (٢) استخدام خريطة الكثافة الإلكترونية الموزعة تبعاً للطاقة الإلكتروستاتيكية في التعرف على قوة الحامض.
- (٣) طاقات الجزيئات وحالاتها الانتقالية وتواترها.
- (٤) انتقال البروتون: اتزان بين الشكلين كيتو وإنول في الحالة الأرضية والحالة المثارة.
- (٥) تفاعلات الاستبدال والإضافة في المركبات العضوية وغير العضوية.
- (٦) نزع الهيدروجين من الميثان بواسطة شق الهيدروكسيل.
- (٧) تفتيت فورمات الإيتيل إلى إيتيلين وحمض فورميك.
- (٨) الأزمرة الهندسية (سيس - ترانس).

إنَّ شغف الطلاب بالحواسيب وقدرتهم على استعمالها يجب أن يستفيد منها في التعليم والتعلم، ليكونوا حافزاً على تعزيز فهُم الم الموضوعات الهامة في الكيمياء والفيزياء بصورةٍ أفضل. خاصةً قدرة البرامج المتاحة على عرض صور ورسومات لخواصٍ على مستوى الذرات والجزيئات، والتي يصعب تخيلها دون إجراء حسابات الكمْ باستخدام البرامج المتاحة وواجهاتها الرسومية.

مثال (١): تدرج خواص العناصر

تدرج خواص بعض الذرات في الجدول الدوري (انظر ملحق (٧)) وبعض الجزيئات الكيميائية مثل الأحماض، على سبيل المثال لا الحصر، يمكن رؤيتها في شكل صور مرئية؛ مما يعمق من المفهوم فتظل الصورة عالية في الذهان؛ لأن غالبية الطلاب يمتلكون ذاكرة فوتografية ممتازة.



شكل ١-٢: تدرج السالبية الكهربائية من يسار إلى يمين الجدول الدوري في الدورة الأولى، وتدرج الحجم من أعلى إلى أسفل المجموعة الأولى والمجموعة السابعة.

سنعتبر حالة هيدريدات (HX) بعض العناصر X في الجدول الدوري طبقاً لوضعها، سواء في دورة أو في مجموعة، ونرى التدرج فوتografياً في التوزيع الإلكتروني كما هو موضح في شكل ١-٢ تبعاً لوضع العنصر.

الليثيوم هو العنصر رقم ۳ في الجدول الدوري للعناصر، وله إيجابية كهربائية مرتفعة جدًا؛ نظرًا لسهولة فقيه الإلكترون الخارجي؛ ومن ثم فالليثيوم لا يوجد إلا وهو يحمل شحنةً موجبة وهو ما يعكسه شكل سطح خريطة توزيع الكثافة الإلكترونية طبقاً للجهد الإلكترونيستاتيكي (التوزيع الإلكتروني المغطى باللون الأزرق)، بينما يحمل الهيدروجين في هذه الحالة - خاصةً مع عناصر المجموعة الأولى أ - شحنة إلكترونية سالبة، فيصبح لون السطح أحمر دليلاً على ذلك. وبالانتقال إلى يمين الجدول الدوري مروراً بالكربون ووصولاً إلى الفلورين، تتعكس صورة الألوان بالتدرج كما توضّحه الألوان؛ فالفلورين يحمل الشحنة السالبة، ومن ثم يكون السطح المحيط به ذا لون أحمر عكس الليثيوم. وإذا ما قارناً بين عناصر نفس المجموعة، كما في حالة انتقالنا أسفل عناصر المجموعة الأولى أ، أو المجموعة السابعة أ، على سبيل المثال، فسنرى تأثير الزيادة في حجم العنصر على اللون. والرابطة هنا أيونية، ويعكس ذلك شدة اللوئين الأحمر والأزرق.

مثال (۲): التغيير في حجم الذرات والسائلية الكهربائية

حجم العنصر له تأثير قوي على الحامضية، وهي سهولة إعطاء البروتون. وسنوضح كيف نستفيد من كيمياء الحاسوب في شرح وتعزيز هذا المفهوم، وذلك باعتبار المثال التالي.خذ على سبيل المثال بعض الأحماض الثنائية مثل بعض أحماض الها لوجينات، وهي حمض الهيدروفلوريك HF، وحمض الهيدروكلوريك HCl، وحمض الهيدروأيوبيك HI. قمنا بإجراء حسابات الكم (باستخدام حزمة برامج سبارتان ۱۸ وباستخدام طريقة:

Method: ωB97X-D

Basis set: 6-31G^{*}

ولا محل لشرحها في هذا المقام حتى نرتكز على الفوائد. انظر ملحق (۴) للاطلاع على المراجع المناسبة) ودعوني أذكر القارئ بأننا الآن نرتكز على فائدة كيمياء الحاسوب في التعليم. حصلنا على جدول ۱-۲ الذي يتضمن بعض النتائج العددية لبعض الخواص المحسوبة والموضحة في الجدول. فلنفحص القيم العددية وعلاقاتها فيما بينها وبين تركيب الحمض من هالوجينات مختلفة تزداد حجومها من أعلى إلى أسفل الجدول.

جدول ١-٢: بعض النتائج العددية لبعض خواص الأحماض المحسوبة.

الحمض الثنائي	طول الرابطة	طاقة السطح	الشحنة الإلكتروستاتيكية	الهالوجين	الهييدروجين
		الإلكتروستاتيكي	الموجة (كيلوجول)		
FH	٠,٩٢٧	٣٢٢,٧٤	٠,٤٤-	٠,٤٤+	
ClH	١,٢٨٥	٢١٦,٦٨	٠,٢٧-	٠,٢٧+	
IH	١,٤٢٧	١٨٩,٩٩	٠,٢٠-	٠,٢٠+	

وبننظر فاحصة سريعة يتضح الآتي:

أولاً: زيادة في طول الرابطة H-X مقاسة بالأنجستروم هبوطاً من الفلورين، مروراً بالكلورين إلى الأيدين، وهذا دليلٌ على ضعفِ الرابطة بين هذه العناصر وبين الهيدروجين. نلاحظ من الشحنة الإلكتروستاتيكية على كلٍّ من ذرتَي الرابطة اختلافاً في الإشارة؛ فالسالب يعني وجود شحنة إلكترونية على الهالوجين، وتقل من الفلورين إلى الأيدين. بينما يحمل الهيدروجين شحنة موجبة، دليلاً على فقدانه قدرًا من شحنته الإلكترونية؛ لذلك فالرابطة أيونية أي ذات قطب موجب هو ذرة الهيدروجين المتأينة، وقطب آخر سالب هو ذرة الهالوجين المتأينة. تقلُّ الشحنات على كلٍّ من القطبين هبوطاً بحسب الزيادة في حجم ذرة الهالوجين لضعفِ قدرتها على سحب إلكترون الرابطة؛ أي لضعف سالبيتها الكهربية (حيث تُعرف السالبية الكهربية على أنها قُدرة الذرة على سحب إلكترونات الرابطة بينها وبين ذرة الرابطة). هذا يعني ضعفَ الرابطة الأيونية كلما انتقلنا من الفلورين إلى الكلورين إلى الأيدين؛ لذا فحامضية الهيدروفلوريك أضعف بكثير من حامضية حمض الهيدروكلوريك، وأقواها حامضية هو حمض الهيدروأيديك لسهولة إعطائه للبروتون.

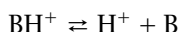
ثانياً: طاقة السطح الإلكتروستاتيكي الموجبة المقاسة بالكيلوجول بالقرب من البروتون تكون ذات قيمة كبيرة في حالة حمض الهيدروفلوريك، وتقل كلما ضعفت السالبية الكهربية للهالوجين.

مثال (٣) : الأحماض الكيميائية

الأحماض من المواد الكيميائية الأساسية، وقوتها تعتمد على سهولة فقدان ذرة الهيدروجين (أي البروتون الذي يحمل شحنة موجبة)، وذلك طبقاً لأحد تعاريفات الأحماض الأكثر تداولاً. وبعض الأحماض تفقد البروتون بسهولة وتكون أحماضاً قوية مثل حمض النيتريل، وبعضاً لا يفقد البروتون بسهولة بل يحمل جزءاً من الشحنة الموجبة فيكون أقلَّ تأثِّراً وأقلَّ حامضيةً، مثل حمض الخليك، وذلك حسب الاتزان التالي:



ففي حالة الأحماض القوية ينزع التفاعلُ بالكامل ناحيةَ اليمين، بينما تقلُّ الإزاحة بحسب قوة الحمض. وتُقاس قوَّةُ الأحماض على مقياس سالب لوغاريتم لثابت الاتزان K ، ويرمز له بالرمز pK_a . وكلما صغرت قيمة العددية ازدادت الحامضية. ومن الممكن اعتبار القواعد بطريقة مماثلة لنتمَّكَن على نفس المقياس من معرفة قوتها بالصورة الآتية:

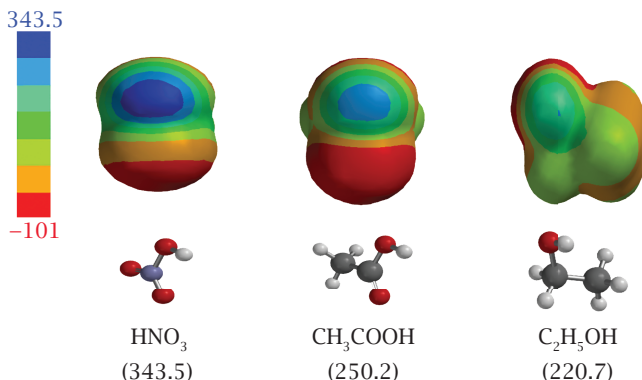


حيث عُولمت القاعدة B المُلتصق بها البروتون معاملة الحمض BH^+ . وبالطبع فكلما ازدادت قوَّةُ القاعدة أيُّ قدرتها على عدم التفريط في البروتون، ارتفعت قيمة pK_a لهذه القاعدة.

وللتعبير عن قوَّةِ الحمض يُمكِّنا استخدام خريطة الطاقة الإلكتروستاتيكية القريبة من البروتون كما يُوضَّحُ الرسم التالي في شكل ٢-٢.

مثال (٤) : طاقات الجزيئات وتتومراتها (Tautomers) وحالاتها الانتقالية

التتومر هو كل أيزومر واحد من اثنين أو أكثر من أيزومرات المركب التي توجد معًا في حالة توازن، ويتم تبادل أشكالها بسهولةٍ عن طريق هجرة أو انتقال ذرة أو مجموعة داخل نفس الجزيء.

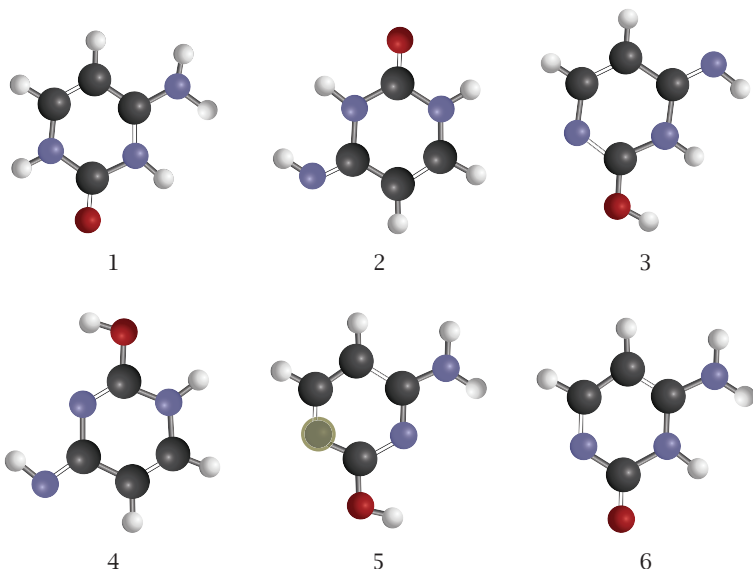


شكل ٢-٢: لاحظ التدرج في لون البروتون من الأكثَر زرقةً في حالة حمض النيتريك، مروراً بحمض الخليل، وصولاً إلى الكحول الإيثيلي الأضعف حامضيةً. القيمة العددية هي قيمة الطاقة بالكيلوجول، وهي قيمة موجبة دالة على الشحنة الموجبة ومتعبّرة عن قوة الحامض كميّاً.

وهذه النوعية من الحسابات تُخبرنا أيّ من التوتومرات (الأيزومر) هو المفضل من حيث الطاقة وهو في حالة الاتزان مع عدد آخر من توتومرات المركب الكيميائي. وكذلك فنحن نحسب الحالة الانتقالية وطاقات المتفاعلات، ومدى سرعة سير التفاعل. والمثال التالي سيُوضّح بعض هذه المفاهيم.

جميع التوتومرات المشتقة من السيتوزين Cytosine – وهو إحدى القواعد البيوكيميائية الحيوية الهامة – تحدث بانتقال البروتونات في الجزيء حيث تُغيّر موضعها. وكلها تكون في حالة اتزانٍ ديناميكي (حركي) فيما بينها. ويُفحص شكل الجزيء الأصلي بواسطة حزمة حسابات سبارتان ١٨ لتوليد قائمة بالتوتومرات الممكنة. ثم تُجرى حسابات مجمّعة للحصول على الأشكال الهندسية المثلالية لكلٌّ من التوتومرات ولحساب طاقاتها. وقد استخدمنا الطريقة الآتية: نوع الوظيفة (Job type): Equilibrium (Job type)؛ الدالية (Geometry): $\omega\text{B97X-D}$ ؛ فئة الأساس «أوريبيتالات» (Basis set): .31-6G*.

وشكل ٤ يُوضّح وجهاً ببرنامج سبارتان ١٨. ويلاحظ من النتائج العددية الملخصة في جدول ٢-٢ أن التوتومرات الثلاثة الأولى هي فقط الأكثَر استقراراً، وأعلاها وزناً هو التوتomer رقم ١، وذلك تبعاً لقيمة وزنه طبقاً لبولتزمان.



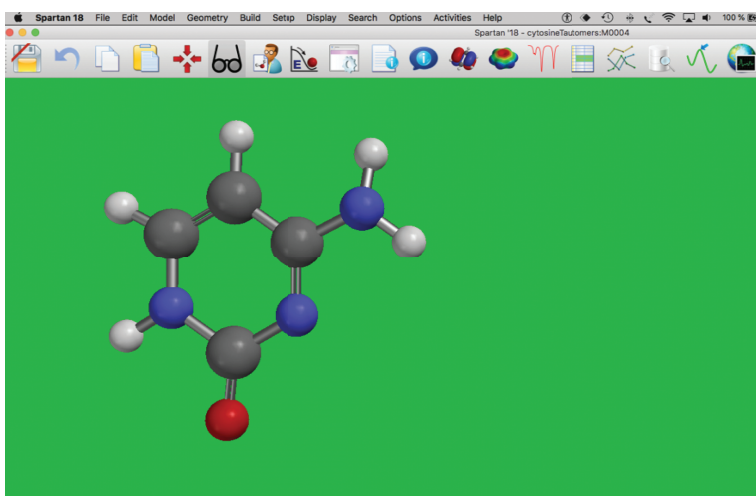
شكل ٢-٢: توتومرات السيتوزين.

جدول ٢-٢: الطاقة النسبية وزن التوتomer (احتمال وجوده).

توتomer	القيمة الجُزئية للتوتomer حسب وزن بولتزمان	الطاقة النسبية (kJ/mol)
١	٠,٨٠٦	٥,٢٧-
٢	٠,٠٩٦	٠,٠-
٣	٠,٠٩٨	٠,٠٣-
٤	٠,٠٠٠	٥٧,٠٣
٥	٠,٠٠٠	٩٦,٤٩
٦	٠,٠٠٠	٢٢,٧٣

وكثر من الجزيئات ذات القيمة الحيوية توجد في أشكال توتوميرية مختلفة وذات طاقات مختلفة. وكمثال آخر، نعرض حالة جزيء اليلوريدين، وله ثلاثة توتومرات ممكنة هي كما في شكل ٥-٢. أكثرها شيوعاً (بنسبة ١٠٠٪) واستقراراً هو التوتomer ١. بينما لا

وجوداً للأشكال الأخرى بالرغم من إمكانية وجودها على الورق فقط، وذلك تبعاً للحسابات الموجزة في جدول .٣-٢



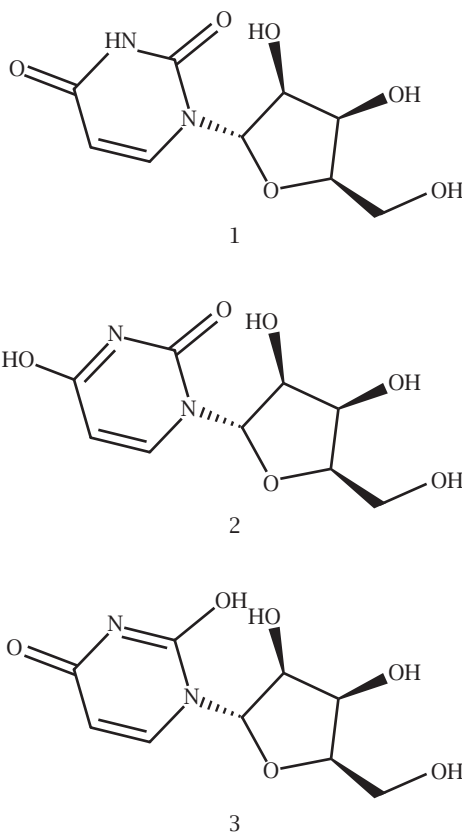
شكل .٤: واجهة برنامج سبارتان.

جدول .٣-٢: موجز نتائج تُوضّح أهمية توتومر ١ لليوريدين.

توتومر	الطاقة النسبية كيلوجول/مول	وزن بولتزمان
١	٤٦,٧٨-	١,٠٠٠
٢	٠,٠٠	٠,٠٠٠
٣	٦١,١٣	٠,٠٠٠

مثال (٥): انتقال البروتون: اتزان بين الشكلين كيتو وإينول

ثمة نوع آخر من التوتوميريزم يُسمى الكيتو-إينول، وينتج من انتقال بروتون من مجموعة هيدروكسيل فتحوّل إلى كيتون. شكل الكيتو هو الغالب في حالة التوازن لمعظم الكيتونات. ومع ذلك، فشكل الإينول مهمٌ لبعض التفاعلات. وفي عملية التحول بين



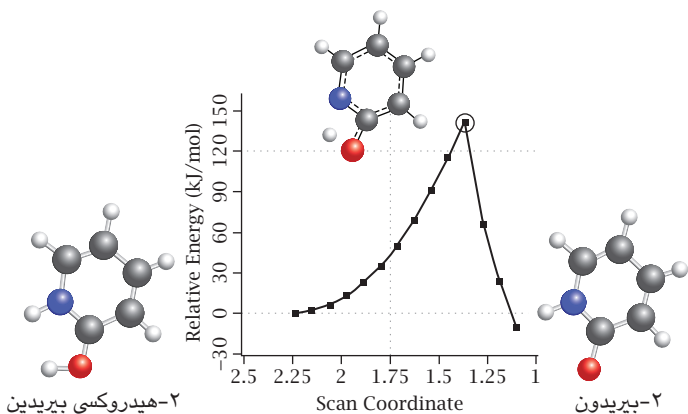
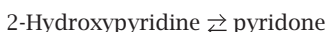
شكل ٢-٥: توتومرات اليووريدين المختللة.

الشكلين يُعد الوسيط المنزوع البروتون، والمشار إليه باسم أنيون إينولات، مهمًا في كيمياء الكربونيل، ويعزى ذلك في جزءٍ كبير منه إلى أنه مُحب قوي لشحنة النواة. يحدث هذا التحويل لأن شكل الكيتو، بصفة عامة، هو الأكثر استقراراً من توتomer الإينول الخاص به؛ لذلك فشكل الكيتو في حالة الاتزان هو الشكل المفضل لأنه الشكل الأقل في الطاقة، أي الأكثر استقراراً. وجدول ٤-٢ يوضح ذلك في حالة توتوميرزم بين ٢-هيدروكسي بريدين و٢-بريدون، كما هو مُبيَّن في شكل ٢-٦ أيضًا.

روعه حسابات كيمياء الكم وتطبيقاتها

جدول ٤-٤: سيادة الكيتو كما تُبيّنها الطاقة النسبية وزن التوتomer.

الكتومر	الطاقة النسبية (kJ/mol)	وزن التوتomer
الإينول -OH	٠,٠٩٩	٠,٠٠
الكيتو =O	٠,٩٠١	٥,٤٩-



شكل ٦-٢: انتقال البروتون مروراً بالحالة الانتقالية وهي الأقل استقراراً، وصولاً إلى البيريدون الأكثر استقراراً من ٢-هيدروكسي بيريدين.

باستخدام برنامج جاوسيان ١٦ تم عمل مسح لانتقال بروتون الهيدروكسيل إلى ذرة النيتروجين في نواة البيريدين، فحصلنا على المنحنى الموضح في شكل ٦-٢، وهو يُمثل التغيير النسبي في الطاقة مع تغير المسافة بين ذرتي الأكسجين والنيتروجين، ويُطّلّق عليها إحداثي المسح كما في شكل ٦-٢. والجدول الآتي يُمثّل ملف إدخال البيانات في برنامج جاوسيان، ويُلاحظ أهمية اختيار الذرة المتنقلة والذرة المتّقدّل إليها، وعدد الخطوات، وقيمة كل خطوة بالأنجستروم. وهذا يُمثّل السطر الأخير في ملف المهمة.

استخدامات في التعليم

```
% chk=K:\h-abst\2-hydroxypyridine.chk
# opt=modredundant wb97xd/6-31g(d) scrf=(cpcm,solvent=water)
geom=connectivity scf=maxcycle=300
2-hydroxypyridine
0 1

N          0.38621846      1.16441058      0.00000000
H          2.43945257      0.85636738      0.00000000
1 2 1.0
2 5 1.5 4 1.5
3 6 1.5 7 1.5
4 7 1.5 8 1.0
5 6 1.5 9 1.0
6 11 1.0
7 10 1.0
8
9
10
11 12 1.0
12
B 12 3      S      10      -0.10
```

ملحوظات على ملف المهمة:

- (١) مهمّة المسح تتم بالأمر الموضّح بعد علامة #.
- (٢) أُجريت الحسابات في الوسط المائي باستخدام الموديل المحدّد في تنفيذ المهمة وهو:

```
scrf=(cpcm,solvent=water)
```

وهنا يجدر بنا الإشارة إلى أهمية اعتبار الوسط واختيار المذيب المناسب، مع ملاحظة أنّ المذيب على الاتزان، فهو مهم جدًا. وفي حزم البرامج الحاسوبية كلها تم تكوين قاعدة بيانات خاصة بخواص المذيب وقطبيّته (مذيب قطبي قوي كالماء، أو مذيب غير قطبي مثل السيكلوكسان).

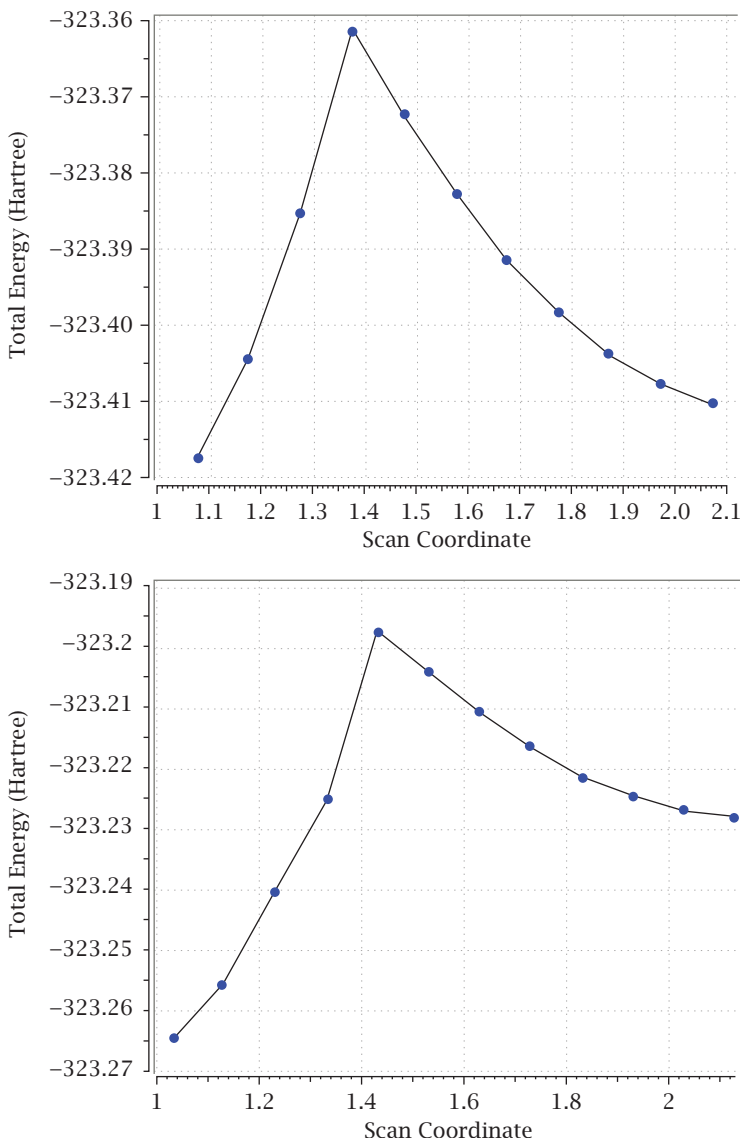
ولدراسة انتقال البروتون في الحالة المثارة (التي من الممكن الوصول إليها بامتصاص الضوء المناسب «باستخدام مصادر الضوء المتوفّرة، على سبيل المثال: الدايود الباعث لأطوال موجات مختلفة») نستخدم الآتي:

```
% chk=K:\h-abst\2-hydroxypyridineEX-2.chk
# opt=modredundant td=(root=1) wb97xd/6-31g(d)
scrf=(cpcm,solvent=water) nosymm geom=connectivity
scf=maxcycle=300

Coordinate
B 12 3 etc. as above.
```

وبذلك نستطيع معرفة سهولة أو صعوبة انتقال البروتون في الحالة المثارة مقارنة بالحالة العاديّة (التي تُسمى بالحالة الأرضية).

استخدامات في التعليم



شكل ٢-٧: مقارنة بين منحنيات طاقة الجهد لانتقال البروتون المحسوبة في الحالة الأرضية (بالأعلى)، والحالة المثارة (بالأسفل).

أولاً: في الحالة الأرضية

كما يوضح شكل ٧-٢، ف حاجز الطاقة بين الإينول والحالة الانتقالية = ١٣٣,٩ كيلوجولًا لكل مول.

و حاجز الطاقة هبوطًا إلى شكل الكيتو = ١٥٢,٣ كيلوجول / مول.
لذا يكون الكيتو مستقرًا عن الإينول بمقدار ١٨,٤ كيلوجول / مول.

ثانيًا: في الحالة المثارة

حاجز الطاقة للوصول إلى الحالة الانتقالية = ٣١,٥ كيلوجول / مول.
والطاقة هبوطًا للكيتو = ١٤٤,٤ كيلوجول / مول.
لذا يكون شكل جزيئي الكيتو أكثر استقرارًا من الإينول بمقدار ١١٢,٩ كيلوجول / مول.

دلالة ذلك هي سهولة انتقال البروتون في الحالة المثارة مقارنة بالحالة الأرضية.

مثال (٦): نزع الهيدروجين من الميثان بواسطة شق الهيدروكسيل

هذه عملية هامة تحدث لتحضير المركبات الكيميائية مثل تكوين جزيء الإيثان من الميثان. فشقُّ الهيدروكسيل النشط كيميائياً (وغيره من الشوارد) يمكنه نزع ذرة هيدروجين مكوناً الماء وشقَّ الميثيل النشط الذي بدوره يتَّحد مع شقَّ ميثيل آخر ناتج بنفس الطريقة ليكون جزيء الإيثان. فعملية تفاعل الشقوق الشاردة (تسمى الشوارد) مع الجزيئات الكيميائية ذات قيمة كبيرة في الكيمياء التخليقية، خاصةً في التفاعلات المتسلسلة Chain Reactions، وأيضاً في تكسير الجزيئات غير المرغوب فيها التي تُعدُّ ملوثات للبيئة.

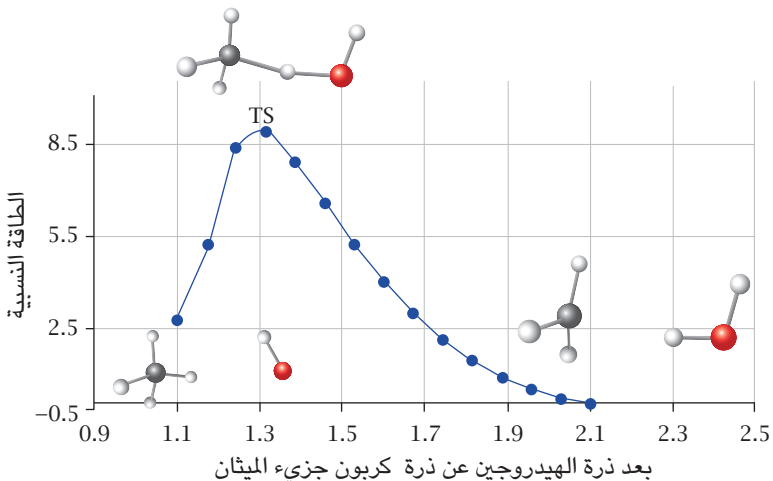
برنامج أوركا بسيط جدًا كما هو موضح قرين الأسطر. وقد استخدمنا في هذه الحالة الإحداثيات الداخلية، وهي مسافة روابط، وزوايا، وزوايا بين الأسطح.

استخدامات في التعليم

```
! UKS B3LYP SV(P) TightSCF Opt SlowConv          عملية الحصول على #
                                                               أفضل شكل
% geom scan B 1 0 = 1.1, 2.1, 15 end End      مسح هندسي على طول #
                                                               الرابطة بين ذرتين مما رقم صفر ورقم واحد،
                                                               ونبدأ ببعد بينهما بقيمة 1.1 أنجستروم
                                                               إلى 2.1 مقسمة على 15 خطوة
% pal nprocs 10 end                          استخدم عشر معالجات لإجراء حسابات #
                                                               على التوازي
* int 0 2                                     الشحنة تساوي صفرًا، والحالة #
                                                               الإلكترونية الثنائية لوجود شق
                                                               الهيدروكسيل حاملاً لإلكترون واحد منفرد
C 0 0 0    0.000000   0.000   0.000
H 1 0 0    1.999962   0.000   0.000
H 1 2 0    1.095870  100.445   0.000
H 1 2 3    1.095971   90.180  119.467
H 1 2 3    1.095530   95.161  238.880
O 2 1 3    0.984205  164.40   27.073
H 6 2 1    0.972562  103.807  10.843
*
*
```

وعندما يقترب شقُّ الهيدروكسيل من جزء الميثان يبدأ في نزع ذرة هيدروجين مروراً بالحالة الانتقالية؛ حيث يقلُّ استقرار المتفاعلات فيها، ثم عندما يتمُّ النزع يحدث استقرار في النواتج وهي جزء ماء وشق ميثيل ذو شكل المثلث المستوي. والبرنامج يدرس هذه العملية باعتبار أن ذرة هيدروجين من جزء الميثان ستَبعُد عن ذرة الكربون فيلتقطها الشق الشارد. وشكل رقم ٨-٢ يُبيّن التغيير في الطاقة كدالة في المسافة بين ذرة الهيدروجين وذرة كربون جزء الميثان.

كل ما فعله البرنامج هو حساباتٍ بإبعاد ذرة هيدروجين عن ذرة الكربون بمسافات محددة، وإجراء ضبط للشكل الأمثل عند كل بُعد وفي وجود شق الهيدروكسيل. ثم نستخدم برنامج واجهة مثل كِرافت ChemCraft لعرض وتحليل البيانات في شكل



شكل ٨-٢: يُبيّن منحنى طاقة الجهد لنزع هيدروجين من جزيء الميثان بواسطة شق الهيدروكسيل، مروراً بالحالة الانتقالية الأقل استقراراً.

صور أو رسومات بيانية. أو باستخلاص النتائج العددية وتمثيلها بيانياً ببرنامج مثل الإكسيل.

وكما هو واضح فشكل ٨-٢ غني عن الشرح. وهنا نلاحظ أن الحالة الانتقالية التي يمرُ بها كلٌ من المواد المتفاعلة تكون ذات طاقة أقل (أكبر قيمة موجبة) من كلٍ من المواد المتفاعلة ومن النواتج. ولو نسبنا الطاقة إلى طاقة النواتج (وهي الأكثر استقراراً) لوجدنا أن الحالة الانتقالية أكثر بُعداً في طاقتها، تليها الطاقة النسبية للمتفاعلات.

ويُمكن للقارئ أو الدارس أن يستخدم البرنامج التالي المُعد بواسطة حُزمـة برامج جاوسيان ١٦، وهو الأحدث إتاحةً تجاريًّا، وذلك للحصول على نفس النتيجة. إن برنامج جاوسيان يسهل التعامل معه خاصًةً في بناء الجزيئات باستخدام واجهته الرسومية المسماة جاوسيان فيو ٦ (GausView6): مع ملاحظة أن النسخ الأقدم من كلٍ من البرنامِجين ما زالت صالحةً لإجراء الحسابات (لاحظ أن العلامة # تسبق تنفيذ الأوامر في برنامج جاوسيان).

استخدامات في التعليم

```
% nprocshared=44
% chk=K:\h-abst\h-abs-Gaus.chk
# opt=modredundant b3lyp/6-31g(d) geom=connectivity
Title: H-Abstraction
0 2
C      1.01614623      0.00768095      0.00000000
H      1.36932118      0.51453472      0.87365136

1 2 1.0 3 1.0 4 1.0 5 1.0
2
3
4
5
6 7 1.0
7
B 1 5 S 15 0.1
```

مثال (٧): تفتيت فورمات الإيثيل إلى إيثين وحمض فورميك

يُعد هذا مثلاً على تكسير روابط وتكوين روابط أخرى للحصول على الإيثين وحمض الفورميك. وهي بداية أولية لفهم تفتيت الجزيئات غير المرغوب فيها أو الجزيئات الكيميائية الضارة بالبيئة، التي تُعد ملوثات للبيئة.

والملفُ اللازم لإجراء هذه الحسابات ببرنامج جاوسيان ١٦ واضح وبسيط:

روعه حسابات كيمياء الكم وتطبيقاتها

```
% nprocshared=8
% chk=Eth-FormatedISSOCIATION.chk
# opt=modredundant wb97xd/6-31g(d) nosymm geom=connectivity
scf=maxcycle=512

ethyl formate

0 1
C      -0.65256616    1.16676930   -1.95442048
O      -0.53168014    2.35790433   -2.07962747
O      -0.01088964    0.39527858   -1.07560945
H      -1.32693538    0.54116394   -2.55658897
C      0.91982937    1.06027481   -0.19979976
H      0.36091564    1.57366016   0.58648847
H      1.50144675    0.24871850   0.24119493
C      1.80484152    2.02672830   -0.96576515
H      1.21011637    2.84264922   -1.38380714
H      2.55291407    2.45570774   -0.29137317
H      2.32631310    1.51193192   -1.77797724

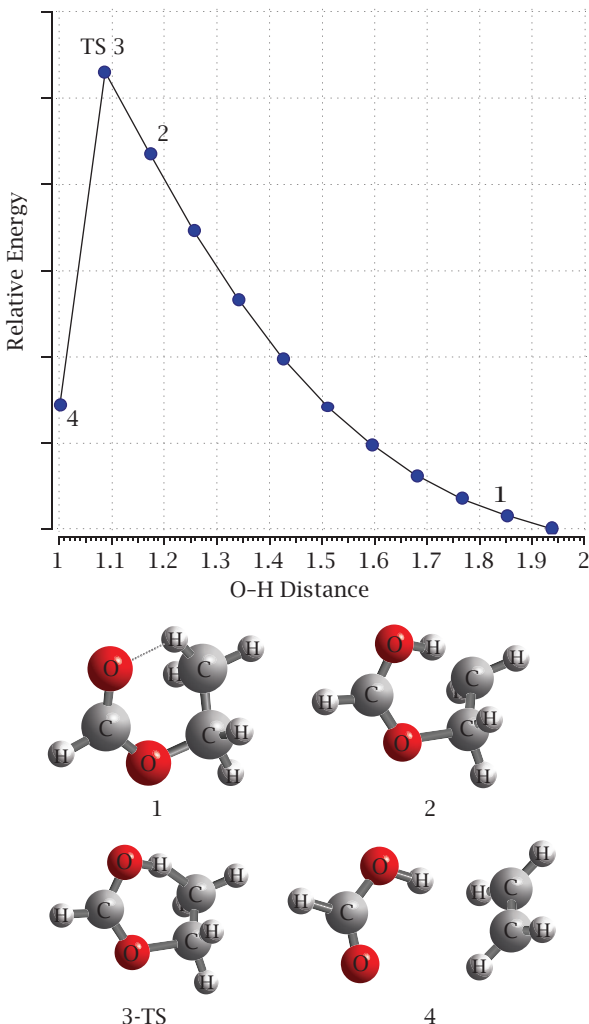
1 2 2.0 3 1.0 4 1.0
2
3 5 1.0
4
5 6 1.0 7 1.0 8 1.0
6
7
8 9 1.0 10 1.0 11 1.0
9
10
11

D 8 5 3 2 F
B 9 2 S 11 -0.085000
```

ويلاحظ أنه تم تجميد (F) الزاوية بين المستويات (D) بحيث لا تتغير مع التغيير في المسافة بين الأكسجين والهيدروجين. هذه المسافة ستتغير ١١ مرة بسعة خطوة مقدارها

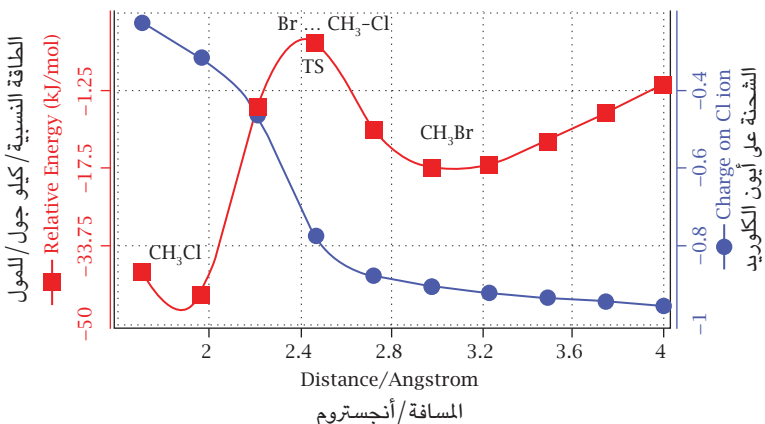
..،٠٨٥-

استخدامات في التعليم



شكل ٩-٢: تُظهر الصورة ١ شكل الجزيء ووجود رابطة هيدروجينية كما هو واضح بالخط المنقط. ثم تقل المسافة كما في الصورة ٢ لت تكون رابطتان بين الهيدروجين وكل من ذرتى الأكسجين والكربون وهما غير مستقرتين، ومنها نصل إلى الصورة ٣ وهي الحالة الانتقالية الأعلى طاقة، وأخيراً ينطرز الجزيء إلى جزيئين، هما الإيثان وحمض الفورميك كما في الصورة ٤ لتصبح المكونات أقل استقراراً.

مثال (٨): تفاعلات الإحلال أو الاستبدال بالميكانيكية الخلفية SN^2



شكل ١٠-٢: تغير الطاقة النسبية باقتراب أيون الكلوريد من بروميد الميثان (المسافة بالأجستروم بين الكربون والكلوريد). لاحظ أن كلوريد الميثان أكثر استقراراً من بروميد الميثان طبقاً لهذا المخطط. وكلما اقترب أيون الكلوريد من بروميد الميثان، نقصت الشحنة السالبة على أيون الكلوريد لتقترب من ثلاثة ألعشر الشحنة السالبة الكاملة عند إحلاله محلَّ البروميد.

باستخدام برنامج مشابه للمثال السابق نستطيع التعرف على إحلال أيون محلَّ أيون آخر في الجزيء، والمثال المشهور في الكتب الدراسية هو إحلال الكلوريد محلَّ البروميد في جزء بروميد الميثان بالميكانيكية المشهورة بالمهاجمة من الخلف مع قلب الشكل الهرمي لشق الميثان. حيث يقترب أيون الكلوريد من جزء بروميد الميثان، فيطرد أيون البروميد ويكتون كلوريد الميثان. يحدث انقلاب في شكل شق الميثيل حيث يكون المثلث الوهمي — الذي تُشغل رءوسه بثلاث ذرات من الهيدروجين — شكلاً هرمياً منقلباً إلى الاتجاه المعاكس، وذلك مروراً بحالة انتقالية يكون فيها شق الميثيل مستوياً.

مثال (٩): تفاعلات الإضافة

خير مثال هو تفاعل قاعدة لويس مثل جزء الأمونيا NH_3 مع حمض لويس مثل ثلاثي هيدريد البoron BH_3 أو ثلاثي فلوريد البoron. ومن المعروف أن جزء الأمونيا قابل لأن يعطي لزوجين من الإلكترونات غير الرابطة المتمركزة على ذرة النيتروجين؛ لذا فجزء الأمونيا طبقاً لتعريف لويس للقواعد والأحماض هو قاعدة تستطيع منح الإلكترونات.

استخدامات في التعليم

بينما ذرّة البورون في جزيء هيدريد البورون غير مشبعة بثمانية إلكترونات، بل ينقصها إلكترونان حتى يكتمل تركيبها الإلكتروني التّمانيّ الأكثر استقراراً؛ لذا فجزيء هيدريد البورون يُعد حمضًا بحسب تعريف لويس للأحماض، وهي المواد المستقبلة للإلكترونات. ولنشاهد الآن ماذا يحدث من تغييرات في التركيب الإلكتروني لكلٍّ من الأمونيا وهيدрид البورون عندما يقتربان أحدهما من الآخر. هذا ما نحصل عليه من كيمياء الحاسوب بتنفيذِ برنامج بسيط مثل البرامج السابقة. البرنامج يصلح للحسابات بحزمٍ برمجية جاوسيان، ويمكن للقارئ أن يحوّله إلى مدخلٍ لبرنامج أوركا بكل سهولة.

```
% chk=BH3-NH3.chk
# opt=modredundant wb97xd/6-31g(d) geom=connectivity

BH3-NH3

0 1
B      -0.23430295    0.40602137   -0.09983751
H      0.91712125     0.43738393   -0.35603801
H     -0.80557074     1.20691359   -0.76408216
H     -0.66017720    -0.66927939   -0.33384476
N     -0.54509957     0.89527950    2.20829718
H     -0.20077814    -0.03464665    2.33744871
H      0.01620960     1.11702795    3.00564255
H     -0.34456420     1.83148834    1.91968229

1 2 1.0 3 1.0 4 1.0 5 0.5
2
3
4
5 6 1.0 7 1.0 8 1.0
6
7
8
B 5 1 S 12 -0.100000
```

مثال (١٠) : الأزمرة الهندسية (سييس - ترانس)

الجزئيات التي تحتوي على رابطة $C=C$ يمكن – كنتيجة للدوران حول هذه الرابطة – أن تأخذ أشكالاً هندسية مختلفة ومستقرة نتيجةً للالتواء Torsion حول الرابطة الثنائية؛ مما ينتج عنه إعادة ترتيب للذرات أو المجموعات المرتبطة بذرتي الكربون. سنوضح المطلوب بمثال مركب ١، ٢-ثنائي كلورو إيثان كالمُبيِّن بشكل ١٤-٢.

ويمكن تعريف زاوية الداي هيدرال (أي الزاوية بين المستويات) على أنها الزاوية بين المستوى المار في الذرات «أ ب ج» والمستوى المار بين الذرات «ب ج د» في حالة الجزيء «أ ب ج د» مثل حالة الجزيء ١، ٢-ثنائي كلورو إيثان كالمُبيِّن بالشكلين ١٤-٢ و ١٥-٢.

لإجراء الحسابات سنبدأ بالوضع ترانس ونجعل الجزيء يتلوى حول الزاوية بين المستويين المحدَّدين في شكل ١٥-٢، ومقدارها ١٨٠ درجة، إلى أن نصل إلى زاوية مقدارها صفر بين المستويين، وذلك على ١٠ خطوات؛ فنحصل على الأيزومر الهندسي سييس والمُمثل في شكل ١٦-٢.

سنرى الآن (شكل ١٧-٢) كيف أثر هذا الدوران على الطاقة النسبية، وكيف أثر على طول الرابطة «الثنائية» بين ذرتي الكربون.

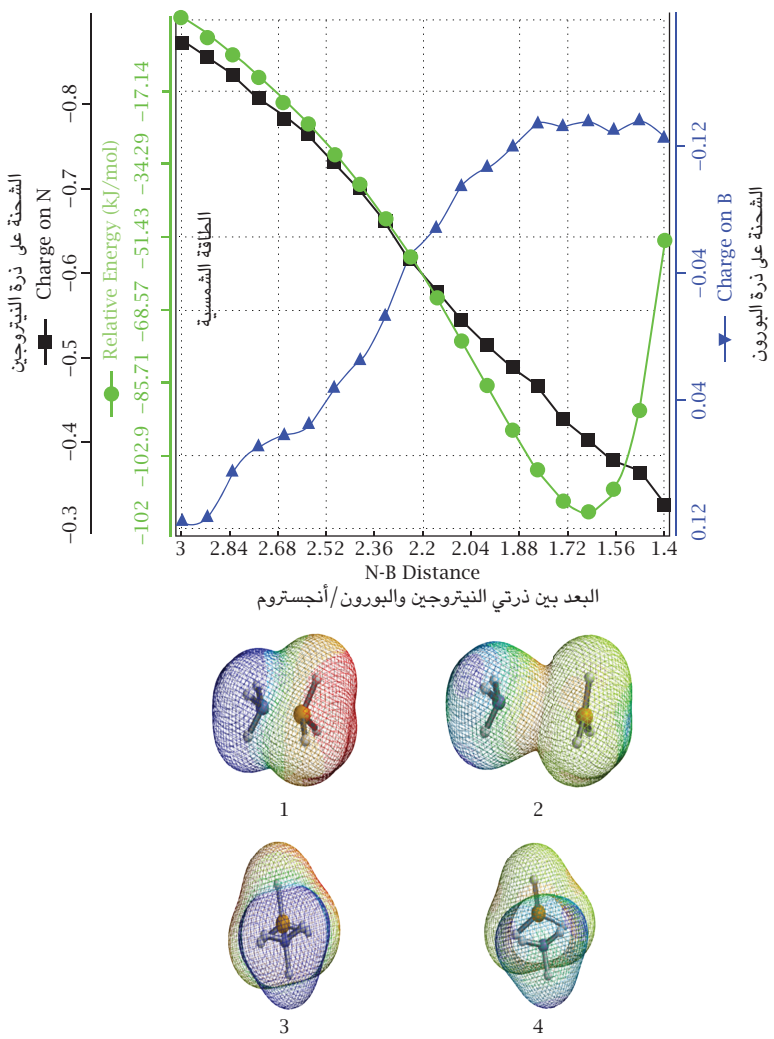
يبين شكل ١٧-٢ أن الرابطة بين ذرتي الكربون يتغير طولها إلى أن يقترب من طول الرابطة الأحادية (١,٣٦ أنجستروم) عند الحالة الانتقالية كنتيجة لاللتواء. ويزاد طول الرابطة الأحادية من حوالي ٦٥ درجة إلى ١٨٠ درجة (في حالة الترانس) تعود الرابطة إلى سابق عهدها عند حوالي ١,٣٢ أنجستروم. وتسلك الطاقة النسبية نفس سلوك طول الرابطة، كما يوضح المنحنى الأسود في شكل ١٧-٢.

إذا أردنا معرفة صورة الجزيء في حالته الانتقالية، فشكل ١٨-٢ يوضح هذه الصورة للجزيء وهو في الحالة الانتقالية (بين الترانس والسييس).

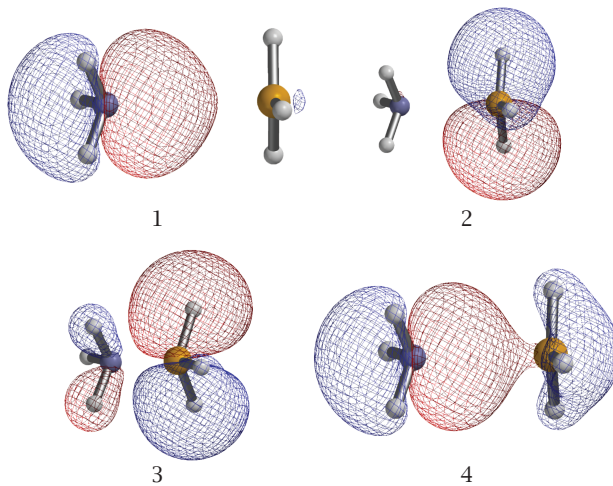
ماذا أيضًا تستطيع الحسابات توضيحه لنا لنتوعب بالصورة ماذا يحدث بالدوران حول الرابطة بين ذرتي الكربون في هذا الجزيء؟

لقد أجرينا هذه الحسابات باستخدام برنامج سبارتان ١٨ النسخة ١,٤. قمنا بإجراء حسابات البروفايل لكل شكل عند الزوايا المحددة بين ١٨٠ درجة إلى ٠ درجة على ١٠ خطوات. استخدمنا الدالية والفئة الأساسية:

استخدامات في التعليم

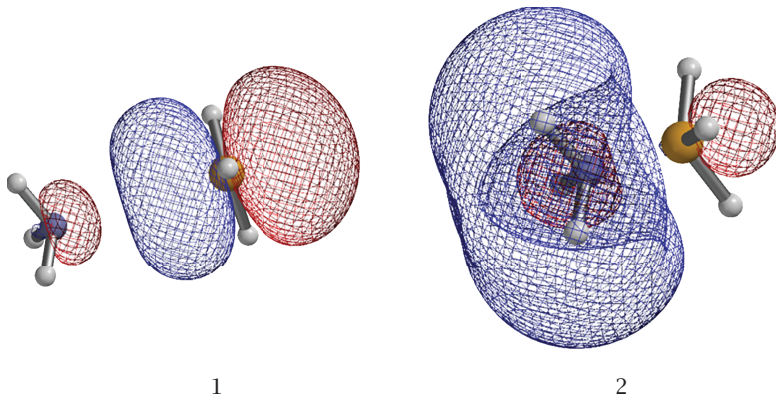


شكل ١١-٢: يوضح التغير في الشحنات على كلّ من ذرّي النيتروجين والبورون والطاقة النسبية لاقتراب كلّ من الجزيئين أحدهما من الآخر لتكوين المركب الثنائي، وأثر ذلك على خريطة الجهد الإلكتrostاتيكي حيث ينتهي إلى الشكل يمين أعلى الصورة، وفيه جزء هيدريد البورون وقد ازداد سطح جهده الإلكتrostاتيكي أحمرًا؛ دليلاً على اكتسابه إلكترونات من الأمونيا التي تزداد زرقةً.



HOMO before and after addition
قبل الإضافة وأثناء الإضافة وبعد الإضافة

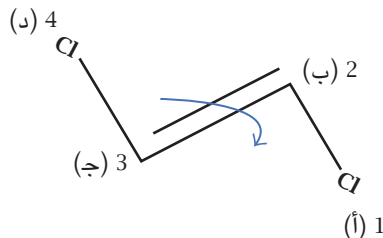
شكل ١٢-٢: تمرُّرُ الهرمو يتغيَّرُ موقعه من على الأمونيا (1) المُعطاة للإلكترونات إلى ثلاثي هيدريد البورون بعد تكوين مركب الإضافة (4)، مروِّراً بالخطوتين (2) و(3).



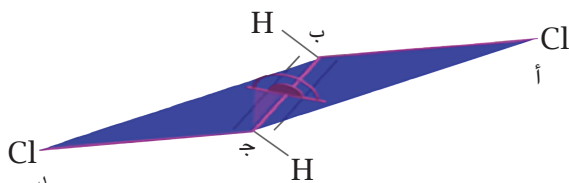
LUMO before and after addition
قبل الإضافة وبعد الإضافة

شكل ١٣-٢: (1) يتمركزُ أوربيتال اللومو الفارغ على ذرة البورون قبل الالتحام. (2) بينما يتمركز اللومو على جزءِ الأمونيا بعد أن تكونَ المركب الثنائي بين الأمونيا وهيدрид البورون.

استخدامات في التعليم

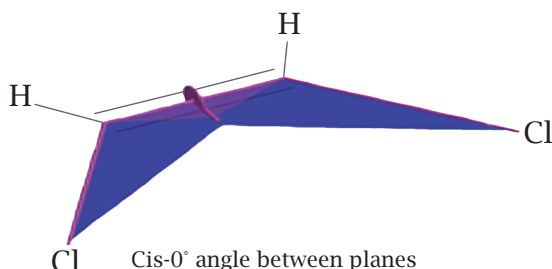


شكل ١٤-٢: مركب ١،٢-ثنائي كلورو إيثان. زاوية الالتواء مُثبتة بالسهم الملتوي حول الرابطة الثنائية التي تربط بين ذرَّتِي الكربون (ب) و(ج).

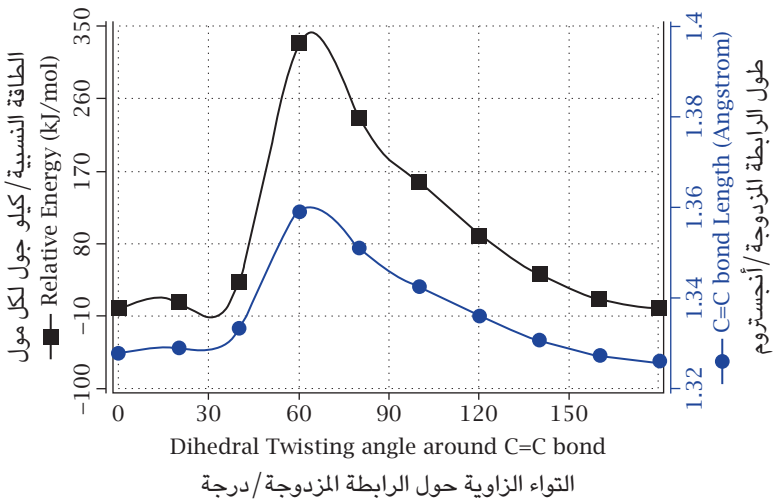


trans- 180° angle between planes

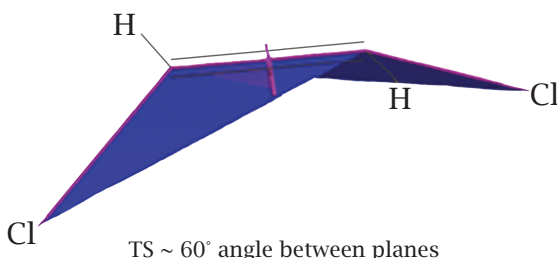
شكل ١٥-٢: مُثُلُتُ المستويات وظُلُلتُ باللون الأزرق، والزاوية بين المستوى «أ» بـ «ج» وبين المستوى «بـ جـ دـ» مقدارها 180° درجة في حالة الأيزومر الهندسي ترانس. وذرتا الكلور متقابلتان في اتجاهين معاكسين.



شكل ١٦-٢: يبيّن الأيزومر سيس وفيه ذرتا الكلور أصبحتا في نفس الجهة، والزاوية بين المستويين أصبحت تساوي 0° درجة.

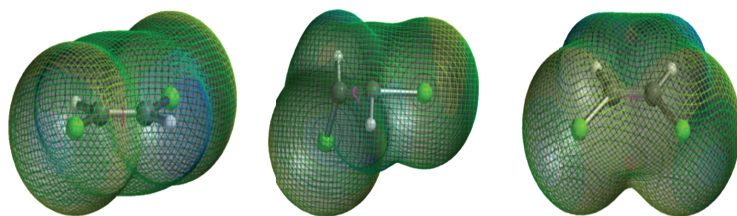


شكل ١٧-٢: أثر تغيير الزاوية بين المستويات على الطاقة النسبية لكلّ من أيزومرات ترانس وسisis، وكذلك على طول الرابطة بين ذرتي الكربون، التي تعانى من التواء يبدأ من ١٨٠ درجة (الأيزومر ترانس) إلى ٠ درجة (في حالة السيس أيزومر)، مروراً بالحالة الانتقالية عند حوالي ٦٥ درجة، وهي الأقل استقراراً.

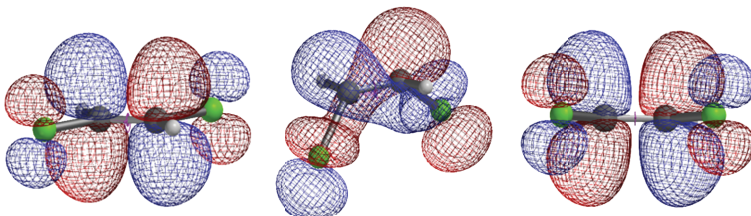


شكل ١٨-٢: صورة الجزيء وهو في الحالة الانتقالية (بين الترانس والسيس)، وهي الأقل طاقةً، أي الأقل استقراراً.

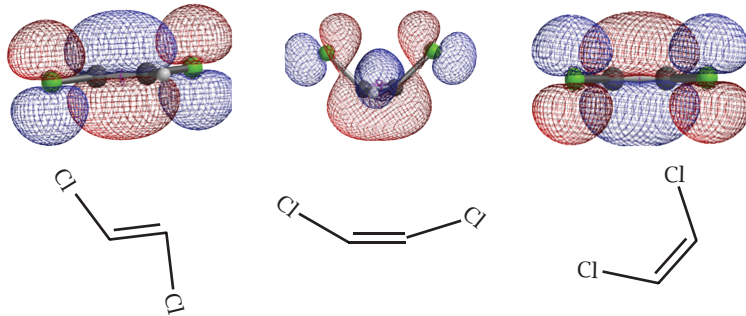
استخدامات في التعليم



(أ) أسطح طاقة الوضع الإلكتروستاتيكية



(ب) اللومو



(ج) الهومو

شكل ١٩-٢: أوربيتالات المواجهة وخرائط الوضع الإلكتروستاتيكية لكُلّ من الترانس والسيس وبينهما الحالة الانتقالية.

سنستمر في تقديم المزيد من الأمثلة التعليمية في الفصول التالية.

الخلاصة

شُرحت الأسس العلمية لعدٍ من الظواهر الكيميائية، وذلك بإعطاء أمثلة محلولة، وبتوضيح ملفات إدخال البيانات اللازمة لإجراء الحسابات وتمثيل النتائج بيانياً. وبعد دراسة هذا الفصل يستطيع القارئ التعرُّف على العديد من المفاهيم الأساسية، منها الآتي:

- (١) تدرج حجم الذرات وجزيئاتها في الجدول الدوري للعناصر، وتدرج حامضية هاليدات الهيدروجين باستخدام الأكواو الملونة لخراطط الكثافة الإلكترونية الموزعة تبعاً للطاقة الإلكتروستاتيكية.
- (٢) استخدام خريطة الكثافة الإلكترونية الموزعة تبعاً للطاقة الإلكتروستاتيكية في التعرف على قوة بعض الأحماض.
- (٣) طاقات الجزيئات وحالاتها الانتقالية وتوترماتها وحسابات استقرارها ونسبة وجودها بتوزيع بولتزمان.
- (٤) انتقال البروتون: اتزان بين الشكلين كيتو وإنول في الحالة الأرضية والحالة المثارة. واتضحت سهولة هجرة البروتون في الحالة المثارة.
- (٥) تفاعلات الاستبدال بميكانيكية الهجوم من الخلف SN^2 mechanism في مركب عضوي وتفاعلات الإضافة مثل تفاعل الأمونيا كقاعدة مع هيدريد البورون كحمض، وشاهدنا التغييرات في أوربيتالات المواد المتفاعلة كلما اقترب بعضها من بعض.
- (٦) كيفية تفتيت فورمات الإيثيل إلى إيثيلين وحمض فورميك، وهو تفاعل هام في تكسير المركبات يُستفاد منه في معرفة كيفية التخلص من المركبات الكيميائية غير المرغوب فيها.
- (٧) كيفية حدوث الأزمرة الهندسية (سيس - ترانس)، وما هي التغيرات الإلكترونية المصاحبة للعملية.

الفصل الثالث

الأطیاف الجزئیة

سنترّض في هذا الفصل إلى دراسة وتعريف طرق حساب الأطیاف الجزئیة؛ حيث سنرّ على نوعین هامین هما الأكثر شیوعاً، وهما طیف الاهتزازات بالأشعة تحت الحمراء وإیاحات رامان، وطیف الإثارة الإلكترونية بامتصاص أو انباع الضوء المرئي والأشعة فوق البنفسجية. وستنعرف على كيفية التنبؤ بنوع وجنس تماثل الحركات الاهتزازية ونشاطيتها، وكذلك التنبؤ بأفضل جزيء كيميائی يعمل ك حاجب لأشعة الشمس الضارة (Sunscreen). وسنعرض طریقة حساب لكل نوع من هذه الأطیاف. وكذلك سنعرض لدیناميکيات الحاله المثاره (الکیمیاء الضوئیة).

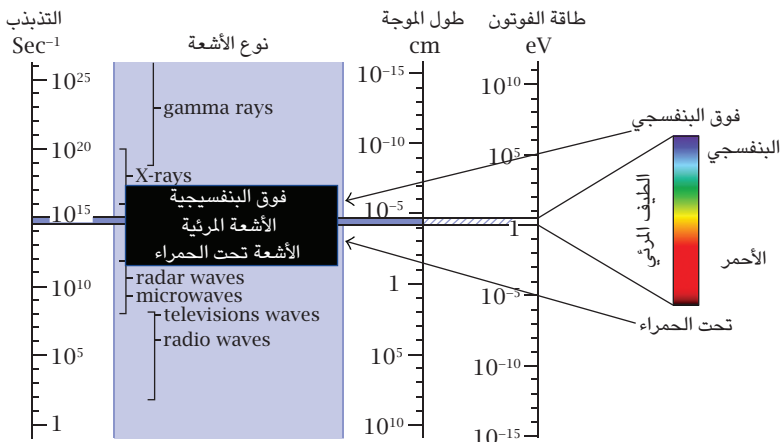
ويجدر بنا في هذا المقام ذكر مقدمة لنلمح بعض الأساسيات الازمة لاستيعاب المجال.

(١) طیف الأشعة الكهرومغناطیسیة

يتضمن طیف الأشعة الكهرومغناطیسیة أنواعاً من الأشعة يختلف بعضها عن بعض في طاقاتها؛ ومن ثم في أطوال موجاتها وتذبذباتها، وشكل ١-٣ يوضح أنواع الأشعة الكهرومغناطیسیة.

تفاعل الأشعة فوق البنفسجية والمرئية مع المادة فتحدث بها انتقالات داخلية للإلكترونات. يُثار الإلكترونون بامتصاصه في هذه المنطقة ويصبح الجزيء مُثاراً بالضوء. ويعتمد معدل امتصاص الضوء على إسكان الجزيئات الموجودة في الحاله الأرضية، وهي التي تكون مشغولة بكل الجزيئات؛ وعلى شدة الضوء الساقط على الجزيئات؛ وعلى معامل آينشتاين لامتصاص الضوء. أمّا معدل انباع الضوء فيعتمد على (أ) الانبعاث التلقائي: المناسب مع إشغال الحاله المثاره، ومعامل آينشتاين للانبعاث التلقائي بين الحاله المثاره والحاله الأرضية. و(ب) الانبعاث المستحب بالضوء: وهذا يتنااسب مع إشغال الحاله

روعة حسابات كيمياء الكم وتطبيقاتها



شكل ١-٣: طيف الأشعة الكهرومغناطيسية، ويحتوي على عدد من الأنواع منها: أشعة جاما وهي مؤينة، وأشعة إكس وهي تتفاعل مع الإلكترونات الداخلية في المواد، ثم الأشعة فوق البنفسجية والمرئية، فالأشعة تحت الحمراء، فالأشعة الميكروثانية، ثم أشعة الراديوا (الأقل طاقة)، وتحدث انتقالات في الحركات المغزالية للإلكترونات والتلوى في وجود مجال مغناطيسي خارجي.

المُثارة وشدة الضوء الساقط من مصدر خارجي على الجزيئات المُثارة، وعلى معامل آينشتاين للانبعاث المستحدث (وهذا ما أدى إلى اكتشاف الليزر).

والأطيف ليست خطيةً بالرغم من حدوث الانتقالات بين مستويات طاقة محددة، بل تأخذ الأطيف المسجلة معمليًّا هيئة حُزْم طيفيةً؛ هذه الحُزْم تتبع في شكلها دوالًّا رياضيةً مثل دوالًّا لورانسيان (حُزْمة طيفية لها ذيل ممتد)، أو جاوسيان (ليس للحُزْمة ذيل)، وهما الأكثر شيوعًا. نحصل على حُزْم طيفية لعدة عوامل، ويمكن للقارئ مراجعة بعض المراجع لمعرفة أسباب اتساع أو ضيق عرض هذه الحُزْم الطيفية المقيدة (Broadening) (of Spectral Bands).

أطيف الأشعة تحت الحمراء والأشعة المرئية وفوق البنفسجية والرنين النووي المغناطيسي (الذى يتم بامتصاص الضوء في منطقة أشعة الراديوا ذات الطول الموجي الكبير، وفي وجود مجال مغناطيسي خارجي) لجزيء ما يمكن حسابها ببساطة باستخدام حُزْم البرامج المتاحة، وإذا كان الجزء غير موجود عمليًّا، فإننا نكون قد تنبأنا وعرفنا خواصه الطيفية بطريقة نظرية، ثم نعمل على تحضيره عمليًّا؛ فقد تكون بعض الصفات

مطلوبٌ لغرضٍ ما في جزءٍ ما نبحث عنه لتحقيق هذا الغرض، مثل ذلك البحث عن جزءٍ قادرٍ على امتصاص ضوء الشمس الضار في المنطقة فوق البنفسجية. وسندرس — من وجهة نظر كيمياء الحاسوب — بعض الأطياف المتنقاة. دراستنا في هذه المرحلة ستقتصر حالياً على نوعين من الأطياف، هما:

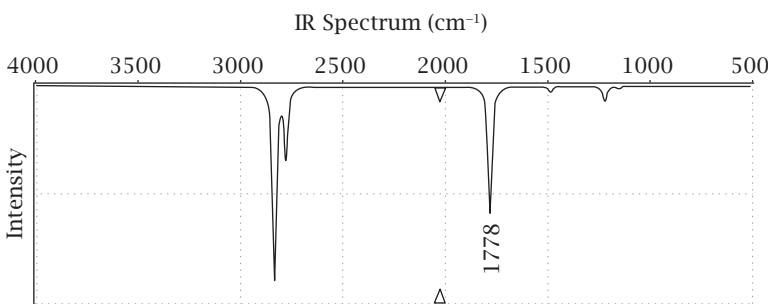
(أ) **طيف الأشعة تحت الحمراء وإزاحات رaman** (أي طيف الاهتزاز لنوى الذرات): ذلك نظراً لتناولها على نطاقٍ واسع؛ أولاً في التعرف على المجموعات الوظيفية في المركبات العضوية، وثانياً في التعرف على الأشكال الهندسية للمركبات والمتراكبات غير العضوية. فطيف الاهتزاز هام جداً في نظر الكيمياء التحليلية للمركبات العضوية، وفي نظر الكيمياء التحليلية لأشكال المركبات عامةً. أمّا الأهمية الثالثة ففي الحصول على معاملات الديناميكا الحرارية. ومعاملات الديناميكا الحرارية المشهورة هي الإنثاليبي والطاقة الحرية لجيبيس، والإنتروبي، بجانب طاقة المستوى الصفرى (المستوى الاهتزازي الصفرى)، أو حركة الجزء عند الصفر المطلق، أو محتوى طاقته عند الصفر المطلق). ومصادر مكونات الكمييات الحرارية هذه هي: مكون طاقة حركة الاهتزاز، ومكون الطاقة الانتقالية، والحركات الدورانية، ومكون طاقة الحركة الإلكترونية. وحُرُّ البرامج تحسب معاملات الكيمياء الحرارية عندما نطلب منها حساب طيف الاهتزاز.

(ب) **طيف امتصاص وانبعاث الضوء المرئي وفوق البنفسجي**: حيث ينبع عن هذه الألوان كثيرون من المركبات الكيميائية الهامة مثل الأصباغ. ويُستعمل هذا الطيف، ليس فقط في التعرف على ألوان الجزيئات، بل أيضاً في تحليلها ومعرفة درجات تركيزها، بالإضافة إلى استخدامها كمجسّسات (أدلة) للوسط وللتغيير اللوني أثناء تفاعلاتها. وانبعاث الضوء من الجزيئات الكيميائية لا يقل أهميةً عن امتصاصه، وهو فرع من فروع الكيمياء الضوئية يُستفاد منه في الكيمياء التحليلية على سبيل المثال لا الحصر.

طيف الأشعة تحت الحمراء

وكما ذكرنا، يتم التعرف على الجزيئات الكيميائية ومجموعاتها من موضع (طاقة) الحركات الاهتزازية بمختلف أنواعها في الطيف. وهناك جداول عدّة في كتب الكيمياء العضوية اشتغلت على معلومات عن العديد من المجموعات الوظيفية وحركاتها الاهتزازية المختلفة. وبنظرية فاحصة مقارنة بين المدون في هذه الجداول وبين المقياس معملياً،

نستطيع التعرف على المركبات العضوية البسيطة. أما المركبات المُخلّقة حديثاً والمعقدة، فوجب مقارنة أطيافها المحسوبة بالقياس معملياً؛ فالطيف المحسوب تكون مصادر حركة كل حُزْمة امتصاص فيه مرئية بعملية المحاكاة. فمثلاً لو كان مصدر الاهتزاز هو شدّاً في رابطة بين الأكسجين والكريتون في مجموعة كربونيل، لَمَكِنَّتْنا المحاكاة من ملاحظة حركة الشد والارتخاء في هذه الرابطة، ولتعرّفنا مباشرةً على طاقتها وشدتها من روية الحركة باستخدام واجهة برنامج الحساب. بالطبع سنحصل على الطيف المحسوب كاملاً (العلاقة بين الطاقة بوحدة مقلوب السنتمتر – أي العدد الموجي – أو ما يُطلق عليه التذبذب كما هو شائع، وبين الشدّة). ونستطيع المقارنة بين الطيف المحسوب بافتراض صيغة كيميائية معينة وتركيبٍ فراغيٍ معين، وبين الواقع العملي المقىس للمادة؛ لنرى مدى التقارب ولنحقق النتائج العملية بكل تفاصيلها وحقيقةتها.



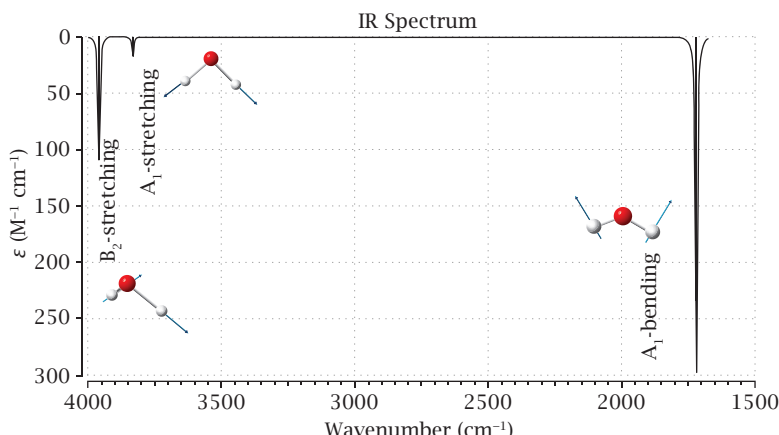
شكل ٢-٣: طيف الأشعة تحت الحمراء للفورمالدهيد في الحالة الغازية.

ولمزيد من التوضيح سنعرض معالجة جزيء الماء بالتفصيل، ثم سندرس عدداً من التطبيقات على جزيئات أخرى.

(أ) طيف الاهتزاز لجزيء الماء

جزيء الماء ينتمي لمجموعة النقطية C_{2v} وله ثلاث حركات اهتزازية تظهر في طيف الأشعة تحت الحمراء، وهي كذلك نشطة بالنسبة إلى إزاحات رaman، وهذه الحركات الثلاث هي: حركة اهتزازية منخفضة الطاقة (عند 1595 سم^{-1}) نتيجة تغيير الانحناء؛ أي في

الزاوية بين ذرتي الهيدروجين وذرة الأكسجين، وهي تامة التماثل، ويُرمز لها بلغة نظرية المجموعات بالرمز A_1 . وحركتان نتيجة الشد في الروابط إحداهما A_1 أيضًا، وتظهر في طيف الأشعة تحت الحمراء عند ذبذبة قدرها 3657 سم^{-1} ، والأخرى شد غير تاماثل (شد في رابطة وانضغاط في الرابطة الأخرى)، ويُرمز لها بجنس التماثل B_2 ، وتظهر في الطيف عند طاقة قدرها 3756 سم^{-1} .



شكل ٣-٣: طيف الأشعة تحت الحمراء للماء، ويُظهر حُزم التذبذب الثلاث ومتغيرات حركاتها.

ويمكن استنتاج عدد ونوع الاهتزازات (أي تماثلهما) من معالجة نظرية واضحة الطريقة باستخدام جدول الصفة أو السمة Character Table لهذه المجموعة النقاطية. وجدول ١-٣ يمثل جدول الصفة لهذه المجموعة:

جدول ١-٣: جدول الصفة للمجموعة النقاطية C_{2v} .

C_{2v}	E	C_2^z	σ_v^{xz}	σ_v^{yz}			
a_1	1	1	1	1	z	x^2, y^2, z^2	
a_2	1	1	-1	-1	R_z	xy	
b_1	1	-1	1	-1	x, R_y	xz	
b_2	1	-1	-1	1	y, R_x	yz	

عندما تتفاعل الجزيئات الكيميائية مع الأشعة تحت الحمراء، تنتج حركات اهتزازية هي عبارة عن متجهات يمكن استنتاج تماثلها؛ ومن ثمًّ يمكن معرفة ما إذا كانت هذه الاهتزازات ستظهر في طيف الأشعة تحت الحمراء لها. وسنأخذ مثلاً بسيطاً لتوضيح الفكرة وأسلوب الاستنتاج.

والجزيئات الكيميائية يمكنها عمل ثلاثة أنواع من الحركات:

(أ) ٣ حركات انتقالية في اتجاهات x, y, z الممثلة في جداول السمات، ومن ثمًّ نعرف تماثلها من فحص هذه الجداول.

(ب) ٣ حركات دورانية R حول المحاور، وأيضاً تماثلها معروفة، ومجموع الحركات الانتقالية والدورانية في الجزيئات المتشعبة (غير الخطية) عددها ٦. أما في حالة الجزيئات الخطية فهي خمس حركات (٣ انتقالية واثنتان فقط دورانية حول المحاور المتعامدة على الخط الواصل بين الذرات).

(ج) حركات اهتزازية تعتمد على عدد ذرات الجزيء، ونستنتجها بالمعادلات:

$$\begin{aligned} \text{جزيئات لا خطية } & 6 \\ Vib = 3N - & \\ \text{جزيئات خطية } & 5 \end{aligned}$$

أيًّا بحسب شكل الجزيء. و N هو عدد الذرات، أما العدد ٣ فهو يدل على إحداثيات كل ذرة (x, y, z). وفي حالة جزء الماء فإن عدد الحركات اهتزازية سيكون:

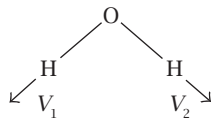
$$Vib = 3 \times 3 - 6$$

أيًّا ثلاًث حركات اهتزازية.

لكن هل هذه الاهتزازات، التي تُسمى طريقة الاهتزاز (Mode of Vibration)، ستكون إيجابية في تفاعلها مع الأشعة تحت الحمراء، فيظهر لها طيف يُسمى طيف الامتصاص للأشعة تحت الحمراء؟

هذا ما سنراه فيما يلي بطريقة استنتاجية في صورة مبسطة يمكن تعميمها على أي جزء فيما بعد.

الأطيااف الجزيئية



شكل ٣-٤: متجهات توضّح الشد في الرابطة بين الأكسجين والهيدروجين.

الشد في روابط جزيء الماء

الشد يمثّله المتجهان V_1, V_2 كما في شكل ٣-٤. ونُجّري عليه عمليات التماثل للمجموعة النقاطية C_{2v} التي ينتمي إليها جزيء الماء؛ وذلك لتكوين تمثيل (Representation) متوجه الشد في الروابط، وذلك باتّباع أوامر عمليات التماثل، التي سُتمثّل بمصفوفات كما توضّحها المعادلات الآتية لعرفة السمة القابلة للاختزال (Reducible Representation) لكل عملية تماثل:

$$E \begin{pmatrix} V_1 \\ V_2 \end{pmatrix} = \begin{pmatrix} 1 & 0 \\ 0 & 1 \end{pmatrix} \begin{pmatrix} V_1 \\ V_2 \end{pmatrix} = \begin{pmatrix} V_1 \\ V_2 \end{pmatrix}, \quad x = 2$$

$$C_2^z \begin{pmatrix} V_1 \\ V_2 \end{pmatrix} = \begin{pmatrix} 0 & -1 \\ -1 & 0 \end{pmatrix} \begin{pmatrix} V_1 \\ V_2 \end{pmatrix} = \begin{pmatrix} V_2 \\ V_1 \end{pmatrix}, \quad x = 0$$

$$\sigma_v^{xz} \begin{pmatrix} V_1 \\ V_2 \end{pmatrix} = \begin{pmatrix} 0 & 1 \\ 1 & 0 \end{pmatrix} \begin{pmatrix} V_1 \\ V_2 \end{pmatrix} = \begin{pmatrix} V_2 \\ V_1 \end{pmatrix}, \quad x = 0$$

$$\sigma_v^{yz} \begin{pmatrix} V_1 \\ V_2 \end{pmatrix} = \begin{pmatrix} 1 & 0 \\ 0 & 1 \end{pmatrix} \begin{pmatrix} V_1 \\ V_2 \end{pmatrix} = \begin{pmatrix} V_1 \\ V_2 \end{pmatrix}, \quad x = 2$$

ومن مجموع العناصر القطرية في كل مصفوفة نحصل على السمة القابلة للاختزال كما في الجدول الآتي:

C_{2v}	E	C_2^z	σ_v^{xz}	σ_v^{yz}	
Γ_{vib}	2	0	0	2	$= a_1 + b_2$

بالنظر إلى جدول سمات C_{2v} وفحصه، سنجد أن اهتزازات الشد هي:

$$\begin{array}{lcl} a_1 & = & 1 \quad 1 \quad 1 \quad 1 \\ b_2 & = & 1 \quad -1 \quad -1 \quad 1 \end{array}$$

ومجموع الأرقام في السطرين (أي مجموع جنس تماثل الحركتين) هو ما جاء في الجدول أعلاه.

بالنظر إلى جدول ١-٣ نجد أن التحليل نتج عنه جنسان للتماثل؛ الجنس الأول تام التماض، والثاني له جنس التماض b_2 . ويمكن تمثيلهما بالصورة المبينة في شكل ٥-٣.



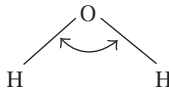
شكل ٥-٣: الشد المتماثل، وله جنس التماض التام a_1 ; وغير المتماثل، وله الجنس b_2 .

الاهتزاز بين الروابط (انحناء الزاوية)

وهي حركة اهتزازية تُقلل وتزيد من الزاوية بين الرابطتين، ويمثلها متوجه ذو رأسين كما هو موضح في شكل ٦-٣.

هذا السهم ذو الرأسين لن ينتقل من مكانه بفعل عمليات التماض الأربع (عملية C_2^z و σ_v^{xz} ستتنقل النصف الأيمن مكان الأيسر وهكذا)، ومن ثم فإن هذا المتوجه سيكون تامًّا

الأطيااف الجزيئية



شكل ٦-٣: السهم ذو الرأسين يمثل التشوّه أو الانحناء في الزاوية بين الرابطتين.

التماثل a_1 . وبناءً عليه، توجد طريقة واحدة للاهتزاز المشوّه للزاوية بين الروابط طبقاً للجدول الآتي:

C_{2v}	E	C_2^z	σ_v^{xz}	σ_v^{yz}	
$\Gamma_{bending}$	1	1	1	1	$= a_1$

تطبيق قواعد الاختيار Selection Rules

هذه القواعد تعتمد على تكامل رياضي لثلاث كميات نعبر عنها بتماثلها:

$$\Psi_g = a_1 \quad (1)$$

الحالة الاهتزازية للجزيء قبل تفاعله مع الأشعة تحت الحمراء، وهي دائمًا تامةً تمايزاً.

$$\Psi_e = 2a_1 + b_2 \quad (2)$$

وهي طرق الاهتزازات المختلفة في جزيء الماء، والتي استُنْتَجَت كما رأينا.

(٣) مؤثر (Operator) بنقل الحركة من Ψ_g إلى Ψ_e ويُسمى (Oscillating Dipole) العزم المتردد بين القطبين ($\vec{\mu}$)، وله ثلاثة مركبات في اتجاهات x ، y ، z ، وهي $\vec{\mu}_x$ و $\vec{\mu}_y$ و $\vec{\mu}_z$.

وتماثلها يشبه تماثل المحاور x و y و z حيث يمكن معرفتها بنظرية إلى جدول السمات للمجموعة (انظر جدول ١-٣).

وتقول لنا قاعدة الاختيار متى سيكون حاصل الضرب $\Psi_g \Psi_e \mu \Psi_g$ دالةً تامةً التمايز (a_1) أو غير تامةً التمايز (أي جنس تماثل آخر غير a_1). فإذا كان حاصل الضرب تاماً التمايز، فسيكون لتماثلها مساحة تحت المنحنى (أنها ستكون دالة زوجية، وتكميل الزوجية له دائمًا قيمة أكبر من الصفر)؛ وعندئذ يظهر لطريقة الاهتزاز مساحة

تحت منحنٰي في طيف الأشعة تحت الحمراء. ففي حالة الاهتزازة a_1 مثلاً، نجد أن حاصل ضرب $\Psi_g \mu \Psi_e$ يكون أيضاً تماًن التماثل:

$$\begin{array}{rccccc} \Psi_g & = & a_1 & 1 & 1 & 1 \\ \mu_z & = & a_1 & 1 & 1 & 1 \\ \Psi_e & = & a_1 & 1 & 1 & 1 \\ \hline \Psi_g \mu \Psi_e & = & a_1 & 1 & 1 & 1 \end{array}$$

وعليه ستكون الاهتزازات من جنس a_1 نشطة في الطيف، وكذلك الاهتزازات من النوع b_1 ستكون أيضاً نشطة؛ نظراً لأنه توجد مركبة μ لها نفس نوع التماثل للحركة الاهتزازية b_1 .

$$\begin{array}{rccccc} \Psi_g(a_1) & 1 & 1 & 1 & 1 \\ \mu_y(b_2) & 1 & -1 & -1 & 1 \\ \Psi_e(b_2) & 1 & -1 & -1 & 1 \\ \hline \Psi_g \mu_y \Psi_e & 1 & 1 & 1 & 1 \end{array}$$

إزاحات رaman لجزيء الماء

رامان هو فيزيائي هندي حاصل على جائزة نوبل عام ١٩٢٨؛ لاكتشافه في عام ١٩٢٨ ظاهرة تشتت الضوء المرئي للملبة الرئيسي (حالياً يستخدم مصدرًا ضوئيًّا قويًّا الشدة مثل ضوء ليزر مرئي) عندما يتفاعل مع الجزيء، فيُزاح الضوء المتشتت عن الضوء الساقط على الجزيء بمقدار طاقة تساوي الطاقة الضوئية اللازمة لعمل الحركة الاهتزازية. وسُمي هذا النوع من الأطيف باسم مكتشفه.

ويُعد طيف رامان مكملاً لطيف الأشعة تحت الحمراء، كما سيتضح من مثال الماء وبعض الأمثلة الأخرى في هذا الفصل.

وبنفس طريقة الأشعة تحت الحمراء، يمكن معرفة نشاط أثر رامان على جزيء الماء، وذلك بأن يحل المؤثر α_{ij} محل $\vec{\mu}$ لها ستة مركبات هي: α_{xz} , α_{xy} , α_{xx} , α_{yy} , α_{yz} , α_{zz} . وتعبر α_{ij} عن مدى سهولة تتبع حركة الإلكترونات على الجزيء للحركة الكهربائية للأشعة الضوئية، وتسمى مؤثر الاستقطابية، وجنس تماثلها هو نفسه جنس تماثل xy , xz , yy , yz , xx , zz وأي مركبة أخرى في جداول السمة؛ وعليه فإن الحركات الثلاث الاهتزازية لجزيء الماء، وهي $b_2 + 2a_1 + b_2$, ستكون أيضاً نشطة وتظهر في أطيف رامان لجزيء الماء كما في جدول ٢-٣.

جدول ٢-٣: طاقة الحركات الاهتزازية في جزيء الماء.

	IR, cm^{-1}	Raman, cm^{-1}^*	
شد (str) b_2	٣٧٥٦	٣٧٥٦	(غير مستقطبة)
شد (str) a_1	٣٦٥٧	٣٦٥٧	(مستقطبة)
انحناء (bend) a_1	١٥٩٥	١٥٩٥	(مستقطبة)

* طريقة الاهتزاز (a_1) لا تغير من استقطاب الضوء.

وبالرغم من ظهور كل الاهتزازات في كل من طيف الأشعة تحت الحمراء وإزاحة رامان، فإن رامان تقدم معلومة مفيدة عن نوع الاهتزازة، وهي خاصية استقطاب الضوء؛ فكل الحركات الاهتزازية ذات جنس التماثل التام لا تغير من استقطابية الضوء الساقط على الجزيء، ويُطلق على هذه الحركات الاهتزازية خاصية مستقطبة، وكل ما عدتها تكون غير مستقطبة. وللاستزادة في المعلومات المتخصصة يمكن للقارئ الرجوع إلى المراجع في هذا الموضوع.

(ب) جزيء الفورمالدهيد

ينتمي جزيء الفورمالدهيد إلى نفس مجموعة الماء؛ حيث شكله الهندسي يشبه الماء، لكنَّ عدد ذراته ٤. وظيف الفورمالدهيد يحوي ٦ حركات اهتزازية؛ ثلاثة منها شد في الروابط، وثلاث تغيير في الزوايا. التغيير في الزوايا يحتاج طاقة أقل من الشد في الروابط. وطبقاً

للجدول ٣-٣ فالثلاث قيم الأقل طاقة تناظر التشويفي في الزوايا بالاهتزاز. والثلاث قيم أعلى في الطاقة تناظر شد وارتخاء الروابط، وهي على الترتيب: الشد بين الأكسجين والكربون، ثم الشد المتماثل بين كل من ذرتي الهيدروجين والكربون، والشد غير المتماثل (شد في رابطة)، وارتخاء في الرابطة الأخرى بين ذرتي الهيدروجين والكربون وهي الأعلى قيمة؛ حيث تحتاج عملية الاهتزاز غير المتماثلة طاقة أعلى.

جدول ٣-٣: طاقة الاهتزازات وشتدتها.

	v	I
<input type="checkbox"/>	1147	0.01
<input type="checkbox"/>	1217	0.08
<input type="checkbox"/>	1481	0.04
<input type="checkbox"/>	1777	0.67
<input type="checkbox"/>	2774	0.36
<input type="checkbox"/>	2828	1.00

وحيث إن الفورمالدهيد ينتمي إلى المجموعة النقاطية C_{2v} ، فإنه يمكن تصنيف حرکاته الاهتزازية طبقاً لهذا التماثل.

(ج) مقارنة رتبة رابطة الكربونيل في عدة مركبات

والمثال التالي سيوضح لنا التغيير الحادث في طيف الاهتزاز (الشد في رابطة الكربونيل بين الكربون والأكسجين) بتغيير طبيعة وشكل الجزيء، وذلك في حالة الفورمالدهيد والأسيتالدهيد والبيوريا.

والآن، حان موعد تقديم برنامج حساب طيف الاهتزاز تبعاً لطلبات حزمة برماج أوركا.

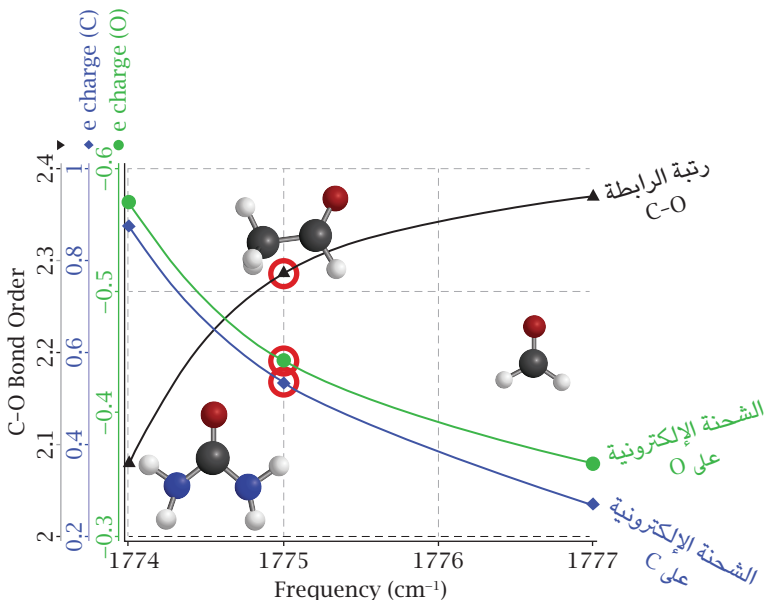
والملف الآتي يوضح كيفية حساب طيف الاهتزاز لأي جزيء (فقط حدد إحداثيات الجزيء).

الأطيف الجزيئي

```

! RKS BP def2-TZVP RI TightSCF Grid5 NoFinalGrid
# perform a geometry optimization first
! Opt
# Run an analytical or numerical frequency calculation afterwards
! AnFreq # or just ``! Freq''
end
* xyz 0 1
Coordinates
*

```



(د) أمثلة أخرى

وعامةً نستطيع استنتاج عدد وتماثل الحركات الاهتزازية المختلفة لأي جزيء كيميائي إذا ما عرّفنا شكله الهندسي. معرفة الشكل الهندسي تمكّنا من تصنيف الجزيء إلى المجموعة النقطية المناسبة. وكذلك إذا عرفنا الطيف، فإننا نستطيع أن نستنتج الشكل الهندسي.

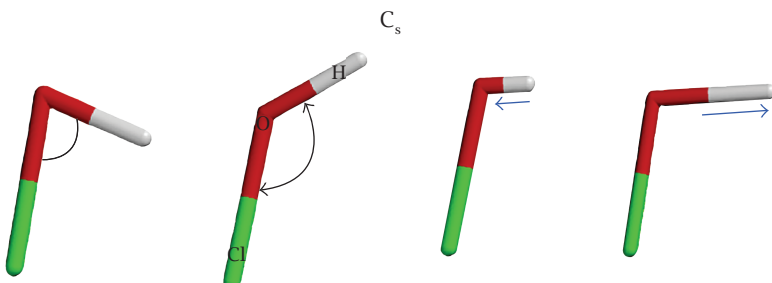
جدول ٤-٣: عدد ونوع اهتزازات الشد في الرابطة لجزيئات غير عضوية ذات أشكال هندسية وتماثل مصنّف طبقاً للمجموعات ذات النقطة.

التماثل Symmetry	جنس الاهتزاز Species	النشاط IR	النشاط Raman	أمثلة جزيئات
O_h	a_1	—	+	
	e_g	—	+	$\text{Cr}(\text{CO})_6$
	t_{1u}	+	—	
T_d	a_1	—	+	ClO_4^-
	t_2	+	+	CCl_4
D_{4h}	a_{1g}	—	+	
	b_{1g}	—	+	XeF_4
	e_u	+	—	
D_{3h}	a_1'	—	+	BF_3
	e'	+	+	ClO_3^-
	$2a_1'$	—	+	
C_{3v}	e'	+	+	$\text{Fe}(\text{CO})_5$
	a_2''	+	—	
	a_1	+	+	
C_{2v}	e	+	+	NH_3
	a_1	+	+	
C_s	b_2	+	+	H_2O
	a'	+	+	
	a''	+	+	HOCl

وجدول ٤-٣ يشتمل على معلومات لأطيف الاهتزاز لعدد من المركبات البسيطة والمعقدة؛ فالجدول يوضح نوع تماثل متوجهات الحركات الاهتزازية، وهل ستكون نشيطة (+) أم خاملة (-) أي لا نشاهدتها في طيف الاهتزازات، سواء طيف الأشعة تحت الحمراء أو طيف رaman. وحصلنا على هذه النتائج المدونة في جدول ٤-٣ باستخدام أسلوب نظري مبني على أساس نظرية المجموعات للتنبؤ بنوع تماثل الحركات الاهتزازية ونشاطيتها. ويمكن للقارئ الرجوع إلى مرجع مناسب في نظرية المجموعات في الكيمياء والأطيف. ولتحقيق بعض ما جاء في جدول ٤-٣ سنستعرض بعض الأمثلة. ووجب التركيز على أن النتائج في جدول ٤-٣ تعنى فقط بالشد في الروابط. سنستكمل المناقشة ونفهم أيضًا باهتزازات التشوه في الزوايا.

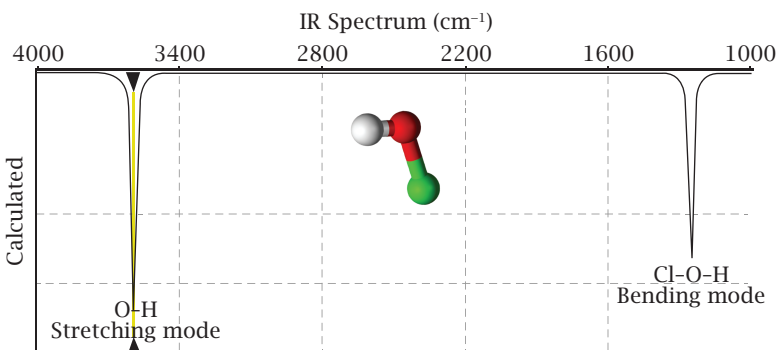
سنبدأ بالمجموعة C_s ويمثلها جزيء حمض الهيبوكلورس HOCl، ثم الأمونيا (C_{3v})، ثم أنيون حمض الكلوريك ClO_3^- (D_{3h})، ثم رابع كلوريد الكربون وتماثله رباعي الأوجه T_d . وملحق (١) يحتوي على جداول السمات لبعض المجموعات الهامة.

أولاً: طيف الاهتزاز لحمض الهيبوكلورس (C_s) HOCl



شكل ٨-٣: متوجهات الشد والاتضاغاط في الرابطة بجانب التشوه في الزاوية.

تنبئات المعالجات في نظرية المجموعات بوجود اهتزازة شد في الرابطة بين الهيدروجين والأكسجين ذات تماثل a' تكون نشطة بالنسبة إلى طيف الأشعة تحت الحمراء وكذلك رaman. ولاستكمال الصورة، فإن معالجة التشوه في الزاوية — كما وضحت في شكل ٨-٣ — بحسب منحنٍ ذي رأسين؛ ينتج عنها، طبقاً لنظرية المجموعات، طريقة اهتزازية



شكل ٩-٣: طيف الأشعة تحت الحمراء لحمض الهيدروكلوروس.

واحدة لها أيضًا جنس التماثل التام a' . وتؤكد القياسات المعملية للطيف وجود حُزْمتين لامتصاص ضوء الأشعة تحت الحمراء كما بينَها شكل ٩-٣.

ثانيًا: طيف الاهتزاز للأمونيا (C_{3v})

بالرجوع إلى نتائج جدول ٤-٣، يتضح أن شد الروابط في جزيء الأمونيا هو من النوع:

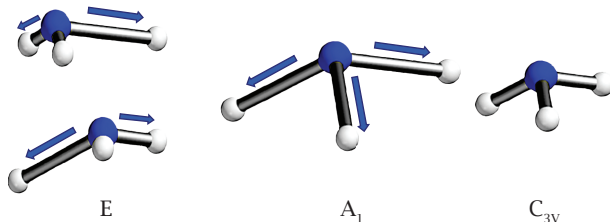


كما مُثُلت متجهات الشد في شكل ١٠-٣. وهنا نلاحظ أن الحركة الاهتزازية من النوع e ثنائية، ويمثلها صورتان متكافئتان في التماثل ومتساويتان في الطاقة، فتظهر كحُزْمة واحدة في الطيف (degenerate in symmetry and in energy).

وبفحص طيف رaman للجزيء المبين في شكل ١١-٣ يتضح وجود حُزْمتين عند طاقات عالية، وهي تمثل الشد في الروابط بجانب وجود حُزْمتين آخريتين عند طاقات أقل، وهي في الغالب نتيجة التغيير في الزوايا. وبدراسة المتجهات الدالة على التغيير في الزوايا، وعددها ثلاثة، تبين أنهم تتشابهان الشد في الروابط من حيث التماثل. يوضح شكل ١٢-٣ هذه الاهتزازات التي تشوّه شكل الجزيء.

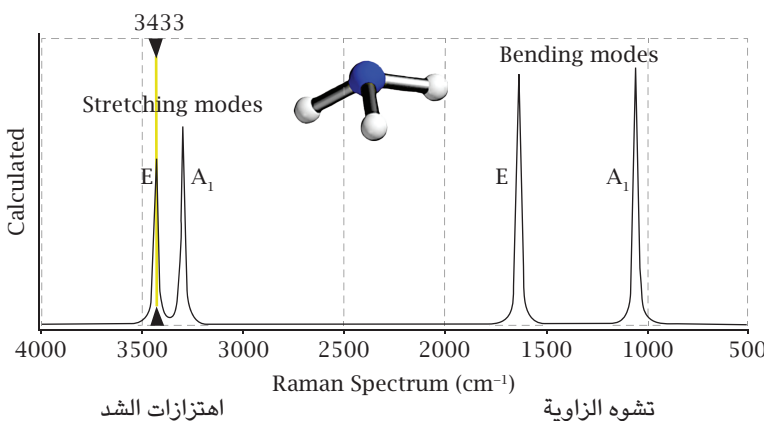
الأطيف الجزيئية

Stretching vibrations: $a_1 + e = \text{two modes}$



شكل ١٠-٣: جزيء الأمونيا وحركات الشد في الروابط ونوع تماثلها.

وفي هذا المقام نود التنويه إلى أن طريقة الاهتزاز من النوع a_1 ينتج عنها زيادة جميع الزوايا أو نقصانها جمِيعاً في آنٍ واحد. وهذا ممكُن حدوثه ما دام الجزيء غير مستوي الشكل.

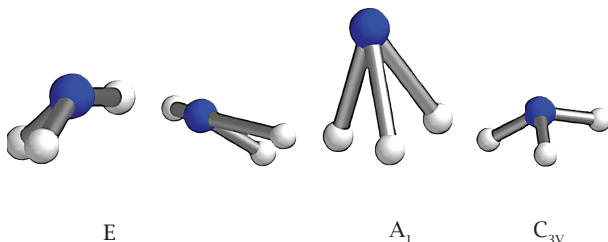


شكل ١١-٣: طيف رaman لجزيء الأمونيا.

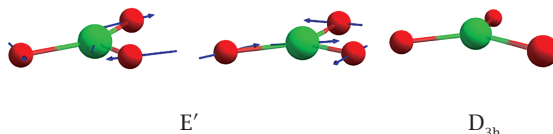
ثالثاً: طيف الاهتزاز لأنيون حمض الكلوريك (D_{3h})

يبين شكل ١٢-٣ أن الجزيء مثلثيُّ مستوٍ، وجميع زواياه الثلاث متساوية وقيمتها ١٢٠ درجة. وبتحليلها بأسلوب نظرية المجموعات نجد أنها تنتج نوعين من الحركات الاهتزازية؛ أحدهما الحركة الاهتزازية a_1' (تمامة التماثل)، وتُعد غير مقبولة فيزيائياً؛ حيث لا يمكن زيادة جميع الزوايا أو نقصانها في آن واحد؛ لذلك استبعينا هذا النوع من شكل ١٢-٣. النوع الآخر له التماثل e' ، وله صورتان مختلفتان من الحركات الاهتزازية لكنْ لهما نفس الطاقة (degenerate).

Bending vibrations: $a_1 + e = \text{two modes}$



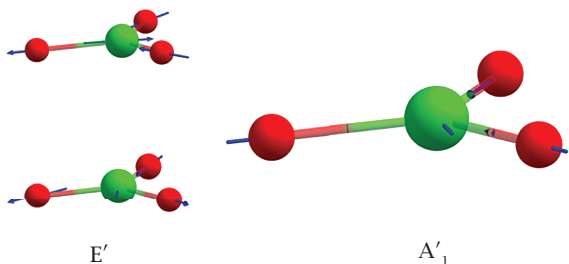
شكل ١٢-٣: جزيء الأمونيا وحركات الانحناء بين الروابط (التشوه) ونوع تماثلها.



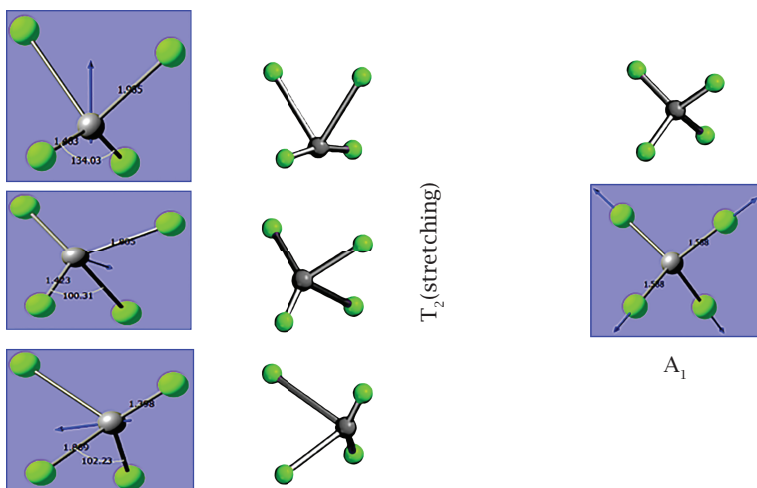
شكل ١٣-٣: الشكل الهندسي لأنيون حمض الكلوريك والحركة الاهتزازية الثانية الصورة ذات الطاقة المتساوية.

وبخصوص الشد في الروابط الثلاث، فشكل ١٤-٣ يحقق النتائج المُدرجة في جدول ٤-٣.

الأطيااف الجزيئية



شكل ١٤-٣: نوعا اهتزازات الشد في أنيون حمض الكلوريك.



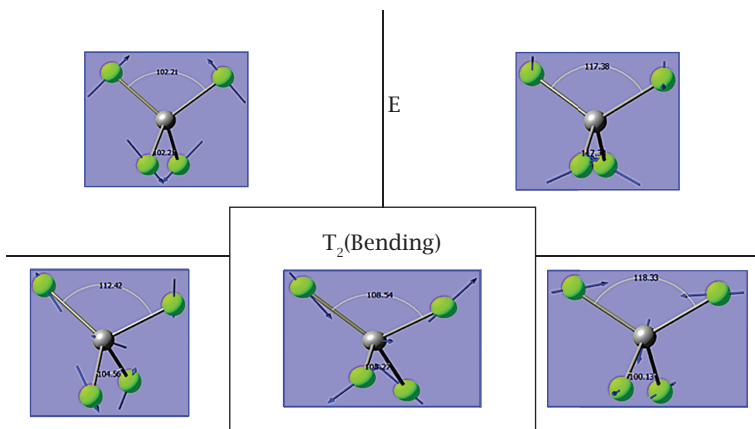
شكل ١٥-٣: نوعا اهتزازات الشد في جزيء رابع كلوريد الكربون.

لقد أجريت غالبية هذه الحسابات باستخدام حزم برنامج جاوسيان ١٦؛ وذلك لإمكانياته الحسابية في الحصول بسهولة على كل من طيف امتصاص الأشعة تحت الحمراء وطيف رaman. وسنعرض ملف إدخال البيانات في نهاية مناقشة هذا الموضوع.

رابعاً: طيف الأشعة تحت الحمراء ورامان لرابع كلوريد الكربون (T_4)

طبقاً لما جاء في جدول ٤-٣ فطيف الأشعة تحت الحمراء سيحتوي على حزمة امتصاص واحدة من النوع الثلاثي الصورة T_2 , وهذا ما نلاحظه فعلًا في الطيف المقيس، وتظهر عند التذبذب $6\text{-}80\text{ سم}^{-1}$; وذلك لأن حركة الشد الأخرى المتوقعة (شكل ١٥-٣) هي من النوع التام التمايل a_1 , وهي غير نشطة في الأشعة تحت الحمراء. بينما تظهر اهتزازات الزوايا، ويمثلها ستة أسمهم ذوات رأسين، ستظهر أيضاً حزمة واحدة من النوع الثلاثي الصورة T_2 , إلا أن شدتها ضعيفة، فلا نشاهد لها عمليًا في حالة هذا الجزيء.

وعند تحليل أسمهم اهتزازات الزوايا، عددها ستة، ينتج ثلاثة أنواع من الاهتزازات هي من النوع a_1, t_2, e . وكلها نشطة وتظهر في طيف رaman. ومرة أخرى نرى أن النوع a_1 لا يمكن حدوثه فيزيائياً في شكل الهرم رباعي؛ ومن ثم سنشاهد نوعين فقط من حركات التغير في الزوايا، كما يظهر في شكل ١٦-٣، وكذلك في طيف رaman المبين في شكل ١٧-٣.



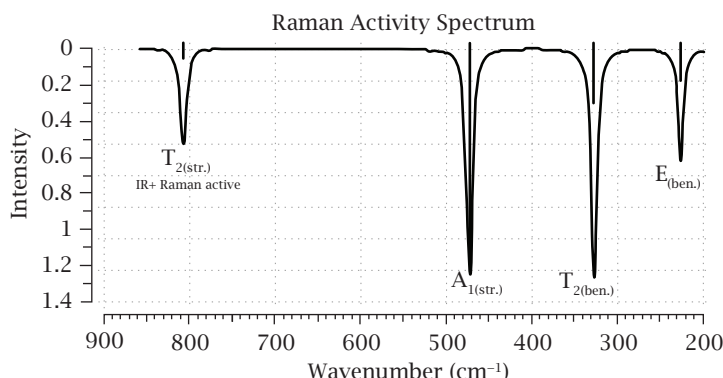
شكل ١٦-٣: نوعاً اهتزازات الزوايا في جزيء رابع كلوريد الكربون.

وقد استخدمنا برنامج جاوسيان ١٦ لسهولة الحصول منه على كلّ من أطياف الامتصاص للأشعة تحت الحمراء ورامان. وملف إدخال البيانات هو كالتالي:

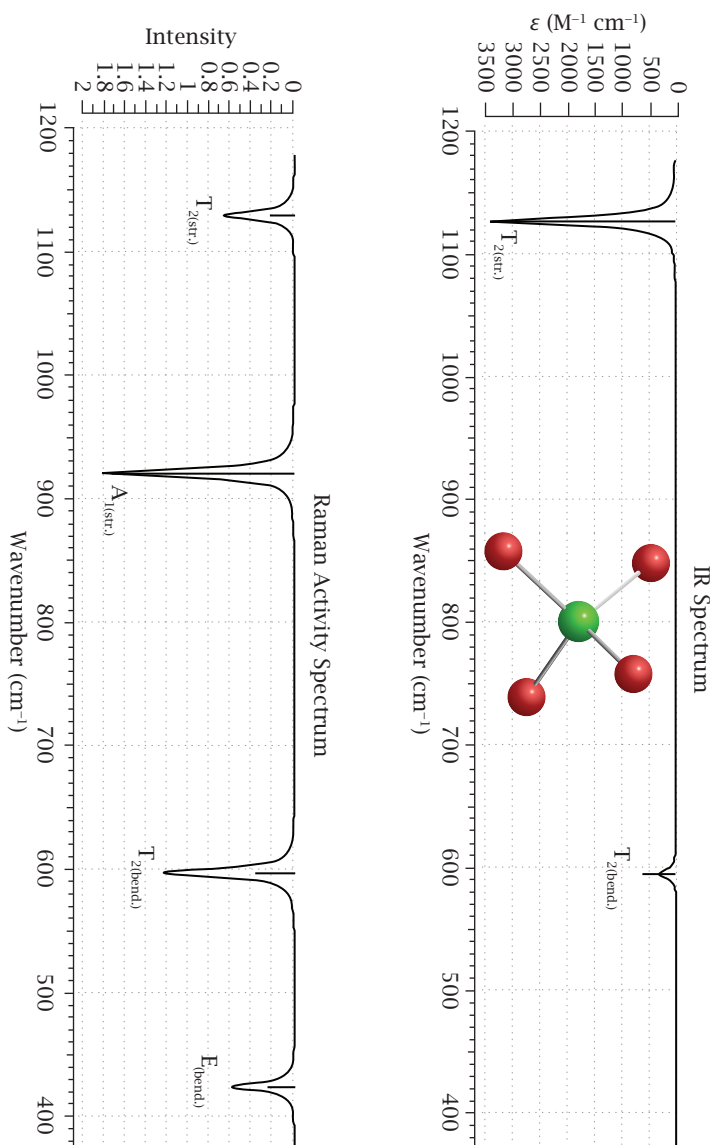
الأطيف الجزيئية

```
# opt freq=raman wb97xd/6-31g(d) geom=connectivity
CCl4
0 1
C      0.00000000      0.00000000      0.00000000
1 2 1.0 3 1.0 4 1.0 5 1.0
2
3
4
5
```

باستخدام واجهة جاوسيان فيو ٦ يمكن بسهولة بناء الجزيئات وتحديد طريقة الحسابات.



شكل ١٧-٣: طيف رaman لجزيء CCl_4 , ويظهر أربع حزم تمثل ٩ حركات اهتزازية (واحدة ذات بُعد واحد A_1 , وواحدة ذات بُعدَيْن E , واثنتين من الاهتزازات كلّ منها ثلاثة الأبعاد T_2).



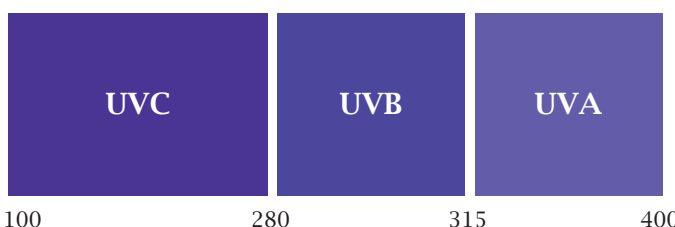
شكل ٣: يُظهر حركات الاهتزاز في طيف الأشعة تحت الحمراء وطيف رaman لأنثيون حمض البيركوريدي.

وقد قمنا أيضًا بإجراء الحسابات على أنيون حمض البيركلوريك، وحصلنا على نتائج مشابهة، لكن الاهتزازات تحدث عند طاقات مرتفعة مقارنةً بمثيلاتها في حالة جزء رابع كلوريد الكربون. ويبيّن شكل ١٧-٣ أنطيفات الأشعة تحت الحمراء ورامان لهاذا الأنيون. ولنلاحظ ظهور حركات التشوّه من النوع T_2 نتيجة التشوّه في الزوايا ولكن بشدة ضعيفة.

طيف امتصاص وانبعاث الضوء المرئي والأشعة فوق البنفسجية

سنعالج الموضوع بصورة عملية تطبيقية. السؤال المطروح في هذا المقام هو كيف نختار مادة حاجبة لضوء الشمس الضارة في المنطقة فوق البنفسجية من الطيف؟
ومعروف أن المنطقة فوق البنفسجية يمتد طولها الموجي من حوالي ١٠٠ نانومتر وحتى حوالي ٤٠٠ نانومتر. وتُقسّم إلى ثلاثة مناطق، أكثرها ضررًا للإنسان هي المنطقة المسمّاة UVC، كما في شكل ١٩-٣.

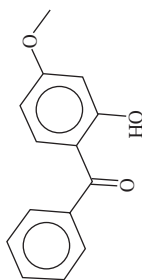
وحاجباتُ ضوء الشمس وامتصاص الضوء في هذه المناطق ذات قيمة تطبيقية كبيرة. وقد تم اختيار عدد من هذه المركبات، والتي يمكننا تسميتها فلاتر أو مرشحات للضوء، وشكل ٢٠-٣ يبيّن بعض هذه المركبات وأنطيف امتصاصها. ويمكن للقارئ التعرّف على أنسب هذه المواد من حيث شدة امتصاصها للضوء ومدى امتصاصها للأطوال الموجية غير المرغوب تعرّض الإنسان لها، وذلك بفحص الأنطيفات المحسوبة والمبيّنة في شكل ٢١-٣.



تقسيم مناطق الأشعة فوق البنفسجية حسب أطوال موجاتها

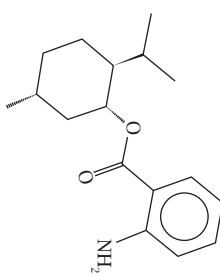
شكل ١٩-٣: تقسيمات منطقة الأشعة فوق البنفسجية غير المرئية.

**المواد الحاجبة لضوء الشمس الفشار
الفلاتر الضوئية - Sunscreens**



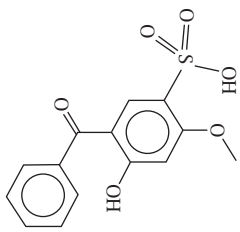
Oxybenzone

1



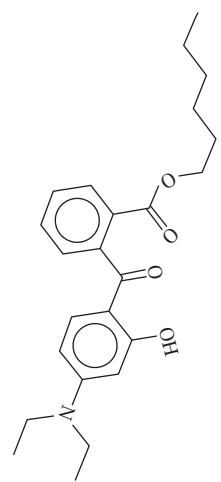
Menthyl Anthranilate

2



Benzophenone-4

3

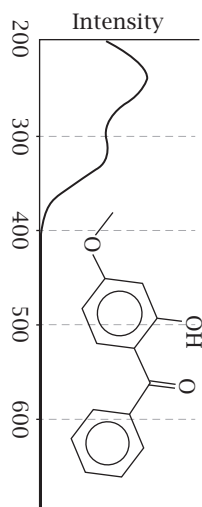


Dimethylamino hydroxybenzoyl
hexa benzoate

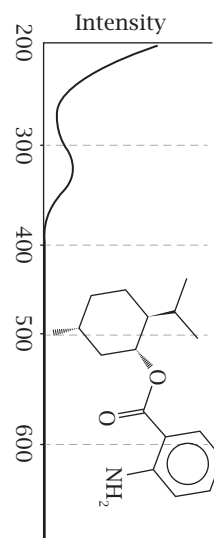
4

شكل ٣-٢: بعض الفلاتر الضوئية، وهي مركبات كيميائية عضوية ذات استقرار ضوئي كبير، ولا يسهل تكسيرها بالضوء المتصور.

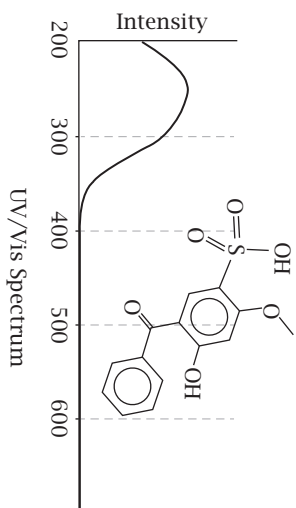
Oxybenzone



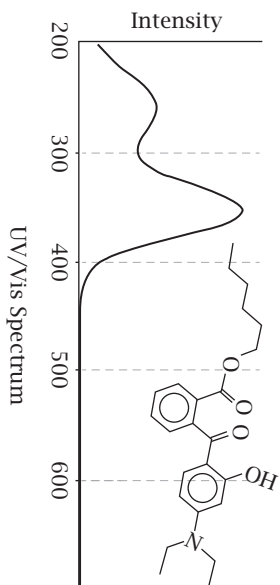
Menthyl Anthranilate



Benzophenone-4



Dimethylamino hydroxybenzoyl hexa benzoyl



شكل ٢١-٣: أصناف المتصاص الضوئي لمحاجبات النحو، التي تمتلك درجات مختلفة في المقدرة فوق البنفسجية. والفاصل يستطع بسهولة التمييز بينها بحسب الاستخدام المطلوب.

(أ) كيف نحسب طيف «الامتصاص»؟

يبدأ الجزيء في امتصاص الضوء وهو في الحالة الأرضية ذات الشكل الهندسي الأكثر استقراراً؛ لذا يستلزم الأمر إجراء عملية التفضيل أو الحصول على الشكل الأنسب، التي تُسمى Optimization، وذلك قبل إجراء عملية حساب الطيف.

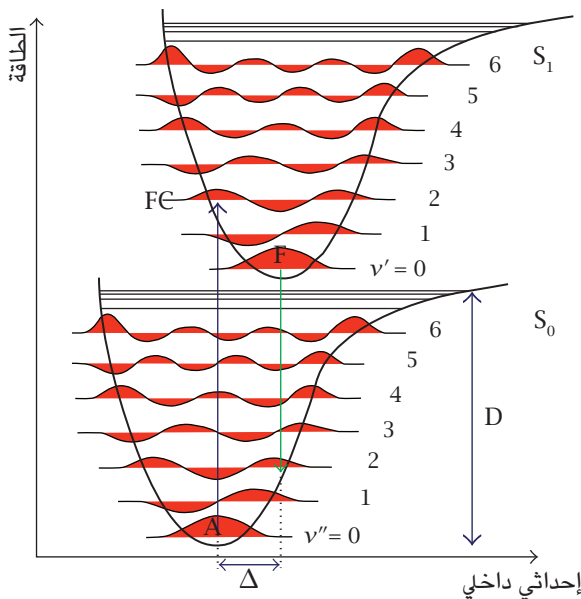
```
! WB97X-D3 DEF2-SVP DEFE/J RICOSX LARGEPRINT
% TDDFT NROOTS 6
      TRIPLETS FALSE
      END
! CPCM(ETHANOL)
* XYZ CHARGE MULTIPLICITY
COORDINATES
*
```

(ب) كيف نحسب طيف «الانبعاث الفلوريسيني»؟

يبدأ الجزيء في عملية انبعاث الضوء الفلوريسيني، وهو في الحالة المثارة ذات الشكل الهندسي الأكثر استقراراً أو الشكل الهندسي الأفضل، كما هو واضح في شكل ٢٢-٣؛ لذا يستلزم الأمر إجراء عملية التفضيل أو الحصول على الشكل الهندسي الأنسب بالعملية التي تُسمى Optimization، وذلك قبل إجراء عملية حساب الطيف الفلوريسيني. وقد تحدث عملية الحساب في آن واحد كما في الملف التالي.

```
! OPT WB97X-D3 DEF2-SVP DEFE/J          # أخر عملية النمذجة
RICOSX LARGEPRINT
استخدام الامتداد الزمني لنظرية الكثافة الداللية # للحالة المثارة
% TDDFT
      iRoot 1 NROOTS 6          # تم اختيار موضع حرزة الامتصاص 1 الأعلى
امتصاصاً للضوء (ذات الشدة العالية) لتمثيل الشكل الهندسي
المثالي في الحالة الأرضية التي يُشار منها إلى الكترون
END
! CPCM(ETHANOL)                      # احسب أثر المذيب (إيثانول)
% Pal Nprocs 10 End
* XYZ CHARGE MULTIPLICITY
COORDINATES
*                                     # الإحداثيات
```

الأطياف الجزيئية



شكل ٢٢-٣: يبيّن انتقالات إلكترونية بين الحالة الأرضية S_0 والحالة المثارة S_1 .

والملاحظ من شكل ٢٢-٣ حدوث الانتقالة الإلكترونية رأسياً بامتصاص الضوء A إلى حالة تُسمى فرانك-كوندن (Frank-Condon State, FC) فلا يتغير شكله الهندسي (أي لا يتغير الإحداثي الهندسي الداخلي)، ثم يفقد طاقة اهتزازية مغرياً شكله الهندسي الممثل في الإحداثي الداخلي ليصل إلى الوضع الأنسب والأقل طاقة. عندئذ يبدأ في الانتقال رأسياً مشعاً الضوء الفلوريسيني الممثل بالسهم ذي اللون الأخضر. وتمثل قيمة Δ مقدار التغيير في الشكل الهندسي بين الحالة الأرضية والحالة المثارة. ونلاحظ أن الارتفاع D يمثل طاقة كسر أو تفتت الرابطة في حالة كان الإحداثي الداخلي هو طول رابطة. ونلاحظ كذلك أن كلاً من منحنيات الطاقة يشتمل على حالات اهتزازية ذات احتمالات حدوث؛ حيث تُعطي احتمالاتها بمربع القيمة الظاهرة (مربع المساحات الحمراء)، التي تزداد قيمتها على الأطراف كلما زاد رقم المستوى الاهتزازي .^٧

يمكن ذكر تطبيقات ظاهرة الفلورة أو الانبعاث الفلوريسيني أو الوميض الضوئي للمراحل المختلفة من التعليم، ويمكن استخدامها أيضًا لمعالجة بعض الموضوعات المداخلة؛ على سبيل المثال، صحة العين وتوفير الطاقة. الهدف هو إظهار كيف يمكن لفلورة أن تساعد الطلاب على التعرف على بعض المفاهيم المتعلقة بشكل أساسى بفيزياء وكيمياء المواد، من خلال تشجيع دراسة الظواهر والأجهزة القريبية منهم، وحتى في بيئتهم اليومية. بالإضافة إلى ذلك، نسعى إلى تحقيق ذلك على مراحل التعليم المختلفة مثل مرحلة ما قبل الثانوى والثانوى والجامعي؛ لأن ظاهرة الفلورة تمكّن الطلاب تدريجيًّا من تعميق معارفهم وفقًا لهذه المراحل التعليمية.

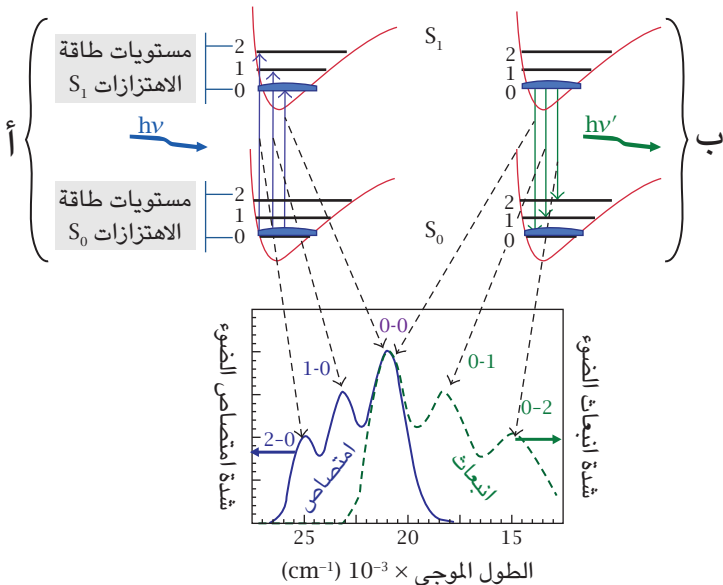
وتظهر الفلورة في كثيرٍ من مواد الحياة اليومية التي تحيط بالطلبة، مثل الصبغات المستخدمة في صناعة بعض أنواع الملابس، وبطاقات الهوية، والأوراق النقدية، والمستندات الرسمية الهامة (منعاً للتزيف)، وغيرها.

(٢) الانتقالات الإلكترونية المدمجة بالحركات الاهتزازية: ديناميكا الحالات المثارة (طيف الامتصاص والانبعاث للجزئيات الكيميائية)

سنُعني هنا بحسابات الطيف الإلكتروني المدمج مع الحركات الاهتزازية (Vibronic Coupling)، وسنوضح هذا المفهوم بالإشارة إلى شكل ٢٣-٣، الذي يعطي مزيدًا من التفاصيل مقارنةً بشكل ٢٢-٣؛ حيث نلاحظ في المنطقة {أ} أن كلاً من منحنيات الطاقة في الحالة الأرضية أو المثارة يشتمل على عدة حالات اهتزازية ذات احتمالات حدوث [حيث تُعطي احتمالاتها بمربع القيمة الظاهرة (مربع المساحات الزرقاء)]، تزداد قيمتها على الأطراف، بينما تقل قيمتها في الوسط كلما زاد رقم.

المستوى الاهتزازي S_7 من ٠ إلى ١، إلى ٢ وهكذا. وعندما يمتص الجزيء الضوء ذو طول الموجة المناسب (أيًّا له الطاقة المساوية أو الأعلى قليلاً من الفرق بين الحالة S_0 والحالة S_1)، فإن الانتقالات الإلكترونية تحدث من مستوى الطاقة الاهتزازي $0 = S_7$ في الحالة S_0 إلى مستويات اهتزازية مختلفة في الحالة S_1 ؛ مما ينتج عنها الطيف المحتوي على عدة حُزم امتصاص، وهي الممثلة بيانيًّا (بالمنحنى ذي اللون الأزرق) في يسار المستطيل الدال على الطيف في شكل ٢٣-٣. هذه الحُزم الثلاث تدل على اندماج الحركات الإلكترونية مع الحركات الاهتزازية. وما يحدث في المنطقة {ب} هو عكس ما شاهدناه من عمليات المنطقة {أ}؛ فما يحدث في المنطقة {ب} هو حالة فقد للطاقة الضوئية أثناء الانتقالات

الأطيف الجزيئية



شكل ٢٣-٣: يبيّن الانتقالات الإلكترونية المدمجة مع الحركات الاهتزازية لامتصاص وابعاث الضوء، والأطيف الناتجة كحُرم. لاحظ التشابه بين حُرم الانتقالات على يمين ويسار الانتقالة ٠→٠ وكأن الجانبين منحني وصورته في المرآة (Mirror Image).

الإلكترو-اهتزازية؛ ليعود الجزيء إلى حالته الأرضية عن طريق إشعاع الضوء (عملية فلورسنس). الانتقالات الإلكترونية حدثت من مستوى الطاقة الاهتزازي $v = 0$ في الحالة المُثارة S_1 إلى مستويات اهتزازية مختلفة في الحالة الأرضية S_0 . فنتج عنها الطيف المحتوي على عدة حُرم اباعاث ضوئي، وهي المثلثة بيانيًّا (بالمنحنى ذي اللون الأخضر) في يمين المستطيل الدال على الطيف. هذه الحُرم الثلاث تدل على اندماج الحركات الإلكترونية مع الحركات الاهتزازية.

أجهزة قياس الطيف الإلكتروني المعملية، والتي تُسمى سبكتروفوتومترات (Spec-trophotometers) في عمومها ليس لديها قوة التفريق اللازمة للحصول على هذه الحُرم، التي حصلنا عليها نظرياً في حالة جزيء البنزين المبين في شكل ٢٤-٣، الذي سنعتبره مثلاً جيداً سنعالجه بشيء من التفصيل لاحقاً. النتائج المعملية لطيف جزيء البنزين

في مذيب الهكسان تُظهر حُزْمَة امتصاص عريضةً واحدة وضعيفة، قِيمَتها عند طولٍ موجي يُقدَّر بحوالي ٢٢٠ نانومترًا (أي 5450 سم^{-1} تقريبًا). هذه الحُزْمَة العريضة والضعيفة نتجلت عن انتقالة إلكترونية غير مسموح بها من وجهة نظر تماثلِ الجزيء، إلا أنها ظهرت نتيجةً اكتسابها قدرًا من السماح باندماج الحركات الاهتزازية بالانتقالات الإلكترونية.

استطعنا حساب طيف الامتصاص والفلورسنس للبنزين في الحالة الغازية باستعمال حُزْمَة برامج أوركا ٢.٤. وحصلنا على الأطيف الموحدة الشدة (Normalized) المبينة في شكل ٢٤-٣.

خطوات الحساب صريحة ومباشرة، ونعرضها كالتالي:

(١) نحسب الشكل الأمثل وقيمة الاهتزازات في الحالة الأرضية كما في حالة طيف الاهتزاز، وملف إدخال البيانات كالتالي:

```
# BENZ-GS
! BP86 DEF2-SVP OPT FREQ
* XYZ 0 1
C          0.000000000000
C          0.357161000000
H
H          0.774917000000    0.636932000000
C          0.357161000000
H          0.509243000000
H          0.774917000000    0.636932000000    0.509243000000
C          0.000000000000    0.661561000000
H          0.000000000000    1.762972000000
H          0.000000000000
*
*
```

الأطيفات الجزيئية

(٢) نحسب الشكل الأمثل وقيم الاهتزازات في الحالة المثارة، وملف إدخال البيانات كال التالي:

```
# BENZ-ES
! BP86 DEF2-SVP OPT FREQ
% TDDFT NROOTS 5
    IROOT 1
END
% PAL NPROCS 25 END
* XYZ 0 1
Coordinates optimized GS geometry
*
```

(٣) نحسب طيف الامتصاص الديناميكي باستخدام الكلمة الدالة على الديناميكا في الحالة المثارة (Excited State Dynamics “ESD”) وملف الإدخال لإجراء المهمة كالتالي:

```
# BENZ(ABS)
! B3LYP DEF2-SVP ESD(ABS) TIGHTSCF GRID4 RIJCOSX CC-PVTZ/C
% TDDFT NROOTS 5
    IROOT 1
END
% ESD GSHESSIAN
    ESHESSIAN
        DOHT          TRUE
END
% PAL NPROCS 25 END
* XYZ 0 1
Coordinate of optimized GS geometry
*
```

ويُخرج البرنامج ملفاً يحتوي على طيف الامتصاص، الذي يمكن تمثيله بيانيًّا كما في شكل ٣-٢٤، باستخدام أي برنامج للرسم البياني مثل أورجن (Origin). وفيما يلي عينة من البيانات الرقمية في ملف الطيف (BENZ-ESD-ABS.Spectrum):

Energy	TotalSpectrum	IntensityFC	IntensityHT
10786 . 134777			
10807 . 078728			
10828 . 022679			
10848 . 966630			

وبنظرية سريعة إلى الأرقام نكتشف أنَّ أي انتقالة لها شدة يكون مصدرُها هو الاندماج بين الحالة الإلكترونية والحركات الاهتزازية، وذلك بلاحظة أن مصدر الشدة الكلية هو شدة (HT = Herzberg-Teller vibronic transition).

(٤) نحسب طيف الفلورسنس الديناميكي، ويكون ملف الإدخال كالسابق مع تغيير وحيد هو ESD(ABS) بدلاً من ESD(FLUOR).

وجب الرجوع إلى وثائق برنامج أوركا ودلائلها؛ للمزيد من التفاصيل لهذه الحسابات الهامة.

نلاحظ من منحنيات أطيفات الامتصاص والفلورسنس في شكل ٣-٢٤ أن الانتقالات ٠-٥ غير منطبقة ببعضها على بعض؛ دليلاً على أن الشكل الهندسي لجزيء البنزين المثار مختلف عن الشكل الهندسي له في الحالة الأرضية.

ومن مخرجات حسابات الديناميكا في الحالة المثارة معامل مهم، وهو معدل انبعاث الضوء كما توضّحه العيّنة الآتية من المُخرّجات:

الأطيف الجزيئية

```
-----  
          ORCA EXCITED STATE DYNAMICS  
-----  
Requested calculation: ...fluorescence  
Coordinate system: ...Deloc. Internal  
                      (BAKER)  
Lineshape function: ...Voigt  
Excited state PES: ...adiabatic hessian  
Ground state hessian: BEN-GS.hess  
Reading ground state hessian: ...done  
Excited state hessian: BEN-ES.hess  
Reading excited state hessian: ...done  
  
As an ES Hessian was given, HessFlag is now AH!  
  
Writing GS hessian to: BEN-ESD-FLUOR.GS.hess  
Writing ES hessian to: BEN-ESD-FLUOR.ES.hess  
  
***Everything is set, now computing the correlation function***  
  
Homogeneous linewidth is:  
Inhomogeneous linewidth is:  
Number of points: 65536  
Maximum time: 1061.77 fs  
Spectral resolution:  
Temperature used: 298.15 K  
Z value:  
Cutoff for the correlation function:  
Adiabatic energy difference:  
0-0 energy difference:  
  
with 0.00% from FC and 100.00% from HT  
The fluorescence spectrum was saved in BEN-ESD-FLUOR.spectrum
```

*****ORCA ESD FINISHED WITHOUT ERROR*****

ويتضح أن معدل الفلورنسن هو $2,707 \times 610$ ثانية في الحالة الغازية للبنزين. ولو أردنا معرفة هذا المعدل كدالة في المذيب، فكل المطلوب هو ضرب هذه القيمة في مربع معامل الانكسار للمذيب.

وباتباع الطريقة السابقة يمكن أيضًا حساب معدلات التفسير (-Phospho-rescence) وطيف الفسفرة إذا كانت الحركة الإلكترونية المغزلية مقترنة بحركة الأوربيتالات (spin-orbit coupling). للحصول على ذلك، يجب تحديد ESD(PHOSP) في المدخلات الرئيسية ويجب ذكر الهاسيان المحسوب سابقًا للحالة الأرضية ground state وحالة ثلاثة التعددية المغزلية (GS) hessian وحالة ثلاثة التعددية المغزلية (TS). والأخيرة تُحسب بنفس الطريقة المذكورة سابقًا بتغيير التعددية الإلكترونية إلى 3 بدلاً من 1. وتحتاج أيضًا إلى إدخال فرق الطاقة بين الحالة الأرضية والحالة الثلاثية (دون أي تصحيح)؛ وذلك بحسابها وإدخال القيمة المُعرفة بالعلامة .DELE. سنأخذ جزيء ألفا-ثنائي أستيل كمثال للمدخلات باستخدام TDDFT:

```
# DIACETYL (PHOSP)
! B3LYP DEF2-TZVP(-F) ESD(PHOSP) TIGHTSCF GRID5 GRIDX5
RIJCOSX RI-SOMF(1X)
CPCM(ETHANOL)

% TDDFT      NROOTS 20
          DOSOC TRUE
          TDA FALSE
          IROOT 1

END

% ESD GSHESSIAN "DIACETYL-GS.hess"
          TSHESSIAN "Diacetyl-GSTRIPLET.hess"
          DOHT TRUE
          DELE 16530.8

END
```

الأطيفات الجزيئية

```
% PAL NPROCS 25 END
* xyz 0 1
C   -0.186236000000   -2.412254000000   -0.052421000000
C   1.316469000000   -2.408367000000   -0.138410000000
O   1.992685000000   -3.378614000000   -0.397529000000
C   2.008481000000   -1.047648000000   0.137597000000
C   3.511240000000   -1.043969000000   0.052512000000
O   1.332300000000   -0.077545000000   0.397348000000
H   -0.609129000000   -1.644534000000   -0.718662000000
H   -0.501995000000   -2.131537000000   0.966372000000
H   -0.572300000000   -3.405882000000   -0.313131000000
H   3.897311000000   -0.050524000000   0.313909000000
H   3.827545000000   -1.324260000000   -0.966227000000
H   3.933628000000   -1.812068000000   0.718641000000
*
```

وجبت الإشارة إلى أننا سنحسب للحالات الثلاثية التعددية عدة مرات. والمثال الحالي يُحسب فقط للحالة الأولى (T_1). وتحدد الحالة بالعلامة IROOT في الطريقة TDDFT، ونُغّيرها إلى 2 أو 3 لحسابات (T_2 و T_3) حسب المطلوب. وكذلك وجبت الإشارة إلى أن الإحداثيات المعطاة هي للشكل الهندسي الأمثل للجزيء في الحالة الأرضية حيث تتم الانتقالية الإلكترونية إليها في حالة التفسفر.

تم حسابات معدلات التفسفر من حالات T_1 و T_2 و T_3 وتُجمع لأخذ المتوسط للتبسيط والسهولة. وتم الحصول على القيم ٧,١٧٥ و ٤٥٦ و ٠,٢٤ و ٣٦٠، ومتوسطها هو القيمة ١٢٢,٦ ثانية^{-١}، وهي قيمة تقترب من المقيسة معملياً، خاصةً لو أخذنا في الاعتبار توزيع إسكان الحالات حسب بولتزمان (Boltzmann population). ويلاحظ أيضاً أن التفسفر نتج من حالات هيرتز برج-تيير للاندماج بين الانتقالية الإلكترونية والاهتزازية، وذلك بنسبة ٥٤٪، ومن حالة فرانك-كوندن بنسبة ٤٦٪.

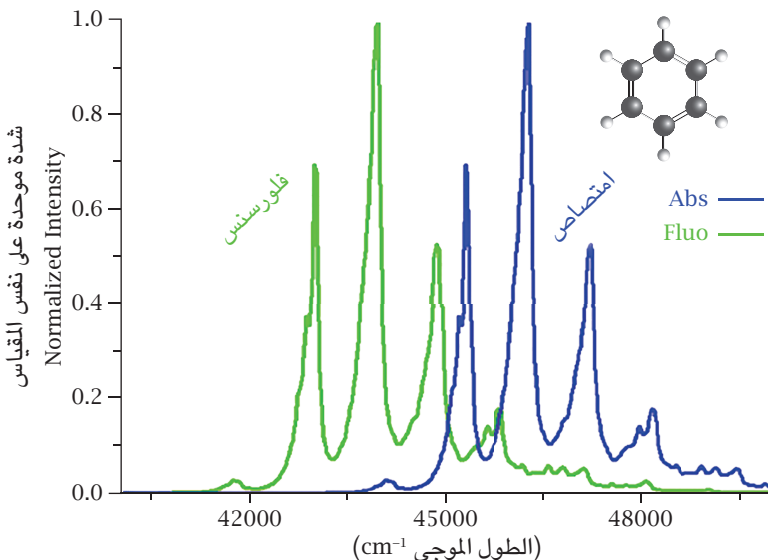
وشكل ٢٥-٣ يُبيّن طيف التفسفر الذي حصلنا عليه نظرياً بهذه الطريقة. طيف التفسفر الثنائي الأستيل يكاد ينطبق شكلاً على المقيس معملياً.

ولحساب معدل الانتقالات الإشعاعية للعبور بين الحالات الإلكترونية المختلفة (Intersystem Crossing (ISC)) نستخدم طريقة مشابهةً يوضحها ملف إدخال البيانات التالي:

روعة حسابات كيمياء الكم وتطبيقاتها

```
# DIACETYL (ISC)
! B3LYP DEF2-TZVP(-F) ESD(ISC) TIGHTSCF GRID5 GRIDX5 RIJCOSX
RI-SOMF(1X)
CPCM(ETHANOL)
% TDDFT NROOTS 5
    SROOT 1
    TROOT 1
    TROOTSSL 0
    DOSOC TRUE
END
% ESD ISCSHESS "Diacetyl-GS.hess"
    ISCFsheSS "Diacetyl-GSTRIPLET.hess"
    USEJ TRUE
    DOHT true
    IFREQFLAG REMOVE
    DELE 4528.5 #S1-T1
END
% PAL NPROCS 35 END
* xyz 0 1
C      -0.187524000000      -2.397704000000      0.024981000000
C      1.321800000000      -2.377703000000      0.107700000000
O      1.962925000000      -3.413124000000      0.352731000000
C      2.003203000000      -1.078508000000      -0.107730000000
C      3.512524000000      -1.058498000000      -0.024987000000
O      1.362070000000      -0.043062000000      -0.352686000000
H      -0.538814000000      -1.399884000000      -0.277072000000
H      -0.613366000000      -2.671970000000      1.004686000000
H      -0.513347000000      -3.157146000000      -0.702400000000
H      3.838334000000      -0.299057000000      0.702401000000
H      3.938381000000      -0.784228000000      -1.004688000000
H      3.863815000000      -2.056317000000      0.277063000000
*
```

الأطيف الجزيئية



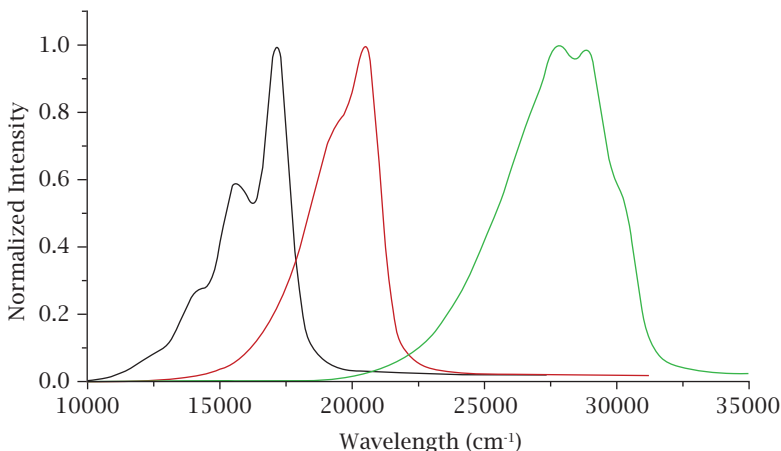
شكل ٢٤-٣: طيف الامتصاص (المنحنى ذو اللون الأزرق) والابتعاث (المنحنى ذو اللون الأخضر) لجزيء البنزين في الحالة الغازية.

أول ملحوظة نود الإشارة إليها هي ما يخص الإحداثيات؛ ففي هذه الحالة قد اعتبرنا إحداثيات الجزيء المثالية في حالة التعددية الثلاثية، وهي الحالة التي سينتقل إليها الإلكترونون (يمكنك مقارنة الإحداثيات في كلا الملفين السابقين). والملحوظة الهامة الثانية هي أن كل حالة ثلاثة تعددية تتضمن مستويات ثلاثة تحتية موضّحة في شكل ٢٦-٣.

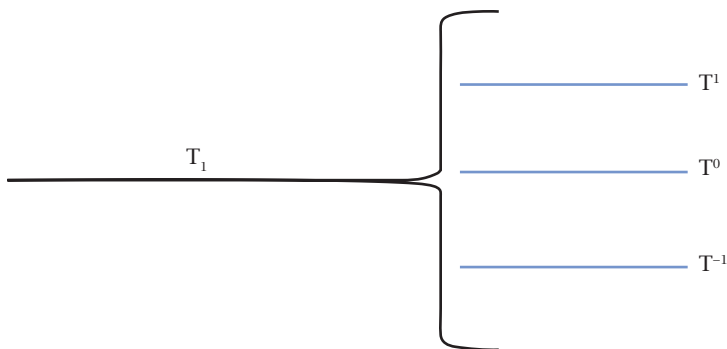
وبالإشارة إلى ملف الإدخال السابق تُحدَّد هذه المستويات التحتية الثلاثة بالعلامة TROOTSSL؛ ومن ثم يتم تكرار الحسابات عدًّا من المرات لكل حالة تعددية ثلاثة. ثم تُجمع كلها لتحديد معدل الانتقال للإشعاعية بين S_1 و T_1 . ويتم تكرار ذلك مع T_2 ومع T_3 وهكذا.

والملحوظة الثالثة هي حساب الفرق بين حالة السينجلت S_1 وحالة التريبلت T_1 ؛ فهذا تُحسب من حسابات طاقة الانتقالات السينجلت والتربيلت عند حساب الاندماج بين الحالات بالعلامة DOSOC TRUE عند حسابات طيف الفلورنسن أو عند حسابات الشكل الهندسي الأمثل في الحالة المثارة السينجلت.

روعه حسابات كيمياء الكم وتطبيقاتها



شكل ٢٥-٣: أطیاف الامتصاص الإلكتروني (باللون الأخضر)، والفلورسنس (باللون الأحمر)، والتفسفر (باللون الأسود) لثنائي الأستيل.



شكل ٢٦-٣: يوضح الحالات الбинية المتضمنة في الحالة الثلاثية التعددية.

ونتائج الحسابات بيَّنت أن حساب معدل الانتقالات الإشعاعية بين الحالات التعددية المختلفة هو:

$$k_{ISC} = 5.37 \times 10^7 \text{ s}^{-1}$$

وهي قيمة تُقارن بصورة جيدة مع المقياس معملياً. ونود الإشارة هنا إلى أن هذه الحسابات المتقدمة تُعنى بكيمياء الحالة المثارة (علم الكيمياء الضوئية)، وهي حسابات تستهلك وقتاً كبيراً وتُعد مرتفعة التكلفة، إلا أن نتائجها مطلوبة بشدة للتعرف على مركبات ومواد فسفورية جديدة ذات قيمة اقتصادية وصديقة للبيئة. وللمواد الفسفورية العديدة من التطبيقات الهامة في مجالات مختلفة مثل الإضاءة بالصمامات الثنائية الباعثة للضوء (OLED)، وفي العديد من المواد الإلكترونية البصرية، وتُستخدم كذلك كمجسات للمواد البيولوجية وفي الكيمياء التحليلية.

الخلاصة

تعرّفنا في هذا الفصل على عددٍ من المفاهيم الأساسية الهامة في الطيف، والآن نستطيع فهم:

(١) دراسة ومعرفة طرق حساب الأطيفات الجزيئية.

(أ) طيف الأشعة تحت الحمراء وإزاحات رامان (طيف الاهتزاز) لبعض المركبات البسيطة؛ حيث أخذنا أمثلةً تبيّن التغيير في طاقة اهتزازة الشد في الرابطة بين الكربون والأكسجين في مجموعة الكربونيل في بعض المركبات البسيطة؛ فمع زيادة قوة الرابطة ومدى سُمْكها (رتبة الرابطة) تزداد الطاقة اللازمة للشد في الرابطة. ويمكن ملاحظة العلاقة العكسية بين شحنات ذرات الرابطة ورتبتها بطريقة عددية (كمية) أيضاً، وليس مجرد طريقة وصفية.

(ب) تعلّمنا كيفية التنبؤ بعدد ونوع تماثل جزيء الماء باستخدام مبادئ نظرية المجموعات.

(ج) حساب طيف الاهتزاز لبعض الأحماس الأكسجينية للكلور، وبعض الجزيئات الأخرى ذات التماثل المختلف، وكيفية تحديد جنس تماثل الاهتزازات المختلفة وطاقاتها.

(د) طيف الإثارة الإلكترونية بامتصاص الضوء أي طيف الامتصاص الإلكتروني؛ حيث درسنا كيف نختار حاجبات الضوء كمثال تطبيقي. بعبارة أخرى، استطعنا أن نتنبأ ونختار أحسن حاجب للضوء الشمسي الضار.

(هـ) عملية حساب ابتعاث الضوء المرئي والأشعة فوق البنفسجية، وتعلّمنا ملفاً عاماً لحساب الفلورسن؛ حيث يُشرط الحصول على الشكل الهندسي الأمثل في الحالة المثارة، التي سيتبعها الضوء.

(و) حساب الأطيف الإلكتروني المدمجة بالحركات الاهتزازية باستخدام ديناميكية الحالات المثارة. فأوضحنا كيف نحصل على طيف الامتصاص والانبعاث الفلوريسيني والتفسير ومعدلات هذه الانتقالات، وكذلك حساب معدلات الانتقالات الإشعاعية بين الحالات الإلكترونية المختلفة (معدل العبور من الحالة الأحادية التعدد إلى الحالة الثلاثية التعدد). وهذه النتائج قيمة جدًا في مجال كيمياء الحالة المثارة (الكيمياء الضوئية).

(٢) تعتمد الدراسة على الإمام بمبادئ علم التماثل في الكيمياء ومصطلحاته.

الفصل الرابع

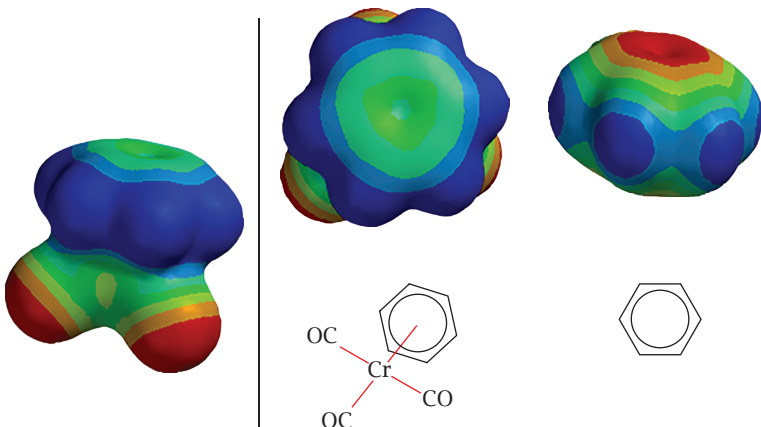
المواد الفلزعضوية والمتراكبات

سندرس في هذا الفصل حسابات الكم لبعض المواد الفلزعضوية، خاصةً ما يُعرف باسم مُتراكبات السندوتش، بهدف التعرُّف على تركيبها والتوزيع الإلكتروني فيها وكيفية ترابطها. وسنُتعرَّف كذلك على بعض المتراكبات غير العضوية، وأثر الذرَّات والمجموعات الطرفية فيها على انقسام أوربيتالات الفلز الانتقالِي، في ضوء نظرية المجال الليجاندي Ligand Field Theory مرتكبات الاحتواء ذات الأهمية في مجالاتٍ تطبيقية، منها زيادة ذوبانية المتراكبات التي تُستخدم في الصيدلة.

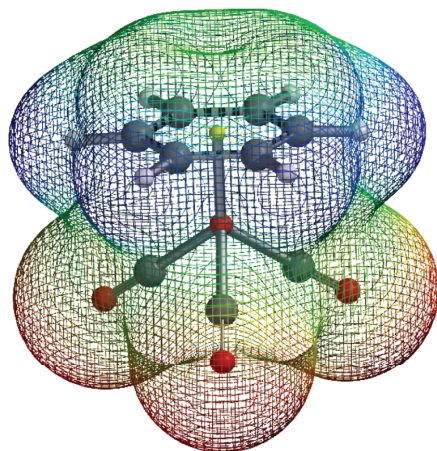
(١) المواد الفلزعضوية

اكتشف العالم الألماني أوتو فيشر عام ١٩٥١ متراكب الحديد مع السيكلوبنتادايين الذي سُميّ الفيروسين Ferrocene. حيث تقع ذرة الحديد بين مجموعتين من السيكلوبنتادايين؛ مما جعل العلماء يُطلقون على هذه النوعية من المتراكبات الفلزعضوية اسم «متراكبات السندوتش» sandwich complexes. يصعب تخيل نوع الرابطة بين الفلز والمركب العضوي (الليجاند)؛ لذا سنقوم هنا بعرض صور مرئية لنتائج الحسابات لأسطح الفيروسين والروثاسين ومتراكب البنزو ثلاثي كربونيل الكروم، لنُتعرَّف على طبيعة الروابط وأوربيتالاتها والتوزيع الإلكتروني فيها.

سنأخذ أولاً متراكب بنزو ثلاثي كربونيل الكروم، وهو من المركبات الفلزعضوية، مثلاً لنبدأ به. ولمعرفة أثر وجود الثلاثي كربونيل كروم على سُجْب أو إعطاء إلكترونات للبنزين، قمنا بإجراء الحسابات وحصلنا على خريطة الجهد الإلكترونيستاتيكي كما في شكل ٤-١. وبفحص الصورة ومقارنتها بالبنزين غير المرتبط، نرى بوضوح أن مجموعات

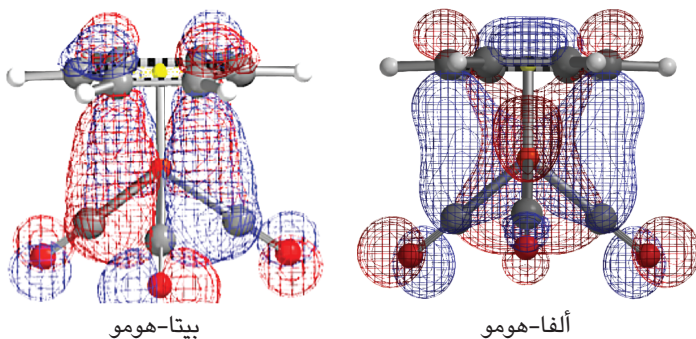


شكل ١-٤: خريطة الجهد الإلكتروستاتيكي لمتراكب كربونيل الكروم مع البنزين.



شكل ٢-٤

الكربون تظهر باللون الأحمر؛ دليلاً على سحب الإلكترونات من البنزين، الذي أصبح أكثر زرقة. أي أن الصورة تكفي لمعرفة مَن المُعطي ومن الساحِب للإلكترونات في هذا المتراكب. يوضح شكل ١-٤ أن البنزين قد فقد قدرًا من إلكتروناته التي سحبتها مجموعات الكربونيل في المتراكب (لاحظ تغيير اللون الأحمر في جزء البنزين إلى اللون الأخضر، وهو



شكل ٤-٣: أوربيتالات الرابط بين الكروم وجزيء البنزين ومجموعات الكربونيل.

في ترابط مع كربونيل الكروم دليلاً على فقر إلكتروني). ويدل اللون الأحمر في مجموعات الكربونيل على قدرتها على سحب الإلكترونات لتصبح غنية إلكترونياً.
وشكل ٤-٤ يُظهر كل تفاصيل الجزيء.

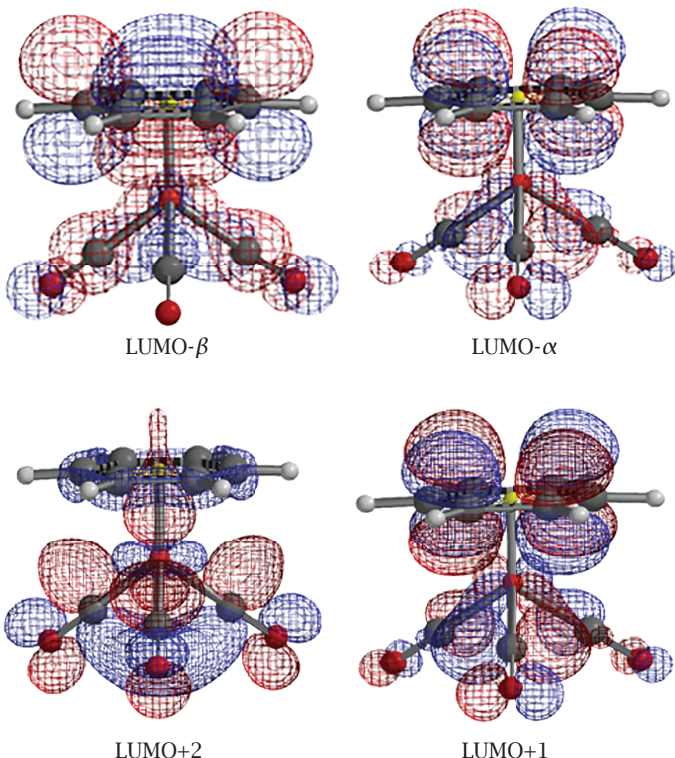
ولمعرفة كيف تكونت الرابطة بين الكروم وجزيء البنزين، قمنا بحسابات للحصول على شكل الأوربيتالات الرابطة ومثناها في شكل ٤-٤.
أما أوربيتالات اللومو فقد مثناها في شكل ٤-٤.

وسندرس الآن مركب الفيروسين، وهو يتكون من جزيئين من حلقة السيكلوبنتاديين، بينهما ذرة من فلز الحديد. وشكل ٤-٥ يبيّن تركيب هذا الجزيء المشوق وخريطة جدهد الإلكتروستاتيكي من منظور رأسي وآخر جانبي.

أما أوربيتالات الترابط فقد وضّخناها في شكل ٤-٦. وفيها نلاحظ الترابط بين الحلقتين وذرة الحديد عن طريق هذه الأوربيتالات الممتدّة على كل الجزيء.

أما الحالة الثالثة فهي مركب الروثاسين، وهو يُشبه الفيروسين إلا أن الفلز المستخدم هو عنصر الروثينيم الموجود أسفل الحديد في نفس مجموعة في الجدول الدوري للعناصر، ويتميز عن الفيروسين بطول المسافة بين الليجاندات العضوية، كما أن شكله الهندسي المثالي يُظهر تطابق مجموعتي السيكلوبنتاديين إداهما فوق الأخرى (وضع خسوف مجموعة بمجموعة أخرى).

وللمقارنة من حيث الشكل (انظر شكل ٤-١٠) فقد جمعنا المركبات الثلاثة السابقة في شكل واحد لتَّضح صورتها الهندسية، ومن ثمّ نوع تماثلها.

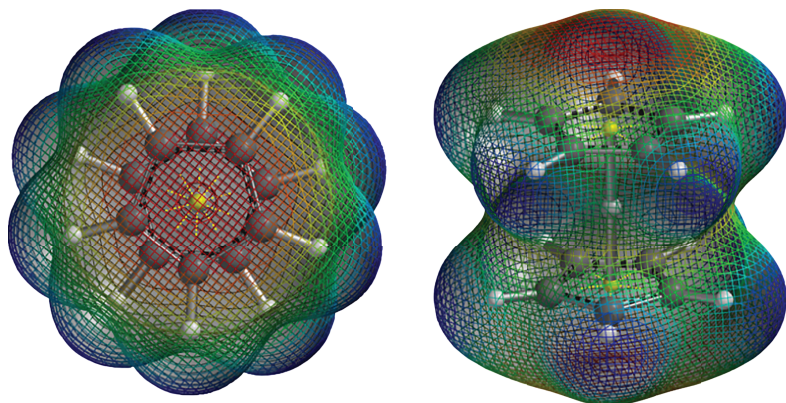


شكل ٤-٤: أوربيتالات اللومو غير الرابط بين الكروم وجزيء البنزين ومجموعات الكربونيل.

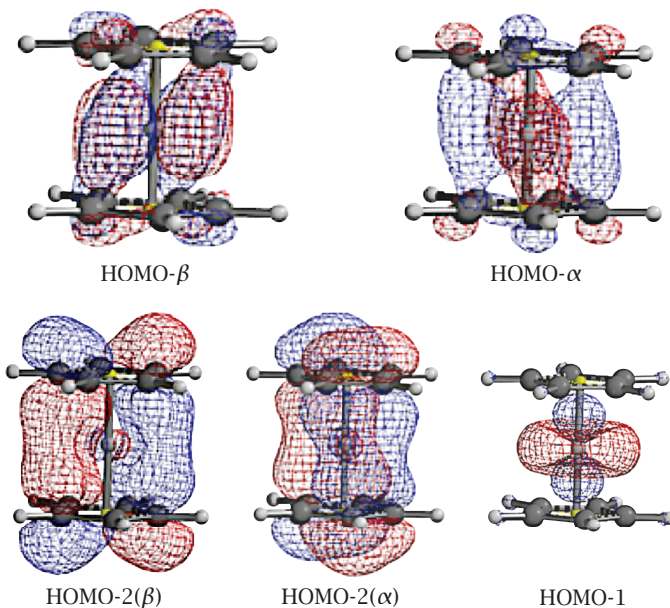
يوضح شكل ٤-٤ الانقسام في أوربيتالات d على ذرات الفلزات الثلاثة بأثر المجال الليجاندي. هذا الانقسام سيكون بحسب التماثل الذي يمكن تلخيصه بمجرد النظر إلى جداول الصفات للمجموعات المذكورة في شكل ٤-٤.

(٢) المتراكبات ونظرية المجال الليجاندي (LFT)

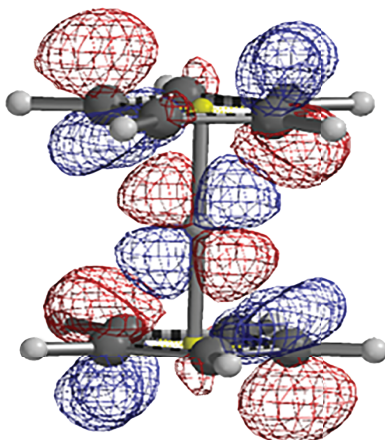
من المعروف أن فلزات العناصر الانتقالية (الواقعة بين مجمع عناصر s ومجمع عناصر p، وتسمى عناصر انتقالية لموقعها هذا) تستطيع تكوين متراكبات مع العديد من الجزيئات الكيميائية، التي تسمى ليجاند. وتكون الرابطة بين الليجاند وبين أوربيتالات d أو أوربيتالات f (في حالة اللانثانيدات والأكتينيدات) من النوع التناصقي؛ حيث تستطيع



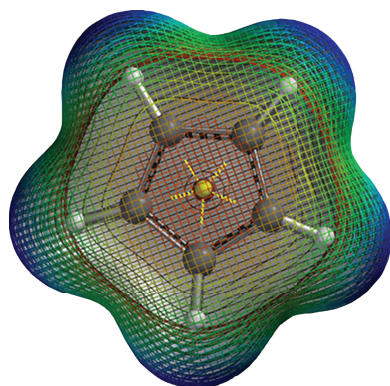
شكل ٤-٥: تركيب الفيروسين، ويُتَّضح أنَّ الحلقتين العضويتين في وضع «ستجرد» بالنسبة إلى علاقته إحداهما بالآخر. ويدل لونهما الأحمر على أنَّ الحلقتين تحملان شحنات إلكترونية.



شكل ٤-٦: عدد من الأوربيتالات الرابطة، والتي تشمل معظم أجزاء الفيروسين.



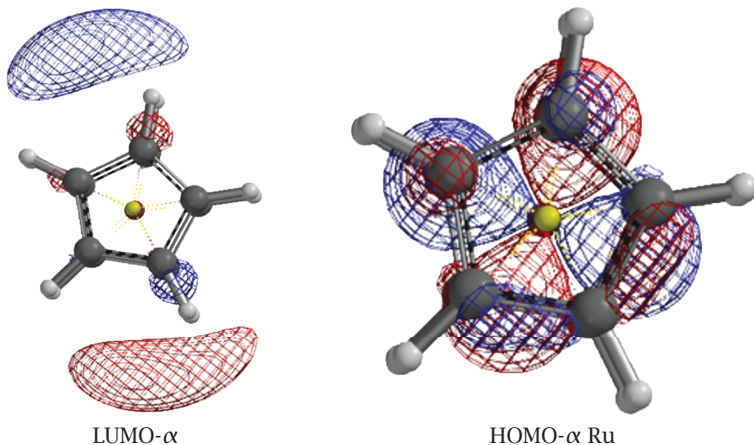
شكل ٤-٧: واحد من الأوربيتالات عكس الرابطة، وهو أوربيتال ∞ .LUMO.



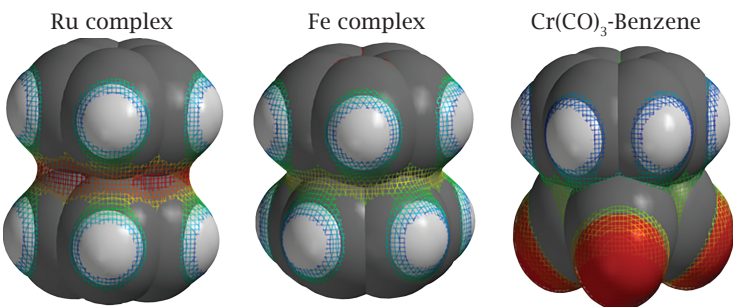
شكل ٤-٨: تركيب الروثاسين، ويتبين أن الحلقتين العضويتين في وضع خسوفٍ كليٍّ بالنسبة إلى علاقة إداههما بالأخرى. ويدل لونهما الأحمر على أن الحلقتين تحملان شحنات إلكترونية.

الليجاند إعطاء زوجٍ من الإلكترونات (عدد ٢ إلكترون) إلى الأوربيتالات الخاوية على الذرة أو الأيون الانتقالي.

المواد الفلزعضوية والمتراكبات



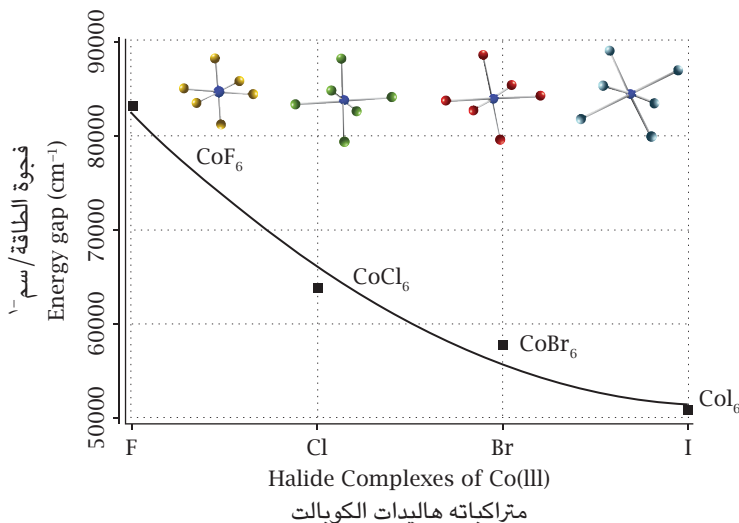
شكل ٤-٩: أوربيتال واحد من الأوربيتالات الرابطة وعكس الرابطة.



D_{5h}	d	أوربيتالات d	D_{5d}	d	أوربيتالات d	C_{3v}	d	أوربيتالات d
A'_{1g}	Z^2		A_{1g}	Z^2		A_1	Z^2	
E'_{2g}	(x^2-y^2, xy)		E_{1g}	(xz, yz)		E	(x^2-y^2, xy)	(xz, yz)
E''_{1g}	(xz, yz)		E_{2g}	(x^2-y^2, xy)				

شكل ٤-١٠: الصورة الهندسية لمجسمات المتراكبات الثلاثة وتماثل أوربيتالات d على كل فلز فيها.

وجود عدد من الليجاندات بالقرب من العنصر الانتقالى يؤدى إلى انقسامات في أوربيتالات الفلز الانتقالى نتيجةً مجال إلكتروستاتيكي يُسمى المجال الليجاندى. ويمكن بسهولة معرفة هذه الانقسامات الأوربيتالية وتماثلها طبقاً لتماثل شكل المترابك، وذلك بالنظر إلى جداول السمات، ومصدرها هو نظرية المجموعات. وسنوضح لاحقاً مثلاً لهذه الانقسامات في حالة مترابك ثماني الأوجه.



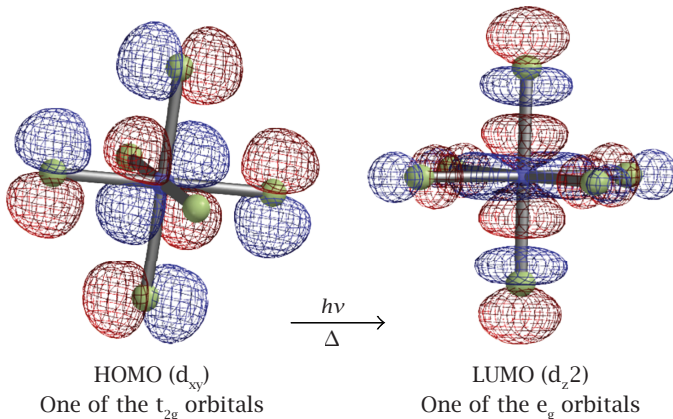
شكل ١١-٤: تغيرُ مقدار فجوة الطاقة بتغيير الهاليد؛ حيث تتضح قوة الليجاند في حدوث الانقسام بين أوربيتالات الفلز الانتقالى، التي تسبّب امتصاص الضوء نتيجةً للانتقال $t_{2g} \rightarrow e_g$.

تكون هذه المترابكات في حالاتها ذات ألوان ضعيفة مرتئية؛ نظراً لانتقال الإلكترونات بين الفجوة الموجودة بين أوربيتالات d ناتجةً المجال الليجاندى. هذه الانتقالات الإلكترونية مصدرها الأساسي هو $(d \rightarrow d)$ ، وهي انتقالة محظورة نظرياً، وتكتسب بعض السماحية عملياً نتيجةً تشوّه في شكل الجزيء في صورته الواقعية. وأشهر الأمثلة المتداولة هو اللون البنفسجي الفاتح لمترابك $[Ti(H_2O)_6]^{3+}$ الذي يمتص الضوء في المدى الأصفر-الأخضر،

وتظهر له حُرْمَةٌ امتصاصٌ ضعيفةٌ قُبْتَها عند طول موجي يُقْارِبُ ٥٠٠ نانومتر. مصدر الانتقال هو من أوربيتالات $t_{2g} \rightarrow eg$.

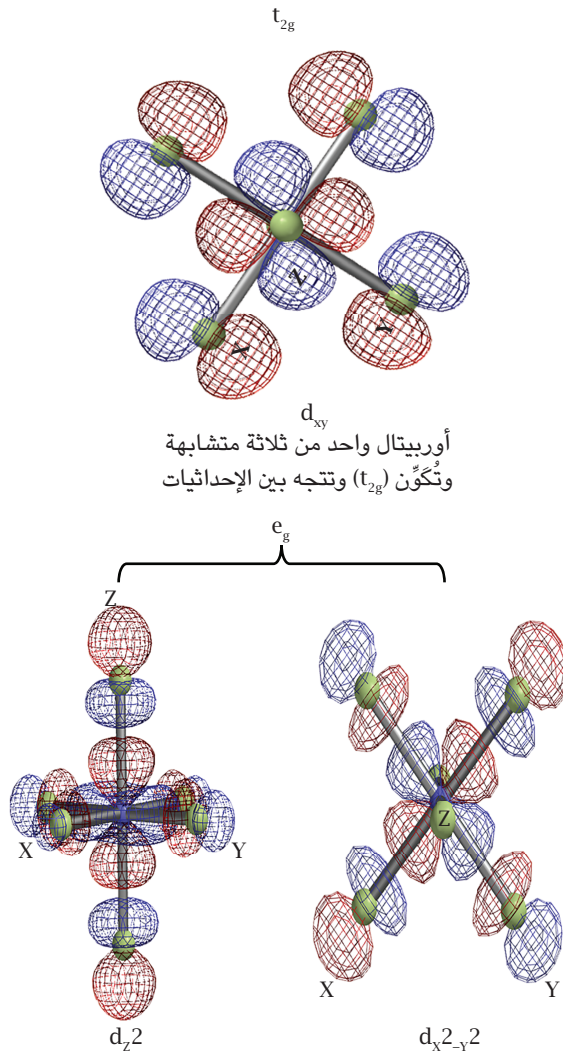
فالفلوريد يُسَبِّبُ أقوى انقسام، بينما يُسَبِّبُ الأيديد أقلَّ فجوةً في الطاقة. وشكل ١٢-٤ يبيّن أشكالاً مجسَّمةً لأوربيتالات d الخمسة على أيون الكوبالت، المنقسمة بفعل وجود ٦ ليجاندات من أيون الهاليد (مثل الفلورين) إلى فئتين:

- فئة eg المكوَّنة من أوربيتالَيْنِ، وهي الأعلى في الطاقة.
- وفئة t_{2g} المكوَّنة من ثلاثة أوربيتالات، وهي الأقل في الطاقة (وجب ملاحظة امتزاج هذه الأوربيتالات بأوربيتالات الليجاند الطرفية).



شكل ١٢-٤: يعطي صورة مجسَّمةً للأوربيتالات المشتركة في الانتقال الإلكتروني بين أوربيتالات المواجهة («الهومو» في اليسار، إلى «اللومو» في اليمين) بتأثير امتصاص ضوء يتَناسب مع الفجوة بينهما.^٨

التماثل لن يكون ثُمَانِيَّ الأوجه مُنتظَماً؛ نظرًا لوجوب التشُوهُ الحادث في الجزيئات اللاخطية، وبالأخْصُ الحالات المتساوية الطاقة لينخفض التماثل حول الذرة المركزية كما يُفْسِرُه مؤثر يان-تييلر. وفي حالة المتراكبات حيث تكون الليجاند جزيئات ماء أو أمونيا (أو غيرهما من المعقَّدات الأخرى غير المستوية)، فإن وجود ذرات الهيدروجين سيُقْللُ من التماثل الكلي للجزيء.



شكل ٤-١٣: يمثل الأوربيتالات المنقسمة بفعل المجال الليجاندي.

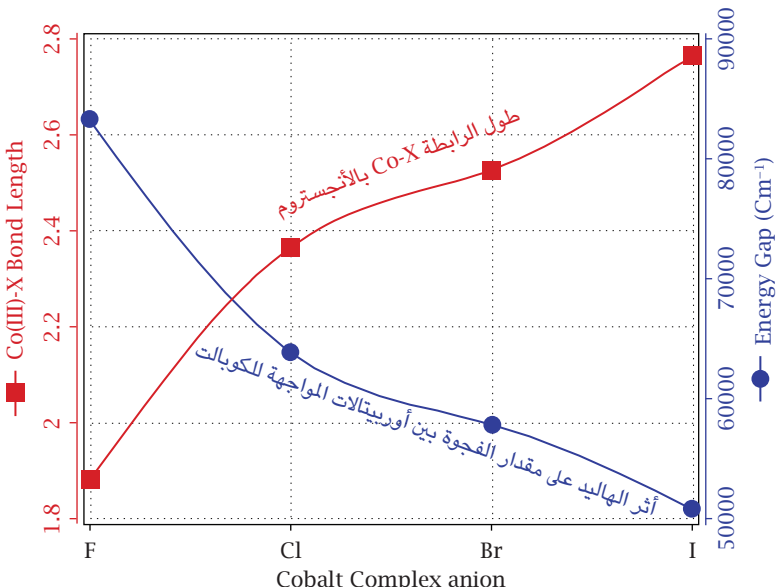
وشكل ٤-٤ يبيّن العلاقة العكسية بين طول الرابطة ومقدار فجوة الطاقة؛ فالمحنى «الأزرق» يبيّن زيادةً مقدار الفجوة المقترنة بوحدات العدد الموجي (سم^{-1}) كلما صغر طول الرابطة. ونذكر أن الفجوة هي مقدار الانقسام بين طاقة أعلى أوربيتال به إلكترونات HOMO وبين طاقة أقل أوربيتال فارغ LUMO. وبملاحظة شكل ٤-٤ نجد أن سعة الفجوة بالترتيب: $\text{F} > \text{Cl} > \text{Br} > \text{I}$

ففي حالة الفلوريد تكون الفجوة كبيرة، وتقلُّ في حالة الكلوريد، وتقلُّ أكثر في حالة البروميد، حتى تصل إلى أقل فجوة في حالة الأيديد. ولنعمق من فهمنا، نرى أنَّ لغة الأرقام والأعداد هي لغة كمية وليس وصفية؛ لذا فجدول ٤-٤ يبيّن هذه العلاقات المبيّنة في شكل ٤-٤ رقمياً.

جدول ٤-٤: العلاقات المبيّنة في شكل ٤-٤ رقمياً.
تغير خواص المترافق تبعاً لقوّة الليجاند (الهاليد) لـ تراكبات الهايلد مع الكوبالت الثلاثي.

Co-X	Relative Energy (kJ/mol)	E_{HOMO} (eV)	E_{LUMO} (eV)	Co-X Bond Length	LUMO-HOMO (eV)	$\sim \Delta(\text{Cm}^{-1})$
F	-1392429	-7.01	3.31	1.88	10.32	83251.44
Cl	-7069710	-8.47	-0.55	2.366	7.92	63890.64
Br	-4000000	-8.02	-0.85	2.528	7.17	57840.39
I	0	-7.38	-1.08	2.766	6.3	50822.10

وفي العادة تكون فجوة الطاقة بين HOMO و LUMO ليست هي نفسها الفجوة بين أوربيتالات d الخامسة؛ أي أنها ليست الفجوة $d - d$. هذا يستلزم أن تقتصر الحسابات على أوربيتالات الفلز وبعض أوربيتالات الذرة المركزية على الليجاند، وذلك يتم بطريقية حسابية ملائمة، اسمها المختصر: (CASSCF)؛ أي الفراغ النشط تماماً للمجال المنسق ذاتياً. فهي طريقة تمكّنا من اختيار الأوربيتالات المطلوب دراستها، وهي نفسها المعنية بالدراسة. والمثال التالي سيوضّح ذلك في حالة متراكب النيكل مع الماء $[\text{Ni}(\text{H}_2\text{O})_6]^{2+}$.



شكل ٤-٤: مخطط يبيّن العلاقة العكسية بين طول الرابطة بين أيون الكوبالت المركزي وأيون الهالوجين الطرفي (المنحنى الأحمر)، وبين قوة الليجاند (ويمثلها مقدار فجوة الطاقة)؛ حيث يزداد طول الرابطة بالترتيب من اليسار إلى اليمين: $I < Br < Cl < F$.

طريقة الفراغ النشط تماماً للمجال المتسق ذاتياً Complete Active Space Self-Consistent Field (CASSCF)

هي طريقة متقدمة تجدها في حزم برامج أوركا وجاوسيان وغيرهما من حزم البرامج المستخدمة في الكيمياء الحاسوبية، وهي من أدق الطرق الملائمة لدراسة مُترابكات العناصر الانتقالية؛ فهي تمكّنا من اختيار الأوربيتالات المطلوب دراستها، وتمكّنا من تحديد مصادر الانتقالات الإلكترونية بين هذه الأوربيتالات ومعرفة خواصها لمقارنتها بالمقاييس معملياً.

المثال الآتي سيوضح كيفية استخدام هذه الطريقة.
وملف إدخال البيانات لبرنامج أوركا سيكون كالتالي:

المواد الفلزعضوية والمتراكبات

```

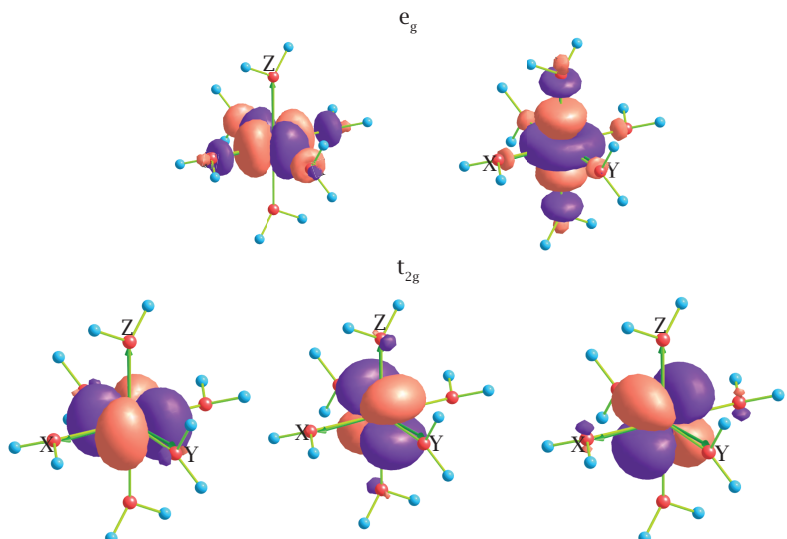
! def2-SVP def2-SVP/C UNO Grid4 NoFinalGrid NORMALPRINT
NoFrozenCore
% casscf
nel 8
norb 5
mult 3,1
nroots 10,15
actorbs dOrbs
trafostep ri
nevpt2 true
maxiter 100
end
% output
print[p_basis]2
print[p_mos]1
end
% pal Nprocs 10 end
* xyz 2 3
Ni      0.000000000   0.000000000   0.000000000
O       0.167527746   2.075000421  -0.028917746
O      -2.080819174   0.006205030  -0.068407455
O     -0.092017432   -0.182219621  -2.071993729
O      0.091708228   0.182291237   2.072015185
O     2.080807548   -0.006079552   0.068431457
O    -0.167583458   -2.074991725   0.029063168
H      0.057509542   2.563391230   0.809504888
H     -0.132867981   2.661355759  -0.748357928
H      0.607991162   0.079551857  -2.698982216
H     -0.949528029   -0.035783847  -2.515628657
H     -2.659014055   0.737240598   0.219520104
H     -2.555930731   -0.828085532   0.109931321
H      0.949046333   0.035913949   2.515993800
H     -0.608529217   -0.079773855   2.698621547
H      2.555858866   0.828252504  -0.109868226
H     2.658966087   -0.737052189  -0.219721925
H      0.133019801   -2.661272567   0.748482936
H     -0.057652283   -2.563423111  -0.809357079
*

```

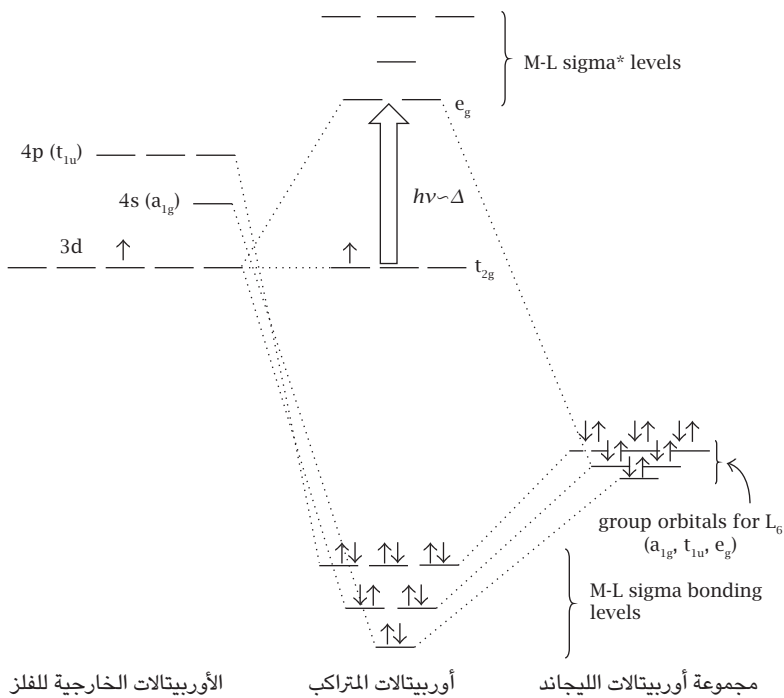
عدد 5 إلكترونات #
عدد 5 أوربيتال #
ال个多دية أو الحالات الإلكترونية هي تريلت وسنجلت #
الأوربيتالات المعنية هي من النوع d #
أسلوب تسريع الحسابات #
استخدام حسابات الارتباط الديناميكي للإلكترون #
عدد مرات التكرار المسموح للبرنامج بعملها #
للحصول على المطلوب

(٣) متراكبات انتقال الطاقة Energy Transfer Complexes

من المعروف أن أملاح اللانثانيدات يصعب عليها امتصاص الطاقة الضوئية؛ فأيون اللانثانيد مثل التيربيوم لا يمتلك الضوء بطبعته، لأنّه لا يتسع المجال هنا لشرحها. لكن لحسن الحظ يمكن لأشعة الليزر ذات الشدة العالية أن تُجبر التيربيوم على امتصاص الطول الموجي المناسب. ومن الظواهر المدهشة ملاحظة أن بعض متراكبات اللانثانيدات تُظهر وميضاً ضوئياً مميزاً بعدة حزم انبعاث ضوئي محددة المكان (الطول الموجي) في نهاية المنطقة المرئية وتحت الحمراء، إذا ما امتصت هذه المتراكبات الضوء في المنطقة فوق البنفسجية أو حتى المرئية والقريبة من فوق البنفسجية. يُعزى ذلك إلى ما يُسمى انتقال الطاقة. فكيف يتم انتقال الطاقة؟



شكل ٤-١٥: يُبيّن أوربيتالات فلزّ النikel (كمثال لأوربيتالات أيّ عنصر انتقال آخر) الناتجة من حسابات «كاس سكف» على مُتراكب النikel الثنائي. ويُلاحظ مساهمة من أوربيتالات الليجاند في روابط سيجما لأوربيتالات e_g المتمركزة على المحوريين «س» و«ص»؛ حيث إنه لا يوجد احتمالات تكون روابط باي مع الأوربيتالات المتمركزة بين المحاور مثل: (d_{xy} , d_{xz} , d_{yz}).



شكل ١٦-٤: مخطط مستويات الطاقة الجزيئية لمُتراكب التيتانيوم مع عدد ٦ ليجاندات. وعلى الدارس المُهتم أن يرجع إلى أحد مراجع تطبيقات نظرية المجموعات في الكيمياء لمعرفة لماذا نسمي الأوربيتالات باستخدام جنس تماثلها طبقاً لشكلها الهندسي (مجموعتها)، وكيف صنّفنا مجموعة الأوربيتالات لكل الليجاندات مجتمعة إلى: a_{1g} , t_{1u} , e_g .

خذ على سبيل المثال شكل مُتراكب التيربيوم مع مركب الكراون إيثر في شكل ١٧-٤. بالفحص نكتشف أن الكراون إيثر يحتوي على كروموفور (جزء أو مجموعة قادرة على امتصاص الضوء). عمل هذا الكروموفور يُشبِّه عمل الهوائي في الراديو والتليفزيون. فهذا الهوائي يتمتص الضوء في المنطقة فوق البنفسجية من الطيف، ثم ينقل الهوائي طاقة الضوء إلى المستويات المناسبة في أيون التيربيوم، وهي مستويات عالية الطاقة ولا يمكن ملؤها بامتصاص الضوء المباشر، بل بانتقال الطاقة لها من قبل الهوائي (الكروموفور).

عندئِن يبدأ أيون التيربيوم المثار في الاسترخاء إلى الحالة الأرضية بالخلص من هذه الطاقة الزائدة، فيقوم بعملية انبعاث الضوء ليفرغ الحالة المُثارة. ويمكن حساب طاقة الترابط بين الكراون إيش وبين أيون التيربيوم باستخدام المعادلة البسيطة:

$$BE = E_{\text{Complex}} - (E_{\text{Tb ion}} + E_{\text{CE}})$$

حيث القيم التي نحصل عليها للطاقات هي:

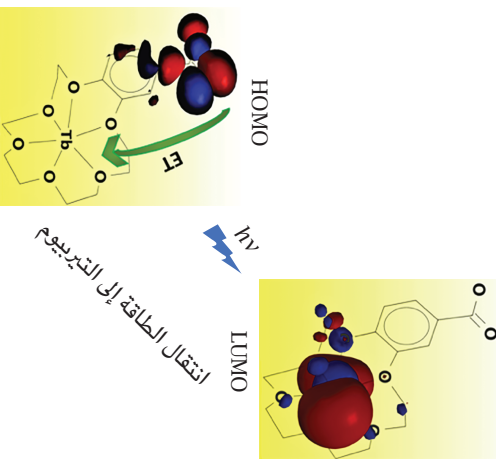
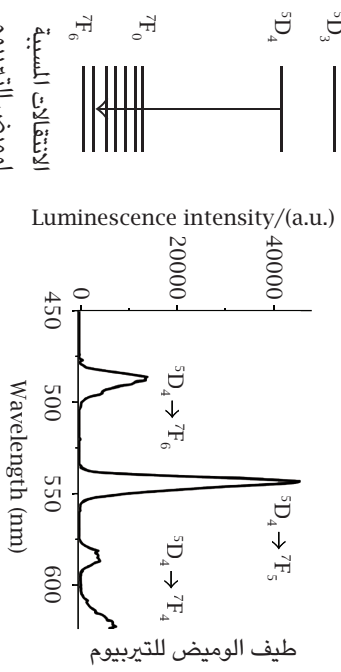
$$E_{\text{Complex}} = -2076.35, E_{\text{Tb}} = -820.69 \text{ and } E_{\text{CE}} = -1255.61 / \text{Hartree}$$

ومنها نحصل على طاقة الترابط ومقدارها بالكيلوجول لكل مول هو ١٥٣,٣٦، وهو مقدار يدلُّ على مُتراكب مستقر نظرًا لانطلاق طاقة عند تكوينه.

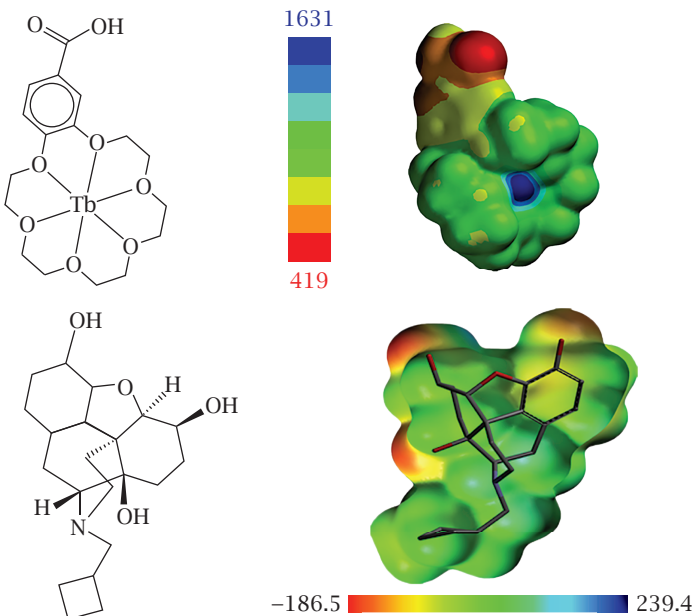
$$BE = -153.36 \text{ kJ/mol}$$

ويُمكننا استخدام هذه الظاهرة في التعرُّف على بعض الأدوية، خاصةً بمقادير مُتناهية في الصغر تصل إلى النانو جرام (جزء من ألف مليون جزء من الجرام). بعض الأدوية لديها القدرة على تثبيط الانبعاث الضوئي بصورة كمية؛ فدواء النالبوفين nalbuphine مثلًا يُعد من المُخرّات التي تظهر في دم المتعاطي بكميات صغيرة يصعب الكشف عنها.

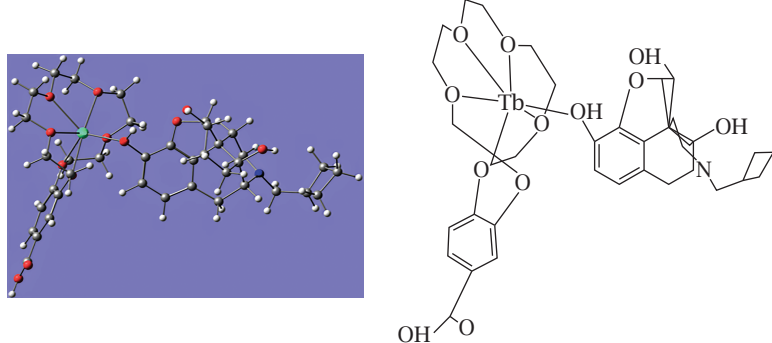
وتساعدنا كيمياء الحاسوب في التعرُّف على خريطة التوزيع الإلكتروني لمعرفة ميكانيكية التفاعل بين متراكب التيربيوم مع الكراون إيش، ومع النالبوفين كما في شكل ٤-١٨. حيث يمكن معرفة أحسن أماكن التفاعل، التي ينتج عنها تثبيط في شدَّة طيف الانبعاث الضوئي لأيون التيربيوم في المتراكب، وذلك بزيادة إضافة المُدر إلى محلول المتراكب الانبعاثي. نرى من شكل ٤-١٨ أن إحدىمجموعات الهيدرووكسيل ذات الكثافة الإلكترونية العالية (الأكثر أحمرًا) تستطيع التفاعل مع أيون التيربيوم المُوجَّب (اللون الأزرق في منتصف المتراكب)؛ فيتكون متراكب جديد من الدواء ومن متراكب التيربيوم كما في شكل ٤-١٩. وهذا يتسبَّب في تفريغ طاقة التيربيوم بنقل الطاقة مرة أخرى إلى الدواء، الذي يقوم بإهدارها حراريًّا.



شكل ٤-١٧: يُبيّن [من الأسلاك] الجزء الذي امتص الضوء الساقط عليه، ثم يقوم بهموم الماء، بالإكترونات المنخفضة إلى اللومن المترک على أيون التيربيوم، ويقوم أيونون التيربيوم بتغير هذه الماء على هيئة وميض ضوئي على شكل حزم ذات أطوال موجية مميزة في المنطقة الحمراء من الضوء المرئي، كما يظهر في الطيف الموجي في يمين الشكل.



شكل ١٨-٤: خريطة الجهد الإلكتروني (التوزيع الإلكتروني) لمترافق الكراون إيثر ولدواء النالبوفين المُخدر.



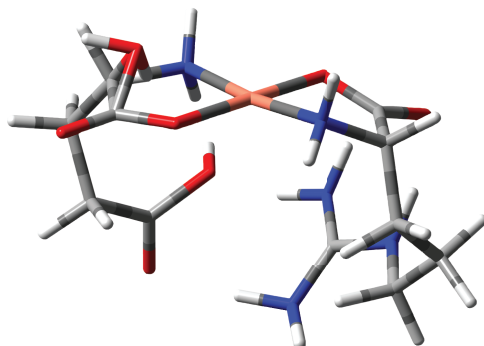
شكل ١٩-٤: يظهر تفاعل النالبوفين مع التيربيوم كراون إيثر.

(٤) متراكبات الاحتواء

احتواء بعض المواد داخل فراغ البيتا-سيكلوديكترين

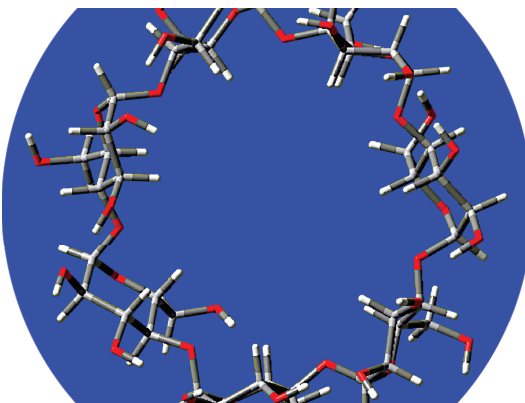
إن احتواء بعض المواد داخل فراغ البيتا-سيكلوديكترين يُستخدم عادةً في نقل الدواء وزيادة الذوبانية للعديد من المركبات الهامة، سواء في صناعة الأدوية أو الصناعات الأخرى. فيمكن لسيكلوديكترين كإحدى هذه المواد الاحتوائية أن ينقل الدواء إلى أماكن مُعينة داخل جسم الإنسان دون أن يتأثر بالوسط المحيط. وللمزيد من التطبيقات ومعرفة أنواع المواد الاحتوائية، يُرجى الرجوع إلى المراجع المعنية.

هنا نستخدم طريقةً مُتقدمةً للحسابات كي نستطيع التعامل مع مثل هذه النوعية من المركبات الكبيرة والمعقدة؛ فجزيء البيتا-سيكلوديكترين – وهو من السكريات الصديقة للبيئة وغير ضارٌّ صحيًا – يحتوي على ١٤٧ ذرة و ٦٠٢ إلكترون. هذا بجانب احتوائه على جزيئات مُتراكبات للكوبالت أو للنحاس.

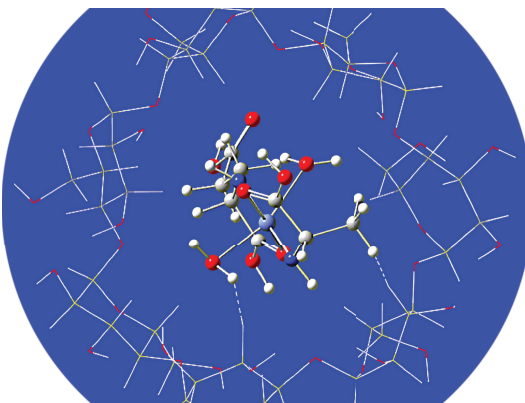


شكل ٢٠-٤: الشكل الهندسي الأمثل لمتراكبات الكوبالت والنحاس مع الليجاند للأحماض الأمينية المختلطة.

الطريقة المتبعة هي تقسيم المترابك إلى طبقتين؛ طبقة داخلية تحتوي على المترابك الذي يُراد احتواه، وطبقة أخرى خارجية تتكون من البيتا-سيكلوديكترين. يُمكننا برنامج جاوسيان من اختيار كل طبقة على حدة ONIOM. والطبقة الداخلية المطلوب حسابها بدقة كبيرة تُسمى نتائجها بالنتيجة العليا، وفيها نستخدم دالية متقدمة وعدداً



شكل ٤-٢١: جزيء البيتا-سيكلوديكسرين ويظهر الفراغ الكبير داخله.



شكل ٤-٢٢: مترابك الكوبالت المحتوى داخل البيتا-سيكلوديكسرين. الخطوط المتقطعة تُظهر الروابط الهيدروجينية بين مترابك الكوبالت والبيتا-سيكلوديكسرين.

وافرًا من فئة الأوربيتالات الأساسية، وهي بطيئة حسابيًّا. أما الطبقة الخارجية فنختارها للمعالجة بطرق الحساب شبه الوضعية السريعة نسبيًّا *Semiempirical methods*.

وكما حسبنا من قبل، فطاقة الترابط هي الفرق بين طاقة المترابط وطاقة مكوناته الحرية:

$$\Delta E_B = E_{MC-CD} - (E_{CD} + E_{MC})$$

وكذلك يمكننا البرنامج من حساب قيمة فرق الطاقة الحرية لجبيس من حسابات الديناميكا الحرارية:

$$\Delta G_B = G_{MC-CD} - (G_{CD} + G_{MC})$$

الخلاصة

بعد دراستنا لهذا الفصل نستطيع معرفة الآتي:

- (١) حسابات الكم لبعض المواد الفلزعضوية بهدف التعرُّف على تركيبها والتوزيع الإلكتروني فيها، وأي الأجزاء تكون مُستقبلة للإلكترونات وأيُّها تكون مُعطيَة لها، كما في حالة مركب بنزو ثلاثي كربونيل الكروم.
- (٢) تعرَّفنا على مُتراكبات السندوتش للحديد والروثينيوم (وهي الفيروسين والروثوسين)، وكيف ترتبط المجموعات العضوية مع الفلز مكوِّنة السندوتش وبداخلها الفلز.
- (٣) تعرَّفنا على بعض المتراكبات غير العضوية مثل هاليدات الكوبالت، وأثر الذرَّات والمجموعات الطرفية فيها على انقسام أوربيتالات الفلز الانتقالِي، في ضوء نظرية المجال الليجاندي Ligand Field Theory.
- (٤) تغير طول الرابطة بين الليجاند والفلز المركزي، وأثر ذلك على الفجوة الإلكترونية.
- (٥) طبيعة الانتقالِة الإلكترونية المُسُبِّبة لطيف الامتصاص الإلكتروني.
- (٦) متراكبات انتقال الطاقة، ودرَّسنا مثال التيربيوم والكراون إيشِر، وكيف نُطَبِّق طيف انبعاثه في تعين تركيزات ضئيلة من دواءً مُخدِّر.
- (٧) عرفنا ما هي مركبات الاحتواء ذات الأهمية في مجالات تطبيقية منها زيادة ذوبانية المتراكبات، التي تُستَخدَم في الصيادة.
- (٨) كيفية حساب طاقة الترابط لهذه المتراكبات.

الفصل الخامس

الديناميكا الجزيئية

سنهمُ في هذا الفصل بالتعرف على طريقة مُتقدمة في الحسابات هي ما يُسمى الديناميكا الجزيئية من المبادئ الأولية (AIMD). Ab-Initio Molecular Dynamics (AIMD) والتقريب المستخدم هو تقرير بورن-أوبنهايمير Born-Oppenheimer Approximation كمثال لفصل حركة النوى الثقيلة الوزن عن حركة الإلكترونات الخفيفة الوزن. سندرس كمثال جزيئاً مُهماً مثل حمض الكافيين، الذي يؤثر على عدد من الوظائف البيولوجية للإنسان، كعلاج للسرطان، وكمضاد للتأكسد. وسنعرف على تغيير بعض خواص هذا الجزيء أثناء حركته، سواء في حالته المثارة أو في الحالة الأرضية.

(١) حسابات الديناميكا الجزيئية من المبادئ الأولية

وفيها تطبق قوانين الحركة على الجزيئات؛ ومن ثم يمكن محاكاة حركة الجزيء حيث يتغير شكله وتركيبه الإلكتروني مع مرور الزمن؛ أي أن هذه الطريقة تدرس الجزيئات وهي تتحرك في مسار زمني عادةً في المدى الزمني الفيمتوثانية – البيكوثانية. هذا المسار هو ما يُطلق عليه تراجيكوري Trajectory. سنقوم بتتبع حركة الأجزاء المختلفة في الجزيء موضع الدراسة؛ أي سنتبع الروابط والمجموعات وعلاقتها بعضها البعض بالزمن في المسار.

نستخدم حزمة برامج أوركا الحديثة أو جاوسيان في إجراء هذه النوعية من الحسابات. وفيما يلي سنعرض مع الشرح نسخة من ملف المدخلات لكلاً منها.

أولاً: ملف أوركا

يُعنى هذا الملف بالحسابات في الحالة المثارة. والفرقُ الوحيد بين حسابات الديناميكا الجزيئية في الحالة المثارة والحالة الأرضية، هو السطر الثالث، الذي يجب إلغاؤه عند إجراء حسابات الحالة الأرضية.

```
# MD name of molecule
! MD cam-b3lyp def2-SVP RIjcosx
% tddft Nroots 4 end
% md                               الديناميكا الجزيئية #
timestep 0.50 fs                 سعة خطوة الزمن وهي نصف فيمتو ثانية #
initvel 350 k                     نبدأ بسرعة الجزيء عند 350 كالفن #
thermostat Berendsen             # ثبت الحرارة بطريقة #
350 k timecon 10 fs              براندنسن عند 350 كالفن، وثابت التكاملات هو
                                  10 فيمتو ثانية
dump position stride               اكتب نتائج التراجيكتوريز في #
1 file "File_Name.xyz"            ملف يتم تسميته من قبل المستخدم
scflog append                      # أكمل كتابة النتائج ولا تبدأ من جديد #
                                    # في حالة وجود الملف
Name.xyz #
run 2000                           عدد مرات الحساب يساوي ألفي مرة؛ أي سعة #
                                    زمن المسار ستكون 1000 فيمتو ثانية
printlevel medium
end
% Pal Nprocs 10 end
* xyz 0 1
COORDINATE
*
```

ثانياً: ملف جاوسيان

المثال الذي سندرسه بالتفصيل هو لجزيء حمض الكافيفيك شكل ١-٥. لذا فقد أعطينا الإحداثيات الخاصة بهذا الجزيء فيما يلي:

```
% mem=4GB
% nprocshared=10
% chk=Caffeic_MD_EX.chk
# td b3lyp/6-31g(d,p) nosymm geom=connectivity
admp=(stepsize=2500, maxpoints=4000) formcheck
Caffeic ab initio MD EX
0 1
C           2.38350900   0.79559804   -0.05656182
C           2.82857533  -0.53410279    0.02237747
C           1.90659280  -1.57798413   0.10158762
C           0.54020865  -1.30783420   0.10208782
C           0.07417628   0.01755532   0.02058471
C           1.01862261   1.05965039  -0.05645069
C           -1.34843067   0.36672248   0.01393460
C           -2.40079107  -0.47681526   0.00970378
C           -3.82979996  -0.08695524  -0.03368771
O           -4.70491691  -0.87350873  -0.32665528
O           -4.16317090   1.20411138   0.26039488
O           3.27046969   1.82792432  -0.13351865
O           4.19274180  -0.69712435   0.01660757
H           -3.40123250   1.69034116   0.60541730
H           4.17119761   1.47026144  -0.12632815
H           4.43110370  -1.63152533   0.07034523
H           -2.26548684  -1.55272375  -0.02322617
H           -1.53252196   1.44170782  -0.01512737
H           -0.15759374  -2.13481604   0.16817112
H           0.69806635   2.09519986  -0.12059955
H           2.25950030  -2.60467389   0.16526502
```

```

1 2 1.0 6 2.0 12 1.5
2 3 1.0 13 1.5
3 4 2.0 21 1.0
4 5 1.0 19 1.0
5 6 1.0 7 1.5
6 20 1.0
7 8 1.5 18 1.0
8 9 1.0 17 1.0
9 10 2.0 11 1.5
10
11 14 1.0
12 15 1.0
13 16 1.0
14
15
16
17
18
19
20
21

```

أهم ما جاء في هذا الملف هو السطر الذي يبدأ بالكلمة الدالة (Keyword) على إجراء حسابات الديناميكا الجزيئية من المبادئ الأولية (admp).

$$admp = (\text{stepsize} = 2500, \text{maxpoints} = 4000)$$

- admp تعني الكلمة الدالة علي طريقة حساب الديناميكا الجزيئية من المبادئ الأولية.

- $2500 = \text{stepsize}$ تعني سعة الخطوة الزمنية 0.25 فيمتو ثانية.
- $4000 = \text{maxpoints}$ تعني عدد الخطوات الزمنية وهي:

$$(1000 = 0.25 * 4000)$$

(أ) ما الهدف؟

و قبل أن نستعرض النتائج سنسأل أنفسنا: ما الذي نريد الحصول عليه من هذه الحسابات؟

و سنبادر بالإجابة العاجلة و نذكر أننا بصدق حسابات لجزيء ذي أهمية في حياتنا، وهو جزيء حمض الكافيين. نريد معرفة حركة الجزيء في مدى زمني هو ألف فيمتو ثانية (أي واحد بيكتو ثانية)، ومنها سنعرف مدى ثبات هذا الجزيء عند أزمنة المسار المختلفة. سنعرف حامضية مجموعات الهيدروكسيل فيه، و سنتعرّف أيضًا على التغيرات في طاقة النُّوَي؛ سواء الطاقة الديناميكية أو الطاقة الوضعية. بل نريد و نستطيع أيضًا معرفة أطوال بعض الروابط الهامة بين مجموعات الجزيء بعضها وبعض. و ننوي أن نعرف أيضًا إذا ما كان الجزيء سيقوم بحركات التواير حول الرابطة الثنائية في السلسلة الجانبيّة لحمض الكافيين.

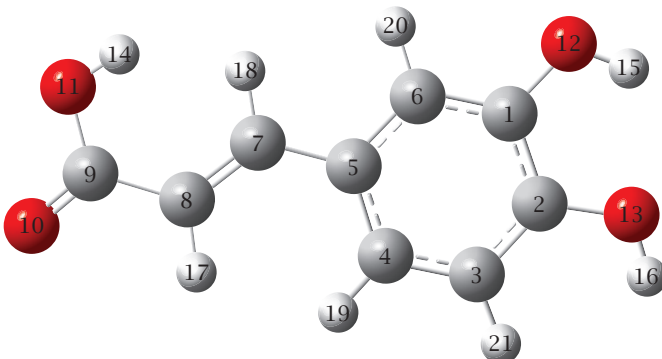
كل المعلومات التي سنتمكّن من الحصول عليها ستفي في معرفة الخواص الحركيّة والشكليّة للجزيء، خاصةً إذا ما قارنّاها بنفس الخواص في الحالات الإلكترونيّة المختلفة، مثل مقارنة الحالة الثائرة بالحالة الأرضية.

(٢) حمض الكافيين

و جب علينا أيضًا أن نذكر أهمية حمض الكافيين (3,4-Dihydroxycinnamic acid). وهو من الأحماض الفينولية المتوفّرة طبيعياً، و معروف أنها ذات صفات تؤثّر على مجموعة واسعة من الوظائف البيولوجية، بالإضافة إلى كونها ذات نشاط كمضادات للأكسدة، والتي من شأنها تعديل التسربط، وأصبحت تُستخدم كعوامل وقاية كيميائية من السرطان. و تشير الدراسات إلى أن اتباع نظام غذائي غني بالفواكه والخضروات يقلّل من خطر الإصابة بالسرطان في البشر؛ مما يُشير إلى أن بعض المكونات الغذائية مثل حمض الكافيين قد تكون فعالة في الوقاية من السرطان. و سنهم هنا بدراسة ديناميكية لحمض الكافيين، وأثر حركة الجزيء على بعض خواصه، وذلك في مدى زمني يُقدر بألف فيمتو ثانية؛ أي خلال بيكتو ثانية واحدة وهو في الحالة المثارة.

(٣) تحليل النتائج

سنبدأ بالتعرف على كيفية استخلاص النتائج من مُخرجات برنامج جاوسيان وعرضها باستخدام الواجهة الرسومية لبرنامج جاوسيان فيو.



شكل ١-٥: الصورة الهندسية لجزيء حمض الكافيينيك وقد رُقمت الذرات.

يحتوي هذا الجزيء على مجموعةٍ هيدروكسيل ترتبط بذرتَي الكربون ١ و ٢ في حلقة البنزين. كما يحتوي على مجموعة إيثيلين ترتبط بالذرة رقم ٥ في حلقة البنزين. ترتبط مجموعة الإيثيلين من خلال الذرة رقم ٨ بمجموعةٍ كربوكسيلية. يمكن النظر إلى هذا الجزيء على أنه مشتق ترانس للإيثيلين (ويُسمى في هذه الحالة Entgegen، E، ٤-دادي هيدروكسي فينيل كربوكسيل إيثيلين).

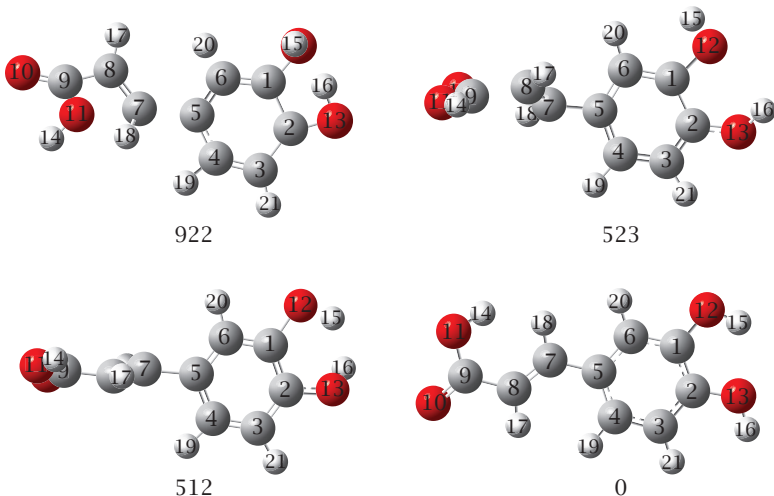
تم رصد الجزيء عند أزمنة مختلفة في المسار كالملبنة بشكل ٢-٥. ومقارنةً بالزمن نجد أن:

(١) عند زمن مقداره 5×10^{-2} فيمتو ثانية، حدثت التوازنات ودوران مما جعل مجموعة الإيثيلين تُصبح متعامدة على باقي الجزيء. كما انفصلت ذرة الهيدروجين رقم ١٥ عن ذرة الكربون رقم ١٢.

(٢) عند زمن في المسار مقداره 5×10^{-3} فيمتو ثانية، انفصلت مجموعة الكربوكسيل عن باقي الجزيء، وكذلك فقد انفصلت ذرّتا الهيدروجين ذواتاً الرقمين ١٥ و ١٩ عن

ذرّتي الكربون ذاتي الرقمنين ١٢ و ٤ على الترتيب. ولنلاحظ أيضًا أنه قد حدث مزيد من الالتواءات والدوران؛ مما أدى إلىبقاء مجموعة الإيثيلين مُتعامدة على باقي الجزيء.

(٣) عند ٥٢٩ فيمتو ثانية انفصلت كل مجموعة الإيثيلين، وكذلك انقسمت مجموعة الكربوكسييل لنلاحظ وجود شق هيدروكسيل حر.

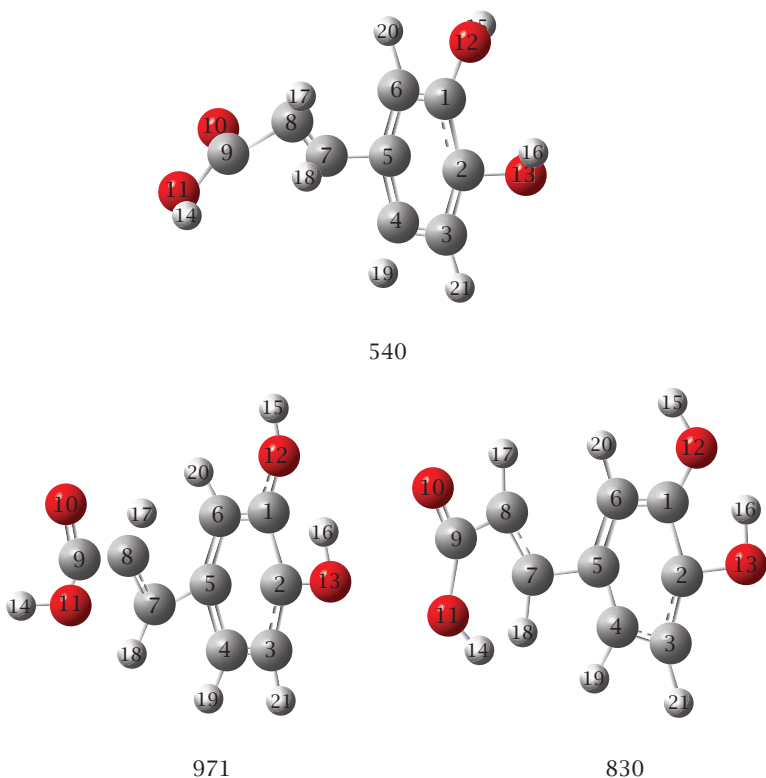


شكل ٢-٥: رصد صور الجزيء عند أزمنة مختلفة في المسار تقدّر بالفييمتو ثانية.

وبمرور الوقت، وكما نلاحظ في شكل ٣-٥، تلتاح أو تلتوى من جديد أجزاءُ الجزيء أو تنفصل مثلما يحدث في الأزمنة من ٥٤٠ إلى ٩٧١ فيمتو ثانية.

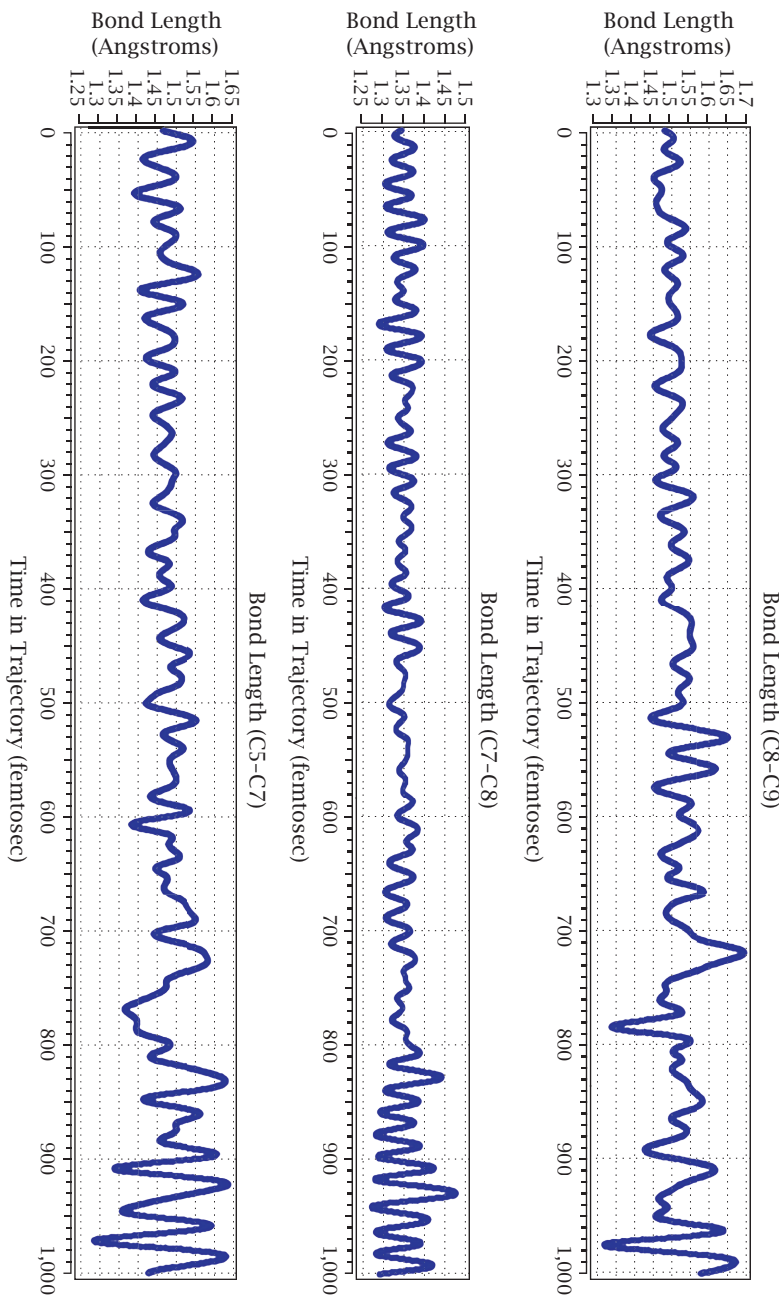
ولعرض الصورة كاملة، خاصةً ما يحدث في أزمنة المسار المختلفة لأطوال الروابط، فقد حصلنا على صور المسارات من نتائج جاوسيان عن طريق واجهته الرسومية جاوسيان فيو، ونعرضها في شكل ٣-٤. ومن الشكل نستطيع التعرّف على الزمن الذي تقصّر فيه الرابطة أو تزداد طولاً.

ويلاحظ من شكل ٣-٤ أن أكبر تغيير يحدُث في الرابطة (C8-C9)؛ مما يشير إلى سهولة انفصال مجموعة الكربوكسييل. يليه تغيير طول الرابطة الأحادية (C5-C7). بينما يحدث أقل تغيير في الرابطة الثنائية في مجموعة الإيثيلين، التي يحدُث فيها الالتواء.

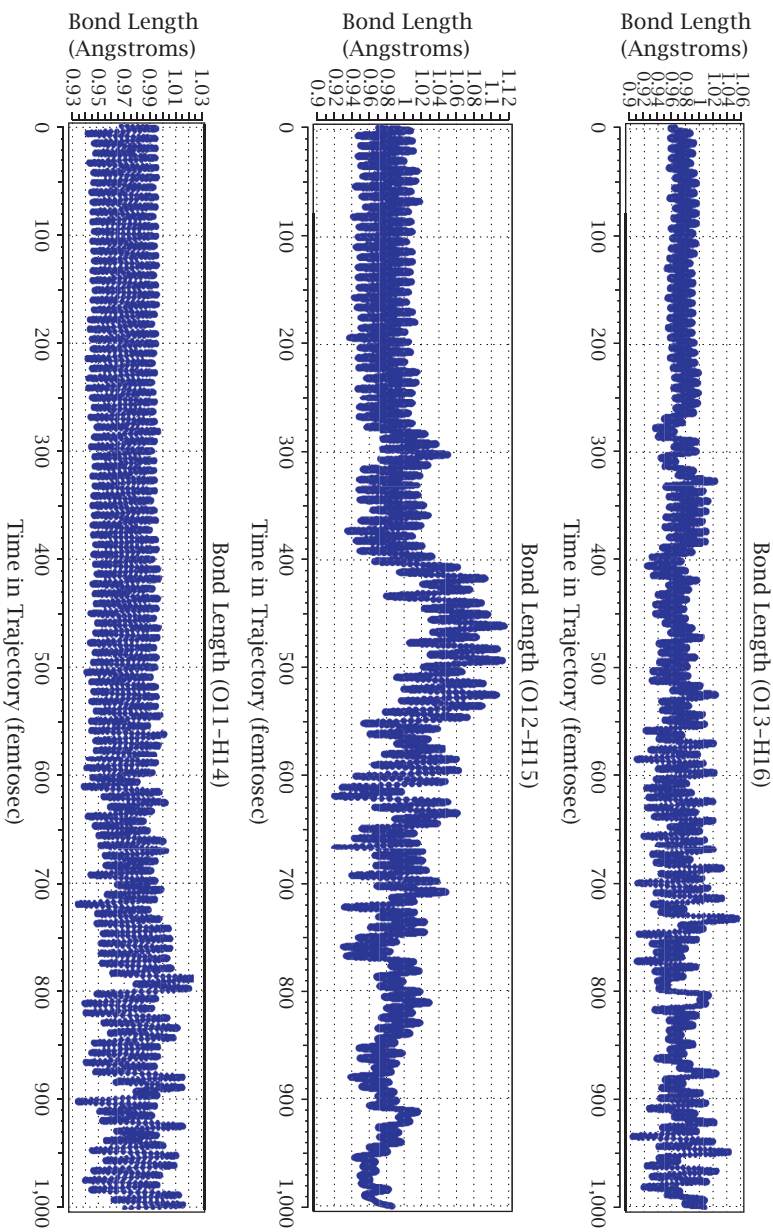


شكل ٣-٥: صور الجزيء خلال أزمنة مختلفة في المسار تُقدّر بالفييمتو ثانية.

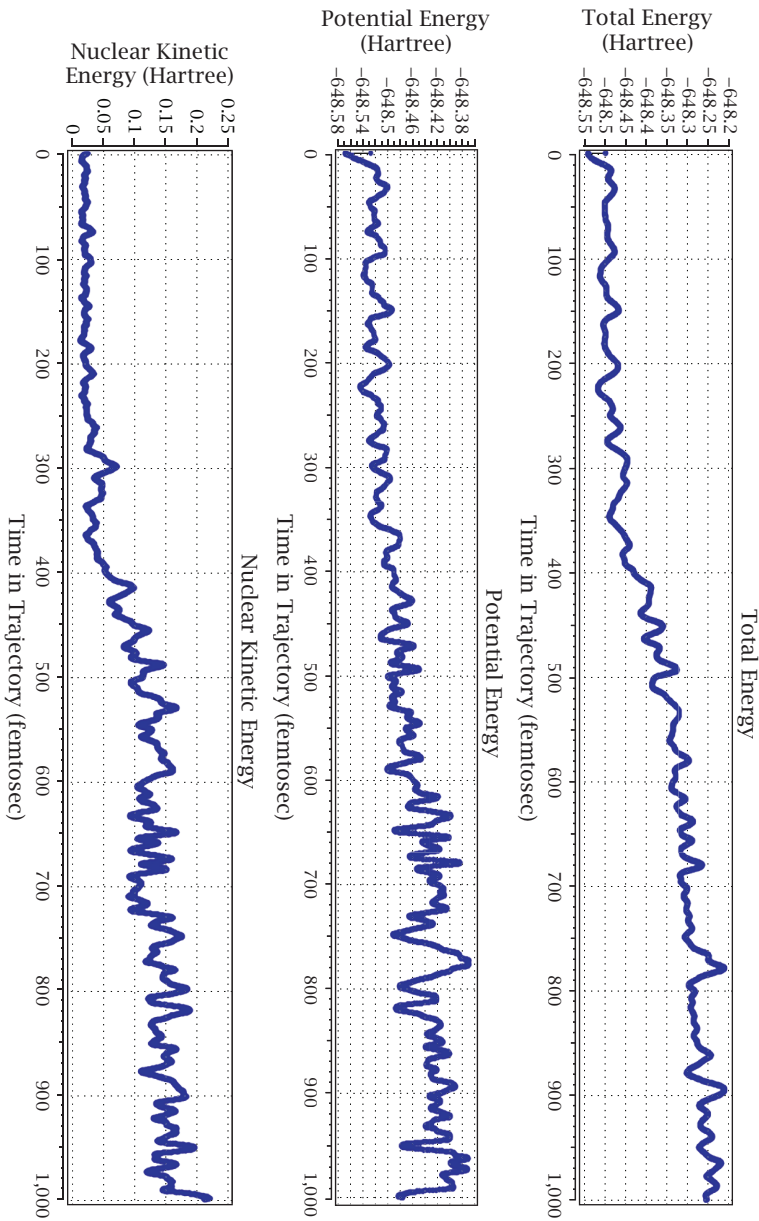
وبنظرٍ سريعة إلى شكل ٦-٥ يُمكننا ملاحظة التغيير الحادث في طاقة الجزيء، سواء الطاقة الديناميكية للنُّوى، أو طاقة وضعها، أو الطاقة الكلية؛ حيث تزداد الطاقة عامًّا بعد مرور حوالي ٣٥٠ فييمتو ثانية من بدء الحركة. وجدير بالذكر أنَّا قد أجرينا نفس الحسابات على الحالة الأرضية ولم نشاهد تغييرات ملموسة في طاقة الجزيء بمرور الوقت، ولا أي انشطارٍ في أجزائه ومجموعاته المختلفة؛ دليلاً على استقرار الجزيء في الحالة الأرضية. ويمكن الرجوع للشكليين ٧-٥ و ٨-٥ للمقارنة بمثيلاتها في الحالة الثائرة.



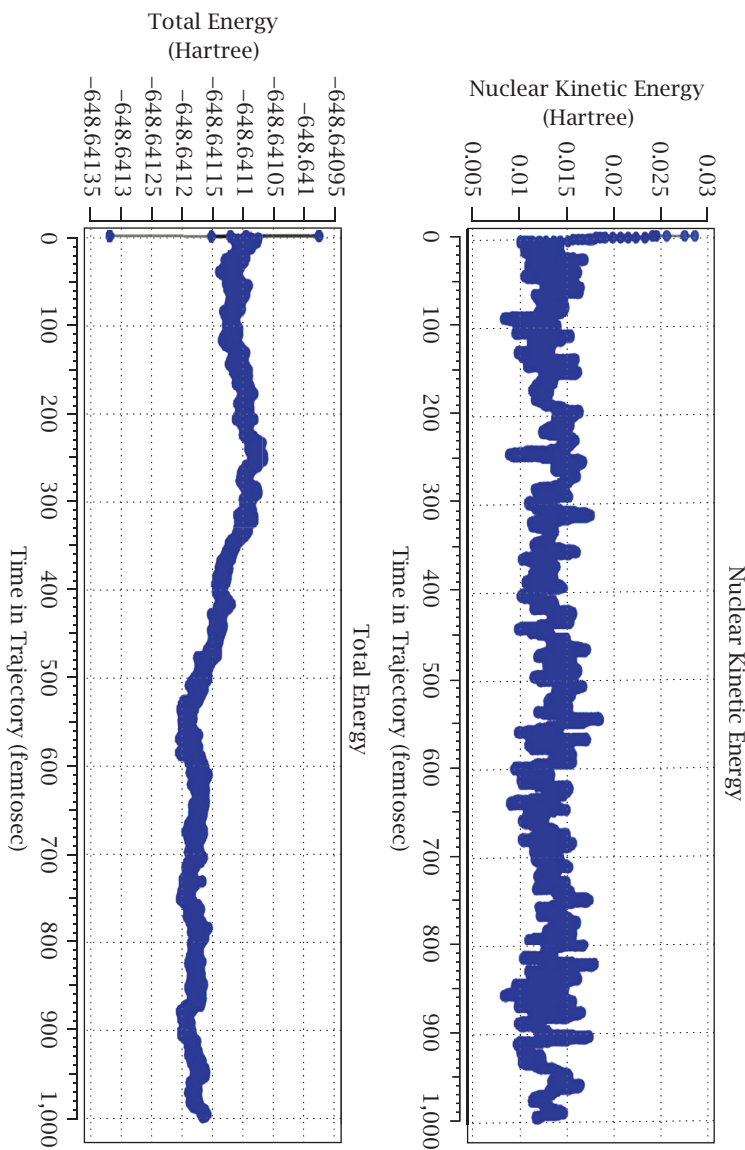
شكل ٥-٤: التغير في أطوال الروابط في زمن المسار في الحالة الثانوية.



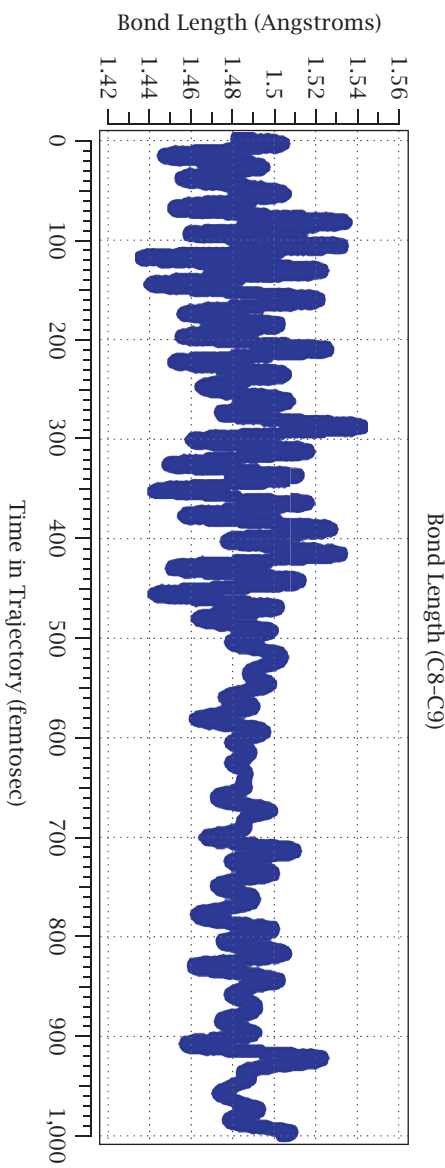
شكل ٥-٥: صول الرابطة H-O وانحلال البروتون يكون أكبر ما يمكن في حالة مجموعة الهيدروكسيل H15-O12.



شكل ٦: طالقات الجزيء الديناميكيّة وطاقة الوضم والطاقة الكليّة أثناء زمن المسار في الحالة الثائرة.



شكل ٥-٧: طاقات الجزيئية الديناميكية والطاقة الكinية أثناء زمن المسار في الحالة الأرضية.



شكل ٨-٥: التغير في طول الرابطة (C8-C9) في زمن المسار في الحالة الأرضية. ومع مرور الوقت لا يتغير طول الرابطة إلى المدى الذي يتسبّب في انشطارها.

الخلاصة

- (١) تعرّفنا في هذا الفصل على طريقة متقدمة في الحسابات، وهي الديناميكا الجزيئية من المبادئ الأولى، والتي تعتمد على تقرير بورن-أوبنهايم لفصل حركة النّوى الثقيلة الوزن عن حركة الإلكترونات الخفيفة الوزن، مع استخدام نظرية الدالية الإلكترونية.
- (٢) تعرّفنا على ملفات إدخال المعلومات لإجراء الحسابات إما بحُزم برنامج أوركا، وإما بحُزم برنامج جاوسيان.
- (٣) درسنا حالة حمض الكافيين المتوافر طبيعياً في الغذاء والقهوة، وهو من المواد الهاّمة في مكافحة السرطان.
- (٤) شاهدنا التغيير الحادث في خواص الجزيء في زمن المسار.
- (٥) لقد حدّدت بعض المفاتيح، وعلى الدارس اللجوء إلى دليل البرامج والمراجع للاستزادة في المعرفة.

الملاحق

ملحق (١) قائمة بحُرَّم البرامج المتاحة عالميًّا

تُستخدم برامج كيمياء الكم في الكيمياء الحاسوبية، وتشمل معظمها نظرية الكثافة الدالية (DFT) أو الميكانيكا الجزيئية (MM) أو طرق كيمياء الكم شبه الوضعية (Semiempirical). والبرامج قد تكون مفتوحة المصدر ومُتاحة مجانًا، خاصةً للأكاديميين، أو تكون برمجيات تجارية. ومعظمها حُرَّم كبيرة، وغالبًا ما تحتوي على عدة برامج منفصلة؛ حيث تم تطويرها على مدى عقود من الزمن. والجدول الآتي يتضمن بعض أهم هذه البرامج وأكثرها انتشارًا، مرتبة أبجديًّا.

جدول ١

نوع الرخصة	المصدر	اسم البرنامج
مجاني	http://www.qtp.ufl.edu/aces/	ACES
تجاري	https://www.scm.com/amsterdam-modeling-suite/	ADF
أكاديمي مجاني	http://www.cse.scitech.ac.uk/ccg/software/gamess-uk/	GAMESS (UK)
أكاديمي مجاني	https://chemcompute.org/gamess/index.html	GAMESS (US)
تجاري	http://gaussian.com	*GAUSSIAN

نوع الرخصة	المصدر	اسم البرنامج
أكاديمي مجاني	https://orcaforum.kofo.mpg.de/app.php/dlext/	ORCA
تجاري	http://www.q-chem.com	Q-Chem
تجاري	https://www.wavefun.com	* Spartan

* برامج لها واجهة المستخدم الخاصة بها لعرض النتائج الرسومية (GUI). وتوافر أيضاً واجهات مستقلة لباقي البرامج وأكثرها انتشاراً هما: (<http://www.CemCraft.com>) ChemCraft (<https://avogadro.cc>) Avogadro، وأفوجادرو وهو مفتوح بالمجان.

ملحق (٢): تعاريفات مختصرة في عِجالَة

تُوفّر الكيمياء الحاسوبية مجموعة أدوات متعددة الاستخدامات لدراسة البنية الإلكترونية، وأطياف المركبات والمتراكبات الكيميائية وتفاعلاتها وميكانيكياتها. ولأننا سنلتزم بتقديم المفاهيم والطرق وتطبيقاتها دون الخوض في المعادلات الرياضية، وجَبَ علينا أن نستعرض المفاهيم العامة بصورة مختصرة جدًا، ونسعرض بعضها في صورة معادلات ضرورية كما يلي:

سنستخدم نموذج الإلكترونات ليكانيكا الكم (QM) بهدف حلّ لتفاعلات بين النوى والإلكترون. ومن أهم التقريبات لنتمكن من الحصول على الحلول، هو تقريب بورن-أوبنهایمر (BO) المهم! ويُسمى أيضًا تقريب أديبياتي. وفي الأساس، النواة أثقل بكثير وأقل قدرة على الحركة من الإلكترونات؛ ومن ثم، يمكننا فصل حركات الإلكترونات عن حركة النواة وحلها بشكل مستقل. وبسبب تقريب BO، تعاملنا مع النوى كنقاط مشحونة بحجم يساوي الصفر؛ مما يعني أننا نعمل في $6-3N$ من الأبعاد في حالة جزيئات لا خطية أو $5-3N$ لجزيئات الخطية؛ حيث N تمثل عدد النوى.

والرموز المستخدمة الأساسية تستلزم تقديم معادلة شرودنجر المستقلة غير المعتمدة على الزمن (SE):

$$H\Psi_i = E_i\Psi_i$$

اللاحق

حيث H هو آمر (مؤثر) هاملتونيان، وبساي هي الدالة الموجية المناسبة للهاملتونيان E_i هي الطاقة المناسبة. وفي حالة ذرة الهيدروجين ذات الإلكترون الواحد تصبح معادلة شرودنجر في الصورة الرياضية:

$$\frac{-\hbar^2}{2m_e} \vec{\nabla}^2 \Psi_i - \frac{e^2}{r} \Psi_i = E_i \Psi_i \quad e^2 = \frac{q^2}{4\pi\epsilon_0}$$

حيث مربع دل هو آمر (مؤثر) الحركة الثلاثي الأبعاد و r هي بُعد الإلكترون ذي الشحنة e عن النواة.

ويبيسٌط استخدام الوحدات الذرية شكل المعادلة إلى:

$$\frac{-1}{2} \vec{\nabla}^2 \Psi_i - \frac{1}{r} \Psi_i = E_i \Psi_i$$

ومعادلة شرودنجر في حالة جزيء يحتوي على عدد من الإلكترونات والنووى تصبح أكثر تعقيداً:

$$H = \frac{-1}{2} \sum_{i=1}^N \vec{\nabla}_i^2 - \sum_{i=1}^N \sum_{k=1}^M \frac{Z_k}{r_i - R_k} + \sum_{i=1}^N \sum_{j < i}^N \frac{Z_k}{r_i - r_j}$$

فالحد الأول في هاملتونيان يمثل آمر (مؤثر) الحركة لعدد من الإلكترونات، والحد الثاني يمثل طاقة الوضع للتنافر بين الإلكترونات وعدد من النوى، والحد الثالث يمثل التنافر بين الإلكترونات بعضها وبعض. وقد استبعذنا حداً رابعاً يمثل التنافر بين النوى بعضها وبعض.

ملحق (٣): الطرق العامة للحسابات

والكيمياء الحاسوبية لديها مجموعة مختارة من الأساليب أو الأدوات لدراسة هذه الموضوعات لتجيب عن هذه الأسئلة. تنتهي الأدوات الرئيسية المتاحة إلى خمس فئات عامة كما هو موضح أدناه.

الميكانيكا الجزيئية (MM)

وهي تعتمد على نموذج لجزيء يمثل كمجموعة من الكرات (الذرات) التي عُقدت معًا ببيانات تمثل الروابط. إذا كنَا نعرف أطوال الاليات والزوايا بينها، ومقدار الطاقة اللازمة كي تمتّ وتنثني هذه الاليات، يُمكننا حساب طاقة مجموعة معينة من الكرات والاليات. ويتم تغيير الشكل الهندسي في جزءٍ ما حتى يتم الوصول إلى أدنى طاقة تمثل الشكل الهندسي المثالي أو الأمثل، ويتم ذلك بإجراء تغييرات في هندسة الجزء حتى الوصول إلى هذه الطاقة الأدنى.

والميكانيكا الجزيئية تتم بسرعة عالية جدًّا حتى بالنسبة إلى الجزيئات الكبيرة؛ حيث يمكن الوصول إلى الشكل الهندسي المثالي في ثوانٍ على كمبيوتر سطح مكتب قوي (محطة عمل)، أو حتى على جهاز كمبيوتر شخصي، حيث تستغرق المهمة بضع ثوانٍ فقط.

حسابات من المبادئ الأولى (من اللغة اللاتينية: ab initio)

تعتمد الحسابات التي من المبادئ الأولى على حلًّ معادلة شرودنجر. هذه المعادلة هي واحدة من المعادلات الأساسية الحديثة في الفيزياء والكيمياء.

فهي تصف ضمن أشياء أخرى كيف تتصرف الإلكترونات في الجزيء؛ حيث تقوم طريقة ab initio بحل معادلة شرودنجر لجزيء، وتحل معادلة طاقة الإلكترون والدوال الموجية. والدالة الموجية هي دالة رياضية تستخدم لحساب الأماكن المحتمل وجود الإلكترون فيها في الجزيء (الأوربيتالات). ومن خريطة توزيع الإلكترون هذه يُمكننا أن نعرف أشياء مثل قطبية الجزيء، والأماكن التي من المحتمل أن تتعرّض للهجوم من قبل النيكليفيلات والإلكتروفيلات.

ومن المعلوم أنه لا يمكن حل معادلة شرودنجر حلًّ دقيقًا لأي جزء يحتوي على أكثر من إلكترون واحد؛ ومن ثم تُستخدم التقريريات. وأقل المستويات الحسابية تقريرية هو مستوى حسابات المبادئ الأولى الأكثر كلفةً من ناحية زمن الحل وقدرات الحواسيب المستخدمة. وقد سهلت أجهزة اللاب توب الحديثة السريعة وذات المعالجات السادسية النواة — المتوفّرة منذ عام ٢٠١٨ — الكثيَر من الوقت، إلا أنها ما زالت غير رخيصة بالنسبة إلى الأفراد؛ فثمن الجهاز منها يفوق ٢٥٠٠ دولار أمريكي. أما محطات الحسابات السطحية المتعددة النوىات (ما بين ٣٢ إلى ٤٠ نواة) فيتراوح

اللاحق

سعرها بين ١٠٠٠ - ١٥٠٠٠ دولار أمريكي. وفي الجامعات والماركز البحثية المُهتمة بالبحث العلمي والدراسات المتقدمة لا يمثّل هذا السعر أي مشكلة؛ إذ يمكن تدبيره بسهولة لإنشاء معمل كيمياء أو فيزياء الحاسوب، الذي يُستثمر لسنوات عديدة في البحث العلمي والتدريب والتعليم.

الحسابات شبه الوضعية

تعتمد على حل معادلة شرودنجر بطرق أكثر تقريبيةً من مستوى طرق المبادئ الأولية؛ فتعتمد الطريقة على نوعٍ من مكتبة تكاملات رياضية جُمعت من خلال إيجاد أفضل المواتمات لبعض الكيانات المحسوبة مثل الهندسة أو الطاقة (مثل حرارة التكوين أو طاقة التأين)، والمقاربة للقيم المُقاسة بالطرق التجريبية.

وخلط قيم تجريبية في الطريقة الرياضية للحصول على أفضل القيم المحسوبة يُسمى بaramتر. وهذا الخلط بين النظرية والتجربة هو الذي يجعل من الطريقة «شبه وضعية»؛ فهي تعتمد على معادلة شرودنجر، لكنها مُطعمـة بالقيم التجريبية (وكلمة الوضعية تعني التجريبية).

والحسابات بهذه الطريقة أسرع بكثير من تلك المحسوبة بطريقة المبادئ الأولية؛ لذا فهي مفيدة في حالة الجزيئات الكبيرة.

حسابات دالية الكثافة

(وتُسمى الحسابات النظرية لدالية الكثافة Density Functional Theory). وهي — مثل الطريقتين السابقتين — تعتمد على حل معادلة شرودنجر باستخدام تقرير بطريقة مبتكرة حصل بسببها عالم أمريكي على جائزة نوبل في الكيمياء في ثمانينيات القرن الماضي. وتُبنى هذه الطريقة على حسابات مباشرة للكثافة الإلكترونية (مُتخليّة الدوال الموجية)، ومنها نحصل على طاقة الجزيء.

و«دالية» هي دالة الكثافة الإلكترونية المُعرفة أو المتعلقة بدالة الأبعاد الفراغية والزمن.

حسابات الكثافة الدالية DFT عادةً ما يكون إجراؤها أسرع من الحسابات المبدئية الأولية، ولكنها بالطبع أبطأ بكثيرٍ من الحسابات شبه الوضعية. ويمكن الرجوع إلى الموقع

الإلكتروني التالي لمعرفة المزيد من وصف هذه الطريقة.
http://newton.ex.ac.uk/research/qsystems/people/coomer/dft_intro.html
وخلاصة هذه الطريقة أنها حل تقريري لمعادلة شرودنجر تتخطى به حلول الدوال الموجية.

حسابات الديناميكا الجزيئية

وفيها تطبيق قوانين الحركة على الجزيئات؛ ومن ثم يمكن محاكاة حركة الجزيء حيث يتغير شكله مع مرور الزمن.
ويتمكن أيضًا محاكاة حركة عددٍ من جزيئات الماء مثلًا حول الجزيء المذاب لمعرفة طبيعة التفاعل بين المذيب والمذاب.
أي أنها تدرس الجزيئات وهي تتحرك.

وفي الختام، وتبعًا لعدد ذرات الجزيئات ودقة الحسابات المطلوبة يتم اختيار طريقة الحساب، وفي حالة الجزيئات البيولوجية المعقدة تُستخدم أبسط صور الحسابات بميكانيكا الجزيئات. وأعمُ الطرق المستخدمة في الحسابات هي المعتمدة على نظرية الكثافة الدالية.

ملحق (٤): مواقع بعض التعريفات والمراجع العلمية السريعة

Basis Sets

https://www.southampton.ac.uk/assets/centresresearch/documents/compchem/DFT_L8.pdf.

https://www.schulz.chemie.uni-rostock.de/storages/uni-rostock/Alle_MNF/Chemie_Schulz/Computerchemie_3/basis_sets.pdf.

https://www.schulz.chemie.uni-rostock.de/storages/uni-rostock/Alle_MNF/Chemie_Schulz/Computerchemie_3/basis_sets.pdf.

Density Functionals

<http://webs.ftmc.uam.es/juancarlos.cuevas/Talks/JC-Cuevas-DFT.pdf>.

http://www.attacalite.com/wp-content/uploads/2017/04/pdf_DFT4beginners.pdf.

الملحق

The Fundamentals of Density Functional Theory (revised and extended version).

http://puccini.chimica.uniba.it/didattica/corsi/solid_state_chem/dft.pdf.

https://www.qchem.com/qchemwebsite/manual/qchem43_manual/sect-DFT.html.

Which Functional should we use? <https://dft.uci.edu/pubs/RCFB08.pdf>.

[ORCA_Manual/https://orcaforum.kofo.mpg.de/app.php/dl/ext/?cat=1&sid=400e8c700bbe1dc948e240cd791261](https://orcaforum.kofo.mpg.de/app.php/dl/ext/?cat=1&sid=400e8c700bbe1dc948e240cd791261).

ملحق (٥): بعض الجداول المفيدة في التحويل بين وحدات الطاقة

جدول وحدات الطاقة والتحويل فيما بينها.

Hartree	kJ/mol	kCal/mol	eV*
1	2625.4996	627.5090	27.2116

* $1 \text{ eV} = 8065.5 \text{ cm}^{-1}$

جدول مقاطع الكسور العشرية للوحدات أو مضاعفاتها.

الرمز	المقطع	المضاعف	الرمز	المقطع	الكسر
de	(Deka-)	10^1	d	(Deci-)	10^{-1}
h	(Hecto-)	10^2	c	(Centi-)	10^{-2}
k	(Kilo-)	10^3	m	(Milli-)	10^{-3}
M	(Mega-)	10^6	M	(Micro-)	10^{-6}
G	(Giga-)	10^9	n	(Nano-)	10^{-9}
T	(Tira-)	10^{12}	p	(Pico-)	10^{-12}
			f	(femto-)	10^{-15}
			a	(Atto-)	10^{-18}

*** جدول التحويل بين وحدات الطاقة.**

	hartree	eV	cm^{-1}	kcal/mol	kJ/mol	J	Hz
Hartree	1	27.2107	219474.63	627.503	2625.5	43.60×10^{-19}	$6.57966 \times 10^{+15}$
eV	0.0367502	1	8065.73	23.0609	96.4869	1.60210×10^{-19}	$2.41804 \times 10^{+14}$
cm^{-1}	4.55633×10^{-6}	1.23981×10^{-4}	1	0.00285911	0.0119627	1.98630×10^{-23}	$2.99793 \times 10^{+10}$
kcal/mol	0.00159362	0.0433634	349.757	1	4.18400	6.95×10^{-21}	$1.04854 \times 10^{+13}$
kJ/mol	0.00038088	0.01036410	83.593	0.239001	1	1.66×10^{-21}	$2.50607 \times 10^{+12}$
J	$2.294 \times 10^{+17}$	$6.24181 \times 10^{+18}$	$5.03445 \times 10^{+22}$	$1.44 \times 10^{+20}$	$6.02 \times 10^{+20}$	1	$1.50930 \times 10^{+33}$
Hz	1.51983×10^{-16}	4.13558×10^{-15}	3.33565×10^{-11}	9.53702×10^{-14}	6.62561×10^{-34}	1	

* This table was taken from <http://mccammon.ucsd.edu/~dzhang/energy-unit-conv-table.html>.

ملحق (٦): قائمة بعض جداول السمة للمجموعات ذات النقطة

C_{2h}	E	C_2	i	σ_h		
A_g	1	1	1	1	R_z	x^2, y^2, z^2, xy
B_g	1	-1	1	-1	R_x, R_y	yz, zx
A_u	1	1	-1	-1	x	
B_u	1	-1	-1	1	x, y	

C_{2v}	E	C_2	$\sigma_v(xz)$	$\sigma_v(yz)$		
A_1	1	1	1	1	z	x^2, y^2, z^2
A_2	1	1	-1	-1	R_z	xy
B_1	1	-1	1	-1	x, R_y	zx
B_2	1	-1	-1	1	y, R_x	yz

C_{3v}	E	$2C_3$	$3\sigma_v$		
A_1	1	1	1	z	$x^2 + y^2, z^2$
A_2	1	1	-1	R_z	
E	2	-1	0	$(x, y), (R_x, R_y)$	$(x^2 - y^2, xy), (yz, zx)$

روعه حسابات كيمياء الکم وتطبيقاتها

C_{4v}	E	$2C_4$	C_2	$2\sigma_v$	$2\sigma_d$		
A_1	1	1	1	1	1	z	$x^2 + y^2, z^2$
A_2	1	1	1	-1	-1	R_z	
B_1	1	-1	1	1	-1		$x^2 - y^2$
B_2	1	-1	1	-1	1		xy
E	2	0	-2	0	0	$(x, y), (R_x, R_y)$	(yz, zx)

D_{2h}	E	$C_2(z)$	$C_2(y)$	$C_2(x)$	i	$\sigma(xy)$	$\sigma(xz)$	$\sigma(yz)$		
A_g	1	1	1	1	1	1	1	1	x^2, y^2, z^2	
B_{1g}	1	1	-1	-1	1	1	-1	-1	R_z	xy
B_{2g}	1	-1	1	-1	1	-1	1	-1	R_y	zx
B_{3g}	1	-1	-1	1	1	-1	-1	1	R_x	yz
A_u	1	1	1	1	-1	-1	-1	-1		
B_{1u}	1	1	-1	-1	-1	-1	1	1	z	
B_{2u}	1	-1	1	-1	-1	1	-1	1	y	
B_{3u}	1	-1	-1	1	-1	1	1	-1	x	

D_{3h}	E	$2C_3$	$3C_2$	σ_h	$2S_3$	$3\sigma_v$		
$A_{1'}$	1	1	1	1	1	1		$x^2 + y^2, z^2$
$A_{2'}$	1	1	-1	1	1	-1	R_z	
F'	2	-1	0	2	-1	0	(xy)	$(x^2 - y^2, xy)$
$A_{1''}$	1	1	1	-1	-1	-1		
$A_{2''}$	1	1	-1	-1	-1	1	z	
E''	2	-1	0	-2	1	0	(R_x, R_y)	(yz, zx)

D_{4h}	E	$2C_4$	C_2	$2C_2'$	$2C_2''$	i	$2S_4$	σ_h	$2\sigma_v$	$2\sigma_d$	
A_{1g}	1	1	1	1	1	1	1	1	1	1	$x^2 + y^2, z^2$
A_{2g}	1	1	1	-1	-1	1	1	1	-1	-1	R_z
B_{1g}	1	-1	1	1	-1	1	-1	1	1	-1	$x^2 - y^2$
B_{2g}	1	-1	1	-1	1	1	-1	1	-1	1	xy
E_g	2	0	-2	0	0	2	0	-2	0	0	(R_x, R_y)
A_{1u}	1	1	1	1	1	-1	-1	-1	-1	-1	(yz, zx)
A_{2u}	1	1	1	-1	-1	-1	-1	1	1	z	
B_{1u}	1	-1	1	1	-1	-1	1	-1	-1	1	
B_{2u}	1	-1	1	-1	1	-1	1	-1	1	-1	
E_u	2	0	-2	0	-2	0	2	0	0	(x,y)	

روعه حسابات كيمياء الکم وتطبيقاتها

D_{2d}	E	$2S_4$	C_2	$2C_{2'}$	$2\sigma_d$		
A_1	1	1	1	1	1		$x^2 + y^2, z^2$
A_2	1	1	1	-1	-1	R_z	
B_1	1	-1	1	1	-1		$x^2 - y^2$
B_2	1	-1	1	-1	1	z	xy
E	2	0	-2	0	0	$(x, y), (R_x, R_y)$	(yz, zx)

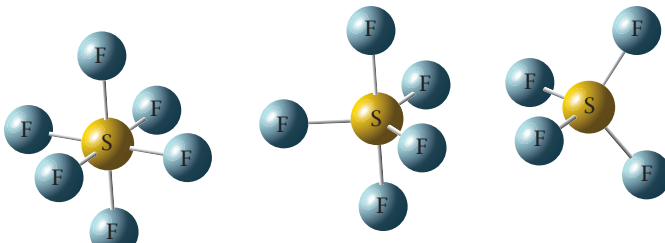
D_{3d}	E	$2C_3$	$3C_2$	i	$2S_6$	$3\sigma_d$		
A_{1g}	1	1	1	1	1	1		$x^2 + y^2, z^2$
A_{2g}	1	1	-1	1	1	-1	R_z	
E_g	2	-1	0	2	-1	0	(R_x, R_y)	$(x^2 - y^2, xy) (yz, zx)$
A_{1u}	1	1	1	-1	-1	-1		
A_{2u}	1	1	-1	-1	-1	1	z	
E_u	2	-1	0	-2	1	0	(x, y)	

D_{4d}	E	$2S_8$	$2C_4$	$2S_{83}$	C_2	$4C_{2'}$	$4\sigma_d$		
A_1	1	1	1	1	1	1	1		$x^2 + y^2, z^2$
A_2	1	1	1	1	1	-1	-1	R_z	
B_1	1	-1	1	-1	1	1	-1		
B_2	1	-1	1	-1	1	-1	1	z	
E_1	2	$\sqrt{2}$	0	$-\sqrt{2}$	-2	0	0	(x, y)	
E_2	2	0	-2	0	2	0	0		$(x^2 - y^2, xy)$
E_3	2	$-\sqrt{2}$	0	$\sqrt{2}$	$-\sqrt{2}$	0	0	(R_x, R_y)	(yz, zx)

T_d	E	$8C_3$	$3C_2$	$6S_4$	$6\sigma_d$			
A_1	1	1	1	1	1			$x^2 + y^2 + z^2$
A_2	1	1	1	-1	-1			
E	2	-1	2	0	0			$(2z^2 - x^2 - y^2, x^2 - y^2)$
T_1	3	0	-1	1	-1	(R_x, R_y, R_z)		
T_2	3	0	-1	-1	1	(x, y, z)		(xy, yz, zx)

O_h	E	$8C_3$	$6C_2$	$6C_4$	$3C_2 (= C_{4^2})$	i	$6S_4$	$8S_6$	$3\sigma_h$	$6\sigma_d$	
A_{1g}	1	1	1	1		1	1	1	1	1	$x^2 + y^2 + z^2$
A_{2g}	1	1	-1	-1		1	1	-1	1	1	-1
E_g	2	-1	0	0		2	2	0	-1	2	0
T_{1g}	3	0	-1	1		-1	3	1	0	-1	$(2z^2 - x^2 - y^2, x^2 - y^2)$
T_{2g}	3	0	1	-1		-1	3	-1	0	-1	(R_x, R_y, R_z)
A_{1u}	1	1	1	1		1	-1	-1	-1	-1	(x^2, y^2, z^2)
A_{2u}	1	1	-1	-1		1	-1	1	-1	-1	(xy, yz, zx)
E_u	2	-1	0	0		2	-2	0	1	-2	0
T_{1u}	3	0	-1	1		-1	-3	-1	0	1	(x, y, z)
T_{2u}	3	0	1	-1		-1	-3	1	0	1	-1

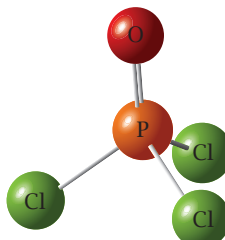
بعض الأشكال الهندسية المجسمة لبعض الجزيئات الكيميائية



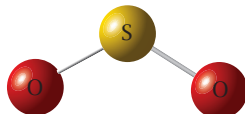
SF₆(O_h)

SF₅(D_{3h})

SF₄(T_d)



SF₄(T_d)



SO₂(C_{2v})

الجدول الدوري للعناصر الكيميائية

IA											VIIIA					
1 H											2 He					
IIA																
3 Li																
4 Be																
11 Na	12 Mg															
19 K	20 Ca	21 Sc	22 Ti	23 V	24 Cr	25 Mn	26 Fe	27 Co	28 Ni	29 Cu	30 Zn					
37 Rb	38 Sr	39 Y	40 Zr	41 Nb	42 Mo	43 Tc	44 Ru	45 Rh	46 Pd	47 Ag	48 Cd					
55 Cs	56 Ba															
87 Fr	88 Ra	104 Rf	105 Db	106 Sg	107 Bh	108 Hs	109 Mt	110 Ds	111 Rg	112 Cn	113 Uut					
III A																
5 B	6 C	7 N	8 O	9 F	10 Ne											
13 Al	14 Si	15 P	16 S	17 Cl	18 Ar											
31 Ga	32 Ge	33 As	34 Se	35 Br	36 Kr											
31 Ga	32 Ge	33 As	34 Se	35 Br	36 Kr											
49 In	50 Sn	51 Sb	52 Te	53 I	54 Xe											
80 Hg	81 Tl	82 Pb	83 Bi	84 Po	85 At	86 Rn										
114 Uut	115 Uup	116 Uuh	117 Uus	118 Uuo	119 Uuo											
IV A																
63 Eu	64 Gd	65 Tb	66 Dy	67 Ho	68 Er	69 Tm	70 Yb	71 Lu								
93 Pu	94 Am	95 Cm	96 Bk	97 Cf	98 Es	99 Fm	100 Md	101 No	102 Lr	103 Uuo						
57 La	58 Ce	59 Pr	60 Nd	61 Pm	62 Sm	63 Eu	64 Gd	65 Tb	66 Dy	67 Ho	68 Er	69 Tm	70 Yb	71 Lu		
90 Th	91 Pa	92 U	93 Np	94 Pu	95 Am	96 Cm	97 Bk	98 Cf	99 Es	100 Fm	101 Md	102 No	103 Lr	104 Uuo		

الحلقة

الدورة
العنصرية

ملحق (٨): الفئات الأساسية من الأوربيتالات Basis Sets

تُقرَّب الدالة الموجية الجزيئية على أنها جمُعٌ جبِريٌّ خطِيٌّ للأوربيتالات الذرية، وخلال هذا التقرِيب يمكن توليف أوربيتالات جزيئية عن طريق دمج دوالٍ أبسط. هذه الفئة من الدوال تُسمَى بالفئات الأساسية، وهي عبارة عن فئة من الدوال المستخدمة للتعبير عن شكل الأوربيتالات الجزيئية، وذلك من خلال الجمع الجبِري الخطِي لهذه الدوال. ويمكننا إيجاد التوزيع الإلكتروني حول النواة باستخدام عدة طرق، باستخدام دوال موجية لوصف حركة إلكترون واحد، تعتمد على حلول معادلة شرودنجر لذرة الهيدروجين، أو دوال سلاتر Slater ودواوْل جاوس (جاوسيان) والأوربيتالات من نوع، ويُرمز لها بـ STOs، والأوربيتالات من نوع جاوسيان تُسمَى GTOs.

تُعد كلُّ من دوال جاوس ودواوْل سلاتر من الدوال البسيطة رياضيًّا، ويمكن القول إنَّ الأوربيتالات من نوع سلاتر ذات نتائج جيدة مقارنةً بالأوربيتالات من نوع جاوس؛ ولكن في المقابل، الأوربيتالات من نوع جاوس تُعد ذات حلًّا أبسطًّا وأسرعًّا مقارنةً بأوربيتالات من نوع سلاتر. وكحل لهذه المشكلة يمكن التعبير عن الأوربيتالات من نوع سلاتر من خلال تقرِيبها باستخدام أوربيتالات من نوع جاوس (ذات الحل الاقتصادي من حيث الوقت والسهولة). وعلى سبيل المثال:

STO-3G تعني دالة سلاتر، وتُقرَّب باستخدام ثلاثة أوربيتالات من نوع جاوس. ونستعرض فيما يلي بعض التصنيفات لهذه الفئات الأساسية لتوضيح المفهوم بالأمثلة.

أبسط الفئات الأساسية تُستخدم لإجراء حسابات أولية لأخذ نظرٍ أولية على خاصية ما أو عدة خواصٍ لجزيءٍ. يمكن ضعف هذه الطريقة في أنها تصنف الإلكترونات على أنها بنفس الأهمية، والشكل العام لها هو STO-nG.

وكمثال على هذه الفئة سنفترض الحالة STO-3G، وتعني حلًّا أوربيتالٍ من نوع سلاتر من خلال تقرِيبه إلى ثلاثة أوربيتالات من نوع جاوسيان.

إحدى مشكلات فئات الحد الأدنى أنها تُعد جميعًّا الإلكترونات متساويةً، ولكن في الحقيقة الإلكترونات كُلُّ من الغلافين الداخلي والخارجي غير متساوية؛ لذا نحن بحاجة إلى طريقةٍ للتمييز بين الإلكترونات الأوربيتالات الذرية. وحلُّ هذه المشكلة يمكن في إجراء حسابات سريعة وببساطة على الإلكترونات الغلاف الداخلي، وفي المقابل إجراء حسابات دقيقة على الإلكترونات الغلاف الخارجي، ويتم ذلك من خلال مُضاعفة عدد «الأوربيتالات من نوع سلاتر STOs»، وتُسمَى أَسَّا ثنائياً Double Zeta (DZ).

وكمثال سنفترض الفئة 3-2G، وهي عبارة عن فئة أساس ذات تكافؤ مقسم. هنا تُستخدم أوربيتالات من نوع جاوسيان لتقريب أوربيتالات من نوع سلاتر، ونجد فيها قسمين من الأرقام:

القسم الأول فيه رقم ٣، ويعني أن الأوربيتالات من نوع سلاتر سوف تُستخدم عن طريق تقريب ثلاثة أوربيتالات من نوع جاوسيان.

القسم الثاني، ٢١، ويعني أَسَّا ثانِيًّا Double Zeta حيث سيتم الحساب على مرحلتين؛ في الأولى تقريب باستخدام أوربيتالي من نوع جاوسيان، وفي الثانية سيتم الحل عن طريق التقريب باستخدام أوربيتال من نوع جاوسيان؛ أي كل إلكترون في الطبقة الخارجية يُحسب مرتين: المرة الأولى لنفس الإلكترون STO-2G، وفي المرة الثانية يُستخدم STO-1G للإلكترون.

بشكل عام تكون احتمالية وجود الإلكترون بالقرب من النواة عالية جدًا، وتتناقص هذه الاحتمالية عند الابتعاد عن النواة، وعند المسافات البعيدة قد لا نجد الإلكترونات فيها، ولكن في بعض الأنظمة وخاصة الشوارد والذرات في الحالة المثارة يجب استخدام دالة الانتشار لضممان زيادة المسافة التي نحسب فيها وجود الإلكترون. ويرمز عادةً عند إضافة دالة الانتشار بالرموز التالية:

+ للذرات الثقيلة عدا الهيدروجين.

++ للذرات الثقيلة والهيدروجين.

مثال:

+ 31- دالة ذات تكافؤ منقسم للذرات الثقيلة G.

++ 31- دالة ذات تكافؤ منقسم للذرات الثقيلة والهيدروجين G.

في بعض الحالات قد يُتشتت (يُستقطب) الإلكترون من مداره إلى مدار آخر، وعندها يجبأخذ خاصية الاستقطاب بعين الاعتبار؛ فدالة الاستقطاب تعطي تفسيرًا أدق على مكان وجود الإلكترون، أو المكان الذي قد يوجد فيه. تضاف الرموز التالية للدلالة على الاستقطاب:

* لجميع الذرات باستثناء الهيدروجين.

* * لجميع الذرات بالإضافة إلى ذرة الهيدروجين.

يمكن بكل بساطة إضافة اسم الأوربيتال.

مثال:

أو $6-31G^*$ أو $6-31G(d)$ هي عبارة عن فئة أساس ذات تكافؤ منقسم واستقطاب جميع الذرات عدا ذرة الهيدروجين.

أو $6-31G^{**}$ أو $6-31G(d,p)$ هي عبارة عن مجموعة أساس ذات تكافؤ منقسم واستقطاب لجميع الذرات مع ذرة الهيدروجين.

في الذرات الكبيرة لا يمكن استخدام مجموعات الأساس العادية؛ لذا طُورت هذه الطريقة بحيث تقوم باستبدال الإلكترونات في الطبقات الداخلية بتقريبات شبه مهملة؛ ومن ثم يتم الاهتمام بإلكترونات الأغلفة الخارجية؛ حيث إنها تعبر عن جميع الخصائص الكيميائية مثل: قوة الرابطة، وطاقة التأين، وما إلى ذلك.

عند القيام بعملية حسابية ما، تستطيع أن تستخدم أكثر من فئة أساسية، شريطة أن تقوم بتحديد الفئة المستخدمة لكل نوع من الذرات ضمن البرنامج المستخدم.

قائمة بعض الكلمات والمصطلحات الواردة في الكتاب (وفق حروف الهجاء العربية)

المصطلح	المعنى
Equilibrium	أتزان
Broadening	اتساع أو تعريض
Run	إجراء العمليات الحسابية
Singlet	الأحادية
Inner coordinate	إحداثي داخلي
Zuzammen	أحدهما في نفس اتجاه الآخر (الأزمرة الهندسية)
Raman shifts	إزاحة رaman
Substitution	استبدال
Stability	استقرار
Acetaldehyde	الأسيتالدهيد
Addition	إضافة
Decay	اضمحلال - تهميد
Spectra	أطياف (جمع طيف)
Optimized	الأفضل (الأنسب - الأمثل)
Maximum	أقصى

روعة حسابات كيمياء الكم وتطبيقاتها

المصطلح	المعنى
Append	أكمل باقي النتائج
Absorption	امتصاص
Ammonia	الأمونيا
Emission	انبعاث
Proto transfer	انتقال البروتون
Energy transfer	انتقال الطاقة
Orbitals	أوربيتالات
Frontier orbitals	أوربيتالات المواجهة
Molecular orbitals	أوربيتالات جزيئية
Atomic orbitals	أوربيتالات ذرية
Beta-Alanine	البيتا-الAlanine
Beta-Cyclodextrin	بيتا-سيكلوديكسترين
Picosecond	بيكو ثانية
Quenching	تبنيط
IR	تحت الحمراء
Degradate	تض محل
Chain reactions	تفاعلات متسلسلة
Dissociate	تفتت
Degradation	تفتت أو تكسير
Born–Oppenheimer approximation	تقريب بورن–أوبنهايمر
Irreducible representation	تمثيله غير قابلة للاختزال (مجردة)
Reducible representation	تمثيله قابلة للاختزال (مزيدة)
Tautomers	التوتومرات (الظاهرة تسمى التوتوميريزم)
Tri-Nitrobenzene	ثلاثي نيترو بنزين

قائمة ببعض الكلمات والمصطلحات ...

المصطلح	المعنى
Tri-Nitrotoluene	ثلاثي نيترو طولوين
Boron trihydride	ثلاثي هيدريد البورون (حمض لويس)
Triplet	الثلاثية
Fox-7	ثنائي نيترو، ثنائي أمينو-إيثيلين
Thermodynamics	الثيرموديناميكا
Periodic Table	الجدول الدوري
Character table	جدول السمة (أو الصفة)
Root	جذر
Chemical potential	الجهد الكيميائي
Sunscreen	حاجب لأشعة الشمس
Ground state	الحالة الأرضية
Transition state	حالة انتقالية
Frank – Condon State (FC)	حالة فرانك-كوندن، التي يصل إليها الجزيء المثار دون تغيير في شكله الهندسي
Excited state	حالة مثارة
Atomic size	حجم ذري
Program package	حزمة برامج
Acetic acid	حمض الأستيك-الخليك
Formic acid	حمض الفورميك
3,4-Dihydroxycinnamic acid	حمض الكافيينيك
Lewis acid	حمض لويس (مثل ثلاثي هيدрид البورون المستقبل للإلكترونات)
Electrostatic potential energy map	خريطية طاقة الجهد الإلكتروستاتيكي
Inactive	الخمول
Drug	دواء

রوعة حسابات كيمياء الكم وتطبيقاتها

المصطلح	المعنى
Period	دورة
Molecular dynamics	الديناميكا الجزيئية
AIMD	الдинاميكا الجزيئية من المبادئ الأولية
Solubility	ذوبانية
Bond order	رتبة الرابطة
Electrophilicity	الرغبة في الإلكترونات
Nucleophilicity	الرغبة في شحنة اللواة الموجبة
NMR	الرنين النووي المغناطيسي
Time	زمن (وقت)
Electronegativity	السالبية الكهربائية
Stepsize	سعنة الخطوة
Double-head arrow	سهم ذو رأسين
Softness	سهولة (ليونة)
Hydroxyl radical	شارد هيدروكسيل
Semiempirical methods	شبه الوضعية
Electronic charge	شحنة إلكترونية
Acidic strength	شدة الحامضية
Radicals	شوارد
Light	ضوء
Binding energy	طاقة الترابط
Reaction energy	طاقة التفاعل
Activation energy	طاقة التنشيط
Potential energy	طاقة الوضع
Relative energy	طاقة نسبية

المصطلح	المعنى
Complete Active Space Self-Consistent Field (CASSCF)	طريقة الفراغ النشط تماماً للمجال المتسق ذاتياً
ONIOM	طريقة حسابية في حرم برامج جاوسيان لتقسيم الجزيئات الكبيرة إلى طبقات
Bond length	طول الرابطة
Wavelength	الطول الموجي
Spectrum	طيف
Electromagnetic spectrum	الطيف الكهرومغناطيسي
Nprocs	عدد المعالجات المشاركة (أوركا)
Nprocshared	عدد المعالجات المشاركة (جاوسيان)
Wavenumber	العدد الموجي
Entgegen	عكس بعضها بعضًا (الأزمرة الهندسية)
Inverse relationship	علاقة عكسية
Pal	عمليات التوازي
Electron rich	غنى إلكتروني
Energy gap	فجوة الطاقة
Ru	فلز الروثينيوم
Organometallic	الفلزعضوية
Fluorescence	الفلورنسنس
Ethyl formate	فورمات الإيثيل
Formaldehyde	الفورمالدهيد
UV	فوق بنفسجي
Basis set	فئة الأوربيتالات الأساسية (الفئة الأساسية)
Femtosecond	فييمتو ثانية
Base	قاعدة

روعه حسابات كيمياء الكم وتطبيقاتها

المصطلح	المعنى
Lewis base	قاعدة لويس (مثل الأمونيا المعطية للإلكترونات)
Split	قسم (تقسم)
Hardness	قسوة (صلابة - جمود)
Polar	قطبي
Acid strength	قوه الحمض
Electron density	كثافة إلكترونية
Reagents	كواشف
Color code	كود ألوان
Keto – Enol	كيتو-إينول
Lanthanides	اللانثانيدات
LUMO	اللومو (الأوربيتال الأقل طاقةً والخاوي من الإلكترونات)
Vectors	متتج
Complex	متراكب
Inclusion complex	متراكب احتوائي
Sandwich complex	متراكب سندوتش
Degenerate	متساوٍ
Degenerate in symmetry	متساوٍ في التماثل
Degenerate in energy	متساوٍ في الطاقة
Reactants	متفاعلات
Centered on	متمرکز على
Self-Consistent-Field (SCF)	المجال المتسق ذاتيًّا
3D	جسم ثلاثي الأبعاد
Group	مجموعة
Carboxylic group	مجموعة كبروكسييل

قائمة ببعض الكلمات والمصطلحات ...

المصطلح	المعنى
Simulation	محاكاة
Electrophiles	محب للإلكترونات
Nucleophiles	محب للنُّوكليوس
Narcotic	مخدّر
Solvent	مذيب
Filter	مرشح
Vis	مرئي
Trajectory	مسار (إحداثيات جزيء (أو خاصية) عند زمن معين)
Chemical reaction pathway	مسار التفاعل الكيميائي
Energy level	مستوى الطاقة
Printlevel	مستوى النتائج المطلوبة
Scan	مسح (عمليات حسابية تتم على خطوات محددة ومتغيّرة القيمة)
Core	المعالج (قلب أو بروسيسور)
Processors (computer – Hardware)	المعالجات
Reactivity indices	معاملات النشاط الكيميائي
Input file	ملف الإدخال
Formcheck	ملف مُحرّجات جاوسيان قابل للتداول على كمبيوتر آخر
Ab-initio	من المبادئ الأولية
Potential energy curves	منحنى طاقة الوضع
Job	مهمة
Dump position	موقع تخزين النتائج في ملف معين
m-Nitrobenzene	ميتا-نيترو بنزين
Molecular Mechanics (MM)	الميكانيكا الجزيئية
Product	ناتج

روعه حسابات كيمياء الكم وتطبيقاتها

المصطلح	المعنى
Hydrogen abstraction	نزع الهيدروجين
Chemical activity	النشاط الكيميائي
Ligand Field Theory	نظرية المجال الليجاندي
Group theory	نظرية المجموعات
Density Functional Theory (DFT)	نظرية دالية الكثافة
Points	نقاط
Electron poor	نقص إلكتروني
Molecular modeling	نمذجة جزيئية
Nitrobenzene	نيترو بنزين
Halides	هاليدات
Molecular geometry	هندسة جزيئية
Antenna	هوائي
HOMO	الهومو (الأوربيتال الأعلى طاقةً والمشغول بالإلكترونات)
Graphics user interface	واجهة المستخدم الرسومية بالبرامج
Boltzmann weight	وزن بولتزمان (في التوتومرات)
Connectivity	الوصل بين ذرات الجزيء
Luminescence	اللوميضر
Urea	اليوريا
Uridine	اليوريدين

قائمة بعض الكلمات والمصطلحات الواردة في الكتاب (وفق حروف الهجاء الإنجليزية)

المصطلح	المعنى
3,4-Dihydroxycinnamic acid	حمض الكافيين
3D	مجسم ثلاثي الأبعاد
Ab-initio	من المبادئ الأولية
Absorption	امتصاص
Acetaldehyde	الأسيتالدهيد
Acetic acid	حمض الأستيك-الخليل
Acid strength	قوة الحمض
Acidic strength	شدة الحامضية
Activation energy	طاقة التنشيط
Addition	إضافة
AIMD	الдинاميكا الجزيئية من المبادئ الأولية
Ammonia	الأمونيا
Antenna	هوائي
Append	أكمل باقي النتائج

المصطلح	المعنى
Atomic orbitals	أوربيتالات ذرية
Atomic size	حجم ذري
Base	قاعدة
Basis set	فئة الأوربيتالات الأساسية (الفئة الأساسية)
Beta-Alanine	البيتا-ألانين
Beta-Cyclodextrin	بيتا-سيكلوديكسترين
Binding energy	طاقة الترابط
Boltzmann weight	وزن بولتزمان (في التوتومرات)
Bond length	طول الرابطة
Bond order	رتبة الرابطة
Born–Oppenheimer approximation	تقريب بورن–أوبنهايمير
Boron trihydride	ثلاثي هيدريد البورون (حمض لويس)
Broadening	اتساع أو تعريض
Carboxylic group	مجموعة كبروكسييل
Centered on	متمركز على
Chain reactions	تفاعلات متسلسلة
Character table	جدول السمة (أو الصفة)
Chemical activity	النشاط الكيميائي
Chemical potential	الجهد الكيميائي
Chemical reaction pathway	مسار التفاعل الكيميائي
Color code	كود ألوان
Complete Active Space	طريقة الفراغ النشط تماماً للمجال المُتسق ذاتياً
Self-Consistent Field (CASSCF)	متراكب
Complex	الوصل بين ذرات الجزيء

قائمة ببعض الكلمات والمصطلحات ...

المصطلح	المعنى
Core	المعالج (قلب أو بروسيسور)
Decay	اضمحلال - تهميد
Degenerate	متساوٍ
Degenerate in energy	متساوٍ في الطاقة
Degenerate in symmetry	متساوٍ في التماثل
Degradation	تفتت أو تكسير
Degrade	تض محل
Density Functional Theory (DFT)	نظرية دالية الكثافة
Dissociate	تفتت
Double-head arrow	سهم ذو رأسين
Drug	دواء
Dump position	موقع تخزين النتائج في ملف معين
Electromagnetic spectrum	الطيف الكهرومغناطيسي
Electron density	كثافة إلكترونية
Electron poor	نقص إلكتروني
Electron rich	غنى إلكتروني
Electronegativity	السلبية الكهربية
Electronic charge	شحنة إلكترونية
Electrophiles	محب للإلكترونات
Electrophilicity	الرغبة في الإلكترونات
Electrostatic potential energy map	خريطة طاقة الجهد الإلكتروستاتيكي
Emission	انبعاث
Energy gap	فجوة الطاقة
Energy level	مستوى الطاقة

روعه حسابات كيمياء الكم وتطبيقاتها

المصطلح	المعنى
Energy transfer	انتقال الطاقة
Entgegen	عكس بعضهما بعضًا (الأزمرة الهندسية)
Equilibrium	اتزان
Ethyl formate	فورمات الإيثيل
Excited state	حالة مثارة
Femtosecond	فييمتو ثانية
Filter	مرشح
Fluorescence	الفلورنسنس
Formaldehyde	الفورمالدهيد
Formcheck	ملف مُحرّجات جاوسيان قابل للتداول على كمبيوتر آخر
Formic acid	حمض الفورميك
Fox-7	ثنائي نيترو، ثنائي أمينو-إيثين
Frank-Condon State (FC)	حالة فرانك-كوندن، التي يصل إليها الجزيء المثار دون تغيير في شكله الهندسي
Frontier orbitals	أوربيتالات المواجهة
Graphics user interface	واجهة المستخدم الرسومية بالبرامج
Ground state	الحالة الأرضية
Group	مجموعة
Group theory	نظرية المجموعات
Halides	هاليدات
Hardness	قسوة (صلابة - جمود)
HOMO	الهومو (الأوربيتال الأعلى طاقةً والمشغول بالإلكترونات)
Hydrogen abstraction	نزع الهيدروجين
Hydroxyl radical	شارد هيدروكسيل
Inactive	خمول

قائمة ببعض الكلمات والمصطلحات ...

المصطلح	المعنى
Inclusion complex	متراكب احتوائي
Inner coordinate	إحداثي داخلي
Input file	ملف الإدخال
Inverse relationship	علاقة عكسية
IR	تحت الحمراء
Irreducible representation	تمثيلة غير قابلة للاختزال (مجردة)
Job	مهمة
Keto-Enol	كيتو-إينول
Lanthanides	اللانثانيدات
Lewis acid	حمض لويس (مثل ثلاثي هيدريد البورون المستقبل للإلكترونات)
Lewis base	قاعدة لويس (مثل الأمونيا المعطية للإلكترونات)
Ligand Field Theory	نظرية المجال الليجاندي
Light	ضوء
Luminescence	الوميض
LUMO	اللومو (الأوربيتال الأقل طاقةً والخاوي من الإلكترونات)
m-Nitrobenzene	ميتا-نيترو بنزين
Maximum	أقصى
Molecular dynamics	الديناميكا الجزيئية
Molecular geometry	هندسة جزيئية
Molecular Mechanics (MM)	الميكانيكا الجزيئية
Molecular modeling	نمذجة جزيئية
Molecular orbitals	أوربيتالات جزيئية
Narcotic	مخدر
Nitrobenzene	نيترو بنزين

রوعة حسابات كيمياء الكم وتطبيقاتها

المصطلح	المعنى
NMR	الرنين النووي المغناطيسي
Nprocs	عدد المُعَالِجَات المشاركة (أوركا)
Nprocshared	عدد المُعَالِجَات المشاركة (جاوسيان)
Nucleophiles	محب للنُّوى
Nucleophilicity	الرغبة في شحنة النواة الموجبة
ONIOM	طريقة حسابية في حُرَم برامج جاوسيان لتقسيم الجزيئات الكبيرة إلى طبقات
Optimized	الأفضل (الأنسب - الأمثل)
Orbitals	أوْرَبِيتَالَات
Organometallic	الفلزـعضوـية
Pal	عمليات التوازي
Period	دورة
Periodic Table	الجدول الدوري
Picosecond	بيكو ثانية
Points	نقاط
Polar	قطبي
Potential energy	طاقة الوضع
Potential energy curves	منحنيات طاقة الوضع
Printlevel	مستوى النتائج المطلوبة
Processors (computer-Hardware)	المعالجات
Product	ناتج
Program package	حزمة برامج
Proto transfer	انتقال البروتون
Quenching	تشبيط
Radicals	شوارد

قائمة ببعض الكلمات والمصطلحات ...

المصطلح	المعنى
Raman shifts	إزاحة رaman
Reactants	متفاعلات
Reaction energy	طاقة التفاعل
Reactivity indices	معاملات النشاط الكيميائي
Reagents	كواشف
Reducible representation	تمثيلة قابلة للاختزال (مزيدة)
Relative energy	طاقة نسبية
Root	جذر
Ru	فلز الروثينيوم
Run	إجراء العمليات الحاسوبية
Sandwich complex	متراكب سندوتش
Scan	مسح (عمليات حسابية تتم على خطوات محددة ومتغييرة القيمة)
Self-Consistent-Field (SCF)	المجال المتسق ذاتياً
Semiempirical methods	شبه الوضعية
Simulation	محاكاة
Singlet	الأحادية
Softness	سهولة (ليونة)
Solubility	ذوبانية
Solvent	مذيب
Spectra	أطياف (جمع طيف)
Spectrum	طيف
Split	قسم (تقسم)
Stability	استقرار
Stepsize	سعة الخطوة

روعة حسابات كيمياء الكم وتطبيقاتها

المصطلح	المعنى
Substitution	استبدال
Sunscreen	حاجب لأشعة الشمس
Tautomers	التوتومرات (الظاهرة تُسمى التوتوميريزم)
Time	زمن (وقت)
Thermodynamics	الثيرموديناميكا
Trajectory	مسار (إحداثيات جزيء (أو خاصية) عند زمن معين)
Transition state	حالة انتقالية
Tri-Nitrobenzene	ثلاثي نيترو بنزين
Tri-Nitrotoluene	ثلاثي نيترو طلولين
Triplet	الثلاثية
Urea	اليوريا
Uridine	اليوريدين
UV	فوق بنفسجي
Vectors	متوجه
Vis	مرئي
Wavelength	الطول الموجي
Wavenumber	العدد الموجي
Zuzammen	أحدهما في نفس اتجاه الآخر (الأزمرة الهندسية)

